

誤り耐性量子コンピュータ・アーキテクチャ

理化学研究所量子コンピュータ研究センター
超伝導量子計算システム研究ユニット
基礎科学特別研究員
上野 洋典

上野 洋典（うえの ようすけ）

- 所属：理研RQC 超伝導量子計算システム研究ユニット
基礎科学特別研究員（ポストドク）
- 経歴：
 - 1994年 福岡県北九州市門司区生まれ
 - 2013.4~2017.3: 東大工学部計数工学科
 - 2017.4~2022.3: 東大情報理工 システム情報学専攻
 - 指導教員：中村宏先生、近藤正章先生（慶應）
 - 博論：超伝導回路を用いたオンライン量子誤り訂正
 - 2022.5~2023.2: ミュンヘン工科大学 訪問研究員（Prof. Martin Schulz）
 - 2023.4~現在: （本務）理研RQC 基礎科学特別研究員
 - 2025.5~現在: （兼務）東大 中村・高瀬研 特任助教（非常勤）
- 研究対象、興味：
 - 計算機アーキテクチャ、超伝導ディジタル（SFQ）回路、誤り耐性量子計算
- 物理の方々に囲まれつつ計算機アーキテクチャやってます！



ドイツでの
最初と最後のビール

今日の内容

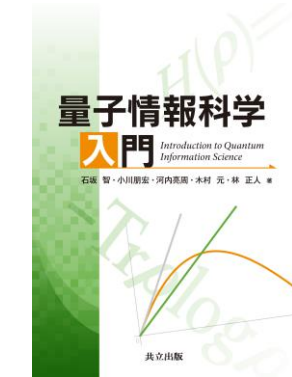
- 量子計算機アーキテクチャ研究の概要
- 量子計算の基礎
- 量子誤り訂正の基礎
- 表面符号を用いた量子誤り訂正
 - 上野の博論 (DAC2021, HPCA2022)
- 表面符号 + 格子手術を用いた誤り耐性量子計算 (FTQC)
- ロードストア型FTQCアーキテクチャ
 - HPCA2025
- 高効率な格子手術FTQCのための2.5次元アーキテクチャ
 - HPCA2026投稿中論文

今回話ないこと

- 量子情報理論の基礎
- 量子誤り訂正、誤り耐性量子計算の理論的な側面
- 表面符号以外の量子誤り訂正符号
- 格子手術以外の論理演算手法
- 量子計算機のアプリケーション
- 量子計算周りの計算量理論
 - Aaronson, “Quantum Computing Since Democritus”
 - 「とても強い計算量クラスのコンピュータとその実現方法」
<https://qiita.com/iKodack/items/d606a09f0a40b95bf2b6>

参考になる書籍・講義動画

- 嶋田, “量子コンピューティング”
 - 網羅的に多くのトピックが触れられている
 - 格子手術に触れている現状唯一の日本語文献?
- 石坂ほか, “量子情報科学入門”
 - この発表で省略した理論的な詳細が書かれている
 - 表面符号については触れていない
 - 追記: 第2版では触れているかも (未確認)
- 阪大藤井先生のYouTube
 - 第10回以降が量子誤り訂正
 - 歴史的経緯、理論的側面、誤り耐性量子計算手法など様々なトピック



発表内容

- 量子計算機アーキテクチャの研究動向
 - 計算機アーキテクチャの研究対象・隣接分野
 - 計算機アーキテクチャ分野における量子関連の研究動向
- 計算機系のための表面符号入門（1コマ目）
 - 量子誤り訂正の基礎
 - 表面符号の誤り推定処理のグラフ問題への帰着
 - Stim+Crumbleを用いた表面符号シミュレーション
 - 極低温環境での表面符号の誤り推定処理（上野の博論, DAC'21, HPCA'22）
- 表面符号+格子手術に基づく誤り耐性量子計算（2コマ目）
 - ロードストア型FTQCアーキテクチャ（HPCA2025）
- HPCA2026投稿中論文について（3コマ目）
- まとめ

計算機アーキテクチャ

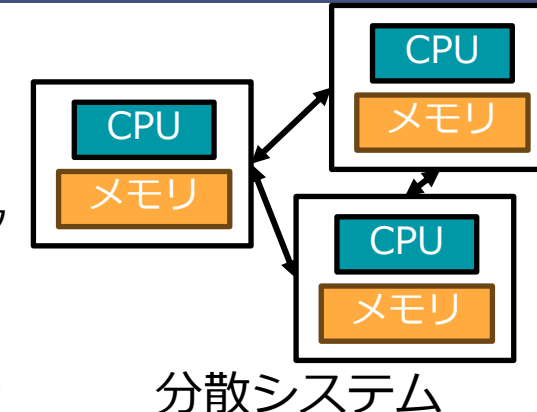
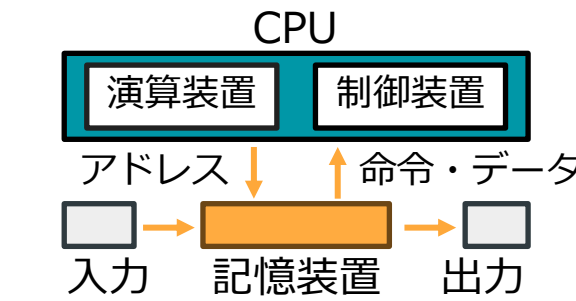
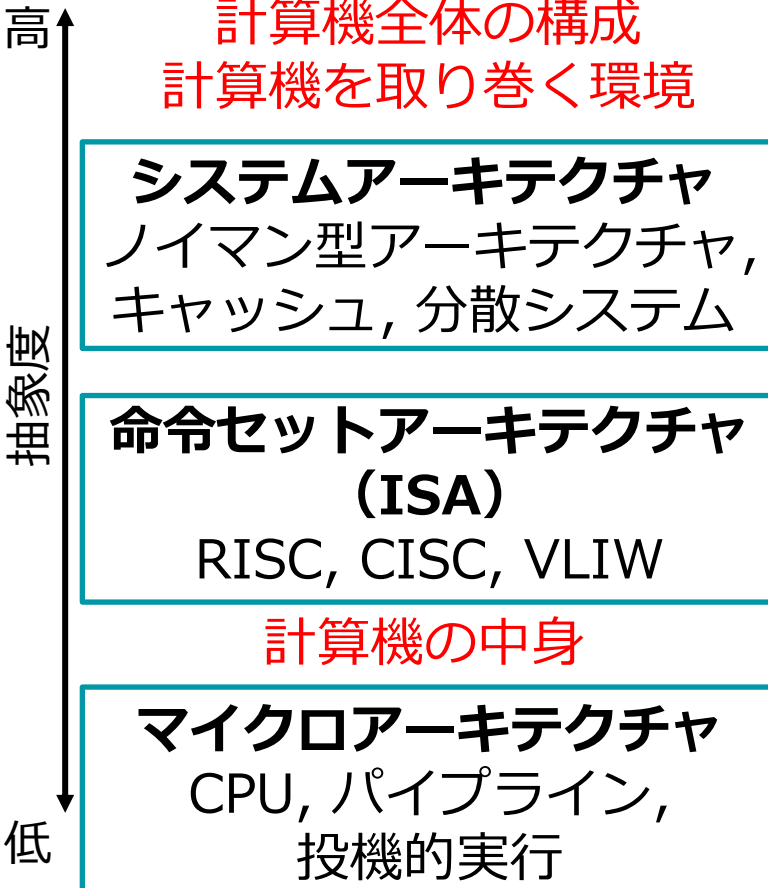
What is Computer architecture?

- “*Computer Architecture* is the science and art of selecting and interconnecting hardware components to create computers that meet functional, performance and cost goals.”
 - WWW Computer Architecture Page

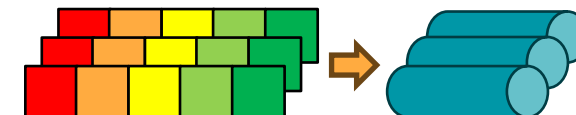
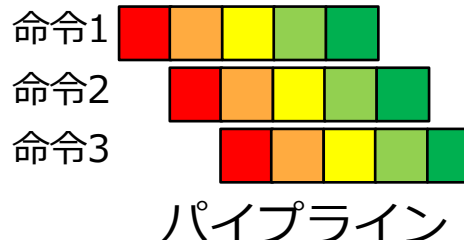
建築（アーキテクチャ）とのアナロジー



計算機アーキテクチャ分野の研究対象

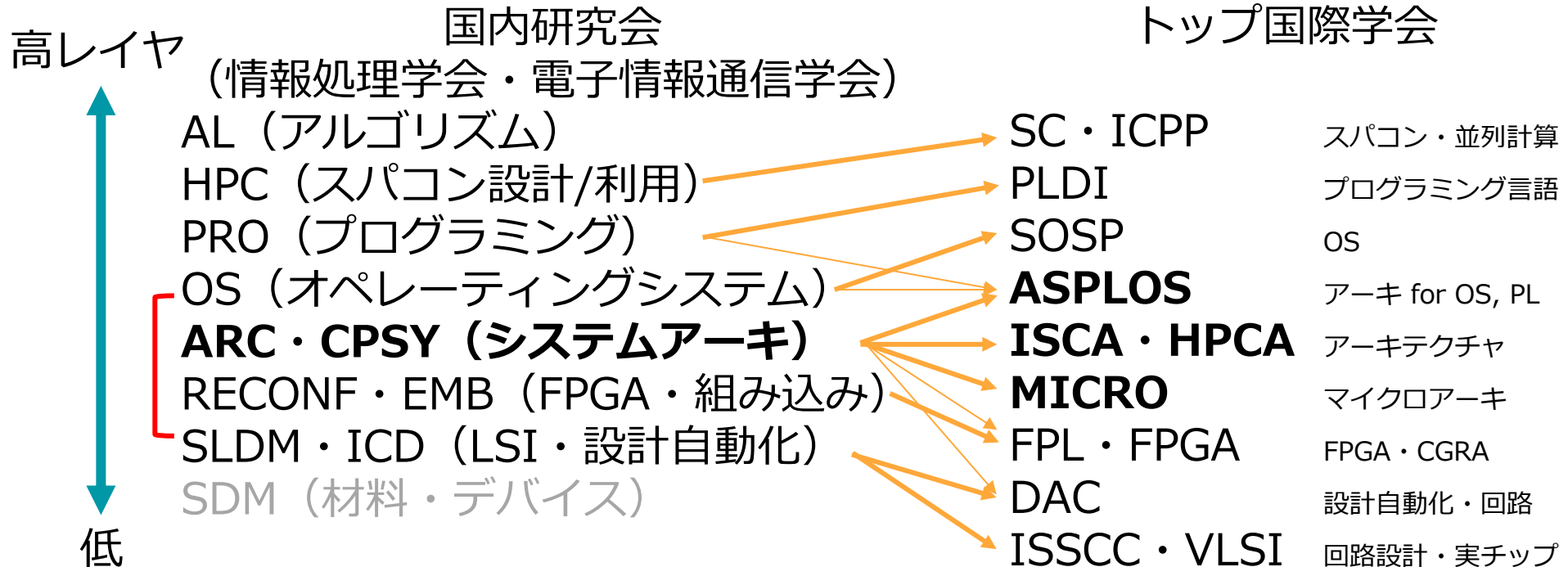


x86 (CISC) vs. RISC-V (RISC)



ベクトル演算器

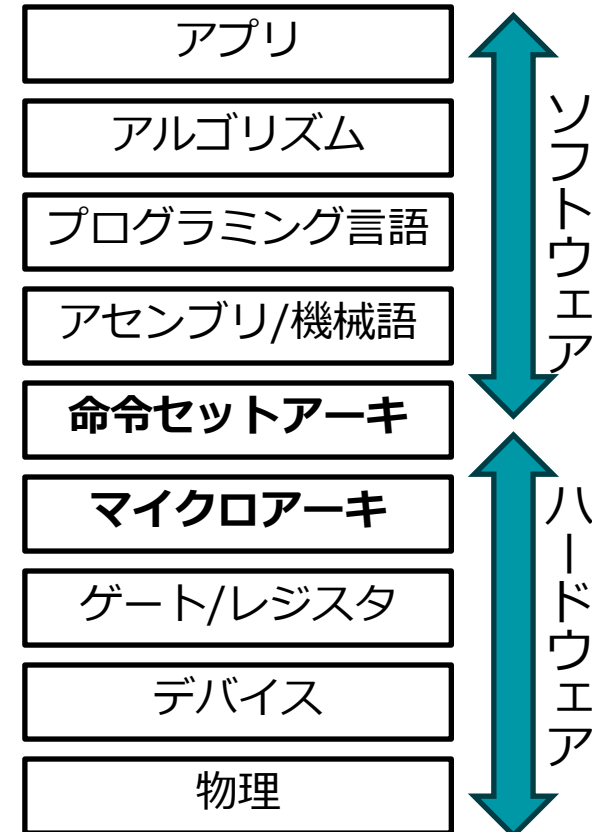
計算機アーキテクチャの隣接分野



上は計算機と不可分なソフトウェアまで
下はビットまで

計算機アーキテクチャの役割

- 抽象化のレベルを適切に定める
 - プログラマが何を意識して何を意識しないか
- 上位、下位レイヤの変化に応じてコストを最小化しつつ計算機の設計を更新
- 各コンポーネントを統合して計算機全体としての性能見積もり、フィードバック
 - どこに何を押し付けるか決める
- 計算能力の継続的な向上の展望を示す

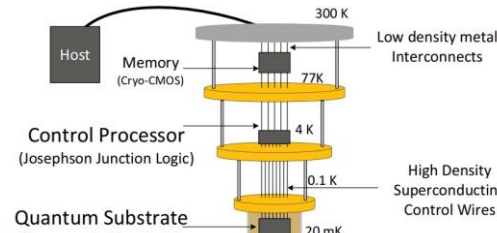


発表内容

- 量子計算機アーキテクチャの研究動向
 - 計算機アーキテクチャの研究対象・隣接分野
 - 計算機アーキテクチャ分野における量子関連の研究動向
- 計算機系のための表面符号入門（1コマ目）
 - 量子誤り訂正の基礎
 - 表面符号の誤り推定処理のグラフ問題への帰着
 - Stim+Crumbleを用いた表面符号シミュレーション
 - 極低温環境での表面符号の誤り推定処理（上野の博論, DAC'21, HPCA'22）
- 表面符号+格子手術に基づく誤り耐性量子計算（2コマ目）
 - ロードストア型FTQCアーキテクチャ（HPCA2025）
- HPCA2026投稿中論文について（3コマ目）
- まとめ

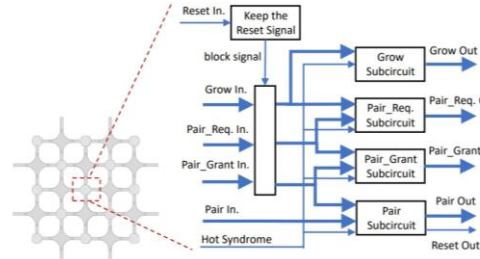
量子計算機アーキテクチャ分野

システムアーキテクチャ



Cryogenic QEC architecture
MICRO2017

命令セットアーキテクチャ (ISA)



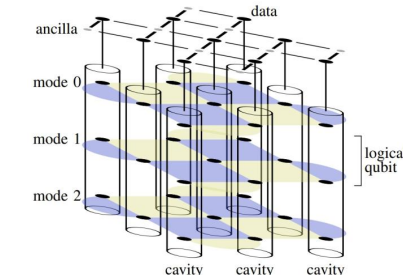
SFQ surface code decoder , ISCA2020

K. Bertels et al., "eQASM: An Executable Quantum Instruction Set Architecture," in HPCA2019.

C. Duckering et al., "Virtualized Logical Qubits: A 2.5 D Architecture for Error-Corrected Quantum Computing," in MICRO2020.

S. Tannu et al., "Taming the Instruction Bandwidth of Quantum Computers via Hardware-Managed Error Correction," in MICRO2017.

A. Holmes et al., "NISQ+: boosting quantum computing power by approximating quantum error correction," in ISCA2020.



Virtualized Logical Qubit
MICRO2020

Table I. Overview of eQASM instructions. The operator :: concatenates the two bit strings.

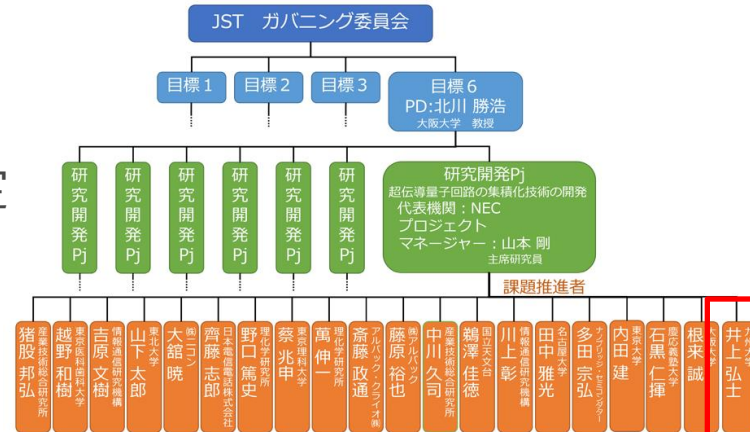
Type	Syntax	Description
Control	CMP Rd, Rt	CoMPare GPR Rd and Rt, and store the result into the comparison flags.
	BRR <Comp. Flag>, Offset	(BRanch) Jump to PC + Offset if the specified comparison flag is '1'.
	FBR <Comp. Flag>, Rd	(Fetch Branch Register) Fetch the specified comparison flag into GPR Rd.
	LDI Rd, Imm	(Load Immediate) Rd = sign_extImm[19..0].32;
Data Transfer	LDU RD, Imm, Rs	(Load Unsigned Immediate) Rd = Imm[14..0].Rs[16..0].
	LD Rd, Rt (Imm)	(Load from memory) Load data from memory address Rt + Imm into GPR Rd.
	ST Rs, Rt (Imm)	(STore to memory) Store the value of GPR Rs to memory address Rt + Imm.
Measurement	FMR Rd, Qi	(Fetch Measurement Result) Fetch the result of the last measurement instruction on qubit i into GPR Rd.
	AMR Rd, Rt	Logical and, or, exclusive or, not.
Logical	AND/OR/XOR Rd, Rs, Rt	Logical and, or, exclusive or, not.
Arithmetic	ADD/SUB Rd, Rs, Rt	Addition and subtraction.
Waiting	QWAIT Imm	(Quantum WAIT Immediate/Register) Specify a timing point by waiting for the number of cycles indicated by the immediate value Imm or the value of GPR Rs.
Target Specify	QMIS Sd, <Qubit List>	(Set Mask Immediate for Single-/Two-qubit operations) Update the single-/two-qubit operation target register Sd (Td).
	SMIS Td, <Qubit Pair List>	
Q-Bundle	[PI,] Q_Op [I Q_Op]+	Applying operations on qubits after waiting for a small number of cycles indicated by PI.

eQASM, HPCA2019

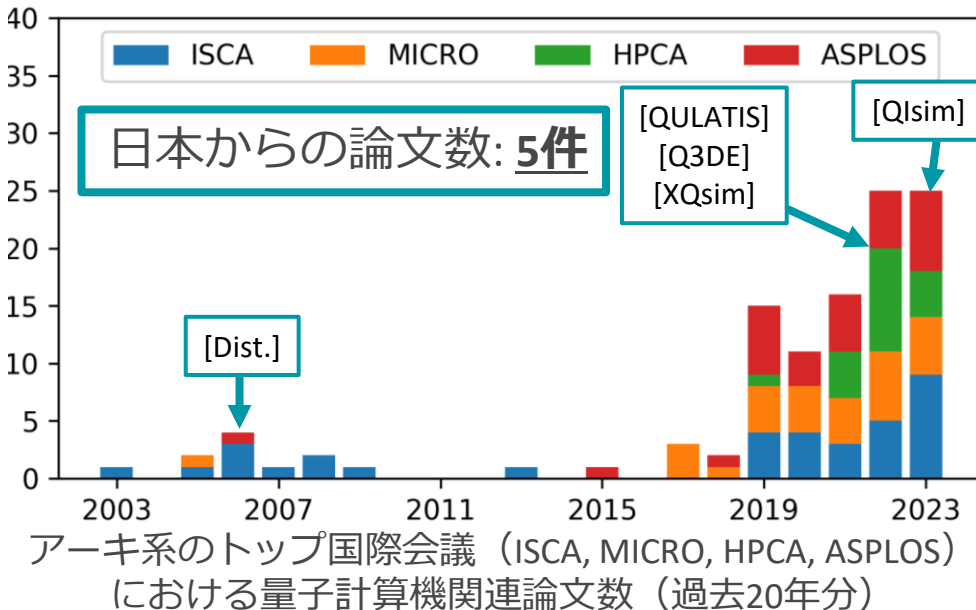
マイクロアーキテクチャ

量子計算機開発におけるアーキテクチャの知見

- 理論では考えられていないコンポーネントを詰める
 - 例: 誤り訂正符号のエラー推定が多項式時間の古典処理ができる
 - 誰がどこで解くのか、計算機全体の構成はどうなるのか
- 各要素技術を統合して考えて、性能見積もり、開発へのフィードバック
 - 例: 超伝導ムーンショットの井上先生チーム
- 経済的な制約
 - 例: $p = 10^{-5}$ の量子ビット + 軽量誤り推定
vs. $p = 10^{-3}$ の量子ビット + 高精度誤り推定



国内外の量子計算機アーキテクチャ研究動向



年	量子関連論文割合
2003~2018	0~1%程度
2019	5.4% (15/276)
2020	3.6% (11/308)
2021	5.0% (16/323)
2022	7.7% (25/325)
2023	6.1% (25/408)

トップ国際会議における
量子関連論文数割合

元データ: <https://yuteno.github.io/> または上野のresearchmapで公開中

[Dist.] R. Van Meter, W. Munro, K. Nemoto, K. Itoh, "Distributed Arithmetic on a Quantum Multicomputer", ISCA2006.

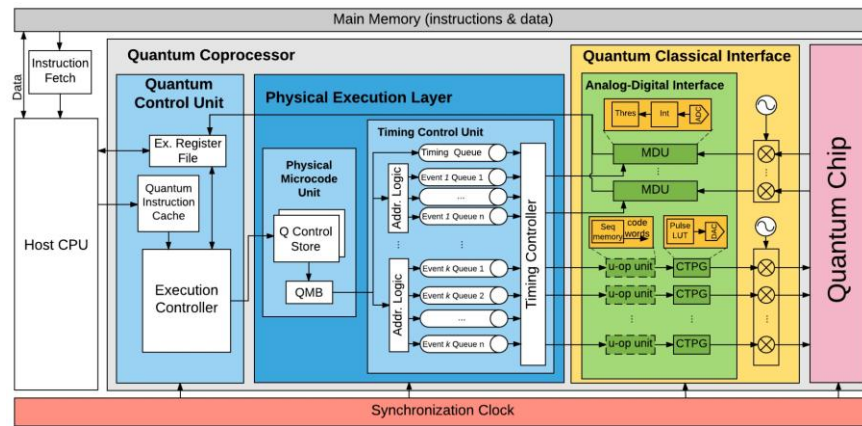
[QULATIS] Y. Ueno, M. Kondo, M. Tanaka, Y. Suzuki, Y. Tabuchi, "QULATIS: A Quantum Error Correction Methodology toward Lattice Surgery", HPCA2022.

[Q3DE] Y. Suzuki, ..., K. Inoue, T. Tanimoto, "Q3DE: A fault-tolerant quantum computer architecture for multi-bit burst errors by cosmic rays", MICRO2022.

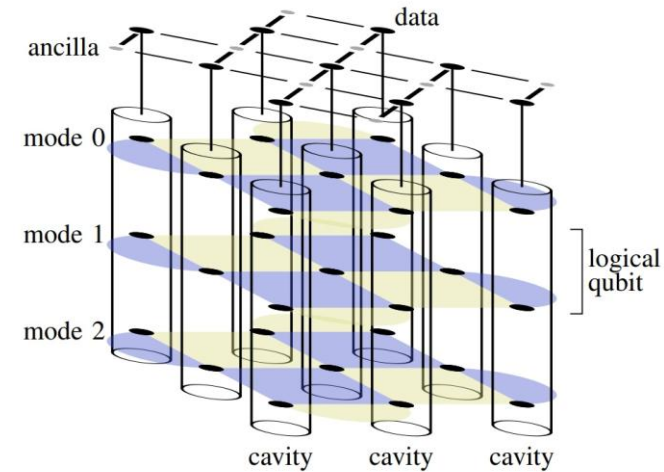
[XQsim] I. Byun, ..., T. Tanimoto, M. Tanaka, K. Inoue, J. Kim, "XQsim: modeling cross-technology control processors for 10+K qubit quantum computers", ISCA2022.

[QIsim] D. Min, ..., M. Tanaka, K. Inoue, J. Kim, "QIsim: Architecting 10+K Qubit QC Interfaces Toward Quantum Supremacy", ISCA2023.

量子計算機アーキテクチャ研究のインパクト



Quantum MicroArchitecture
MICRO'17 Best paper



Virtualized Logical Qubits
MICRO'20 Best paper runner-up

- 計算機アーキテクチャ分野でも量子計算機研究は評価される
- 物理（量子情報）+アーキテクチャの知見でインパクト大

X. Fu et al., "An Experimental Microarchitecture for a Superconducting Quantum Processor", MICRO 2017.

C. Duckering et al., "Virtualized Logical Qubits: A 2.5D Architecture for Error-Corrected Quantum Computing", MICRO 2020.

国内外の量子計算機アーキテクチャ研究動向

主要な研究グループ	論文数 (割合)	First quantum paper in top conferences
University of Chicago (Fred Chong (@UCSB until 2015))	33本 (30.0%)	ISCA2003
Georgia Tech. (Moinuddin Qureshi, Swamit Tannu (UW-Madison))	14+4 (16.4%)	MICRO2017
Princeton University (Margaret Martonosi)	14 (12.7%) (内Chicagoと共同6)	ISCA2007
UC Santa Barbara (Yuan Xie, Yufei Ding)	7 (6.3%)	ASPLOS2019

- 65%の論文が上位4グループから出ている

各グループの初期の量子関連論文

Chicago University

- [初期] M. Oskin, F. Chong, I. Chuang, J. Kubiatowicz,

Building Quantum Wires: The Long and the Short of it, ISCA2003. (arXiv2001.06598)

- [最近] A. Litteken, L. Seifert, J. Chadwick, N. Nottingham, F. Chong, J. Baker,

Qompress: Efficient Compilation for Ququarts Exploiting Partial and Mixed Radix Operations for Communication Reduction, ASPLOS2023.

Georgia Tech.

- [初期] P. Das, C. Pattison, S. Manne, D. Carmean, K. Svore, M. Qureshi, N. Delfosse,

AFS: Accurate, Fast, and Scalable Error-Decoding for Fault-Tolerant Quantum Computers, HPCA2022. (arXiv2001.06598)

- [最近] S. Vittal, P. Das, M. Qureshi, Astrea: Accurate Quantum Error-Decoding via Practical Minimum-Weight Perfect-Matching, ISCA2023.

最初は「アーキわかる（興味ある）物理研究者」と併走
その過程で「物理わかるアーキ研究者」を育成

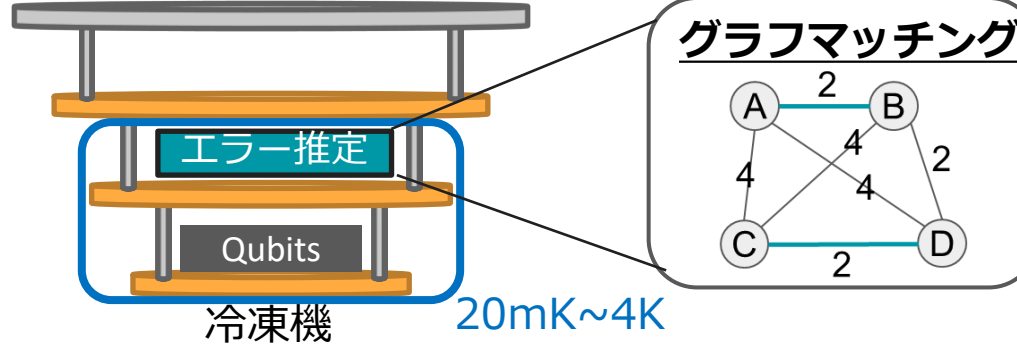
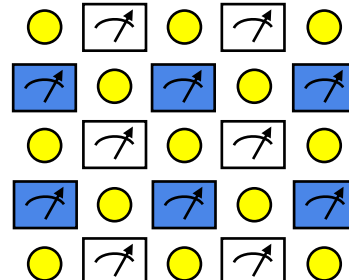
量子計算機アーキテクチャ研究動向まとめ

- 計算機アーキテクチャ
 - = 計算機の中身、全体の構成、取り巻く環境
 - 主な役割：各要素技術の統合、計算機としての展望を示す
- 計算機アーキテクチャ分野でも量子計算機はインパクト大
 - 物理（量子情報）系 + 計算機系研究者の共同研究が重要
- 海外では量子計算機アーキテクチャの研究が盛ん、
国内はまだこれから

発表内容

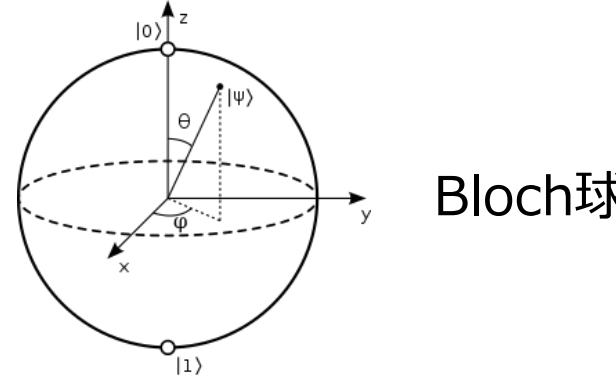
- 量子計算機アーキテクチャの研究動向
 - 計算機アーキテクチャの研究対象・隣接分野
 - 計算機アーキテクチャ分野における量子関連の研究動向
- 計算機系のための表面符号入門（1コマ目）
 - 量子誤り訂正の基礎
 - 表面符号の誤り推定処理のグラフ問題への帰着
 - Stim+Crumbleを用いた表面符号シミュレーション
 - 極低温環境での表面符号の誤り推定処理（上野の博論, DAC'21, HPCA'22）
- 表面符号 + 格子手術に基づく誤り耐性量子計算（2コマ目）
 - ロードストア型FTQCアーキテクチャ（HPCA2025）
- HPCA2026投稿中論文について（3コマ目）
- まとめ

1コマ目の概要



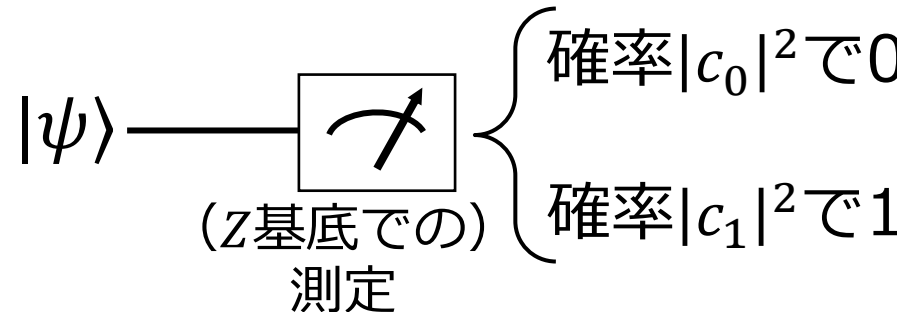
- 量子ビットはエラーまみれなのでエラーを訂正しながら計算をする必要あり
- エラーを直接観測はできないがエラーのパリティチェックはできる
 - 量子ビットには2種類のエラーが生じる
 - 量子誤り訂正符号（**表面符号**）
= 符号化用量子ビット + 2種類のパリティチェック用量子ビット
- 量子誤り訂正 = パリティ情報から符号化用量子ビットのエラーを推定 = **グラフマッチング**問題に帰着できる
- 上野の博論：冷凍機内で低消費電力・高速にグラフマッチング

量子計算の基礎



Bloch球

- 量子ビット： $|\psi\rangle = c_0|0\rangle + c_1|1\rangle$ (c_0, c_1 は複素数)



量子計算の基礎

Hadamardゲート (H)

$$|0\rangle \xrightarrow{H} |+\rangle := (|0\rangle + |1\rangle)/\sqrt{2}$$

$$|1\rangle \xrightarrow{H} |-\rangle := (|0\rangle - |1\rangle)/\sqrt{2}$$

X ゲート

$$|0\rangle \xrightarrow{X} |1\rangle$$

$$|1\rangle \xrightarrow{X} |0\rangle$$

Z ゲート

$$|0\rangle \xrightarrow{Z} |0\rangle$$

$$|1\rangle \xrightarrow{Z} -|1\rangle$$

$CNOT$ ゲート

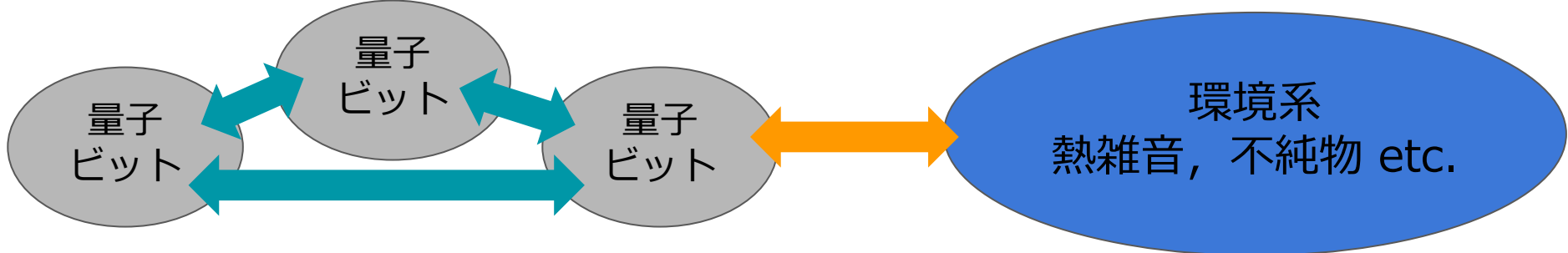
$$\begin{array}{c|c} |0\rangle & \bullet \\ |0\rangle & \oplus \end{array} \quad \begin{array}{c|c} |0\rangle & |0\rangle \\ |0\rangle & |0\rangle \end{array}$$

$$\begin{array}{c|c} |1\rangle & \bullet \\ |0\rangle & \oplus \end{array} \quad \begin{array}{c|c} |1\rangle & |1\rangle \\ |0\rangle & |1\rangle \end{array}$$

$$\begin{array}{c|c} |1\rangle & \bullet \\ |1\rangle & \oplus \end{array} \quad \begin{array}{c|c} |1\rangle & |1\rangle \\ |1\rangle & |0\rangle \end{array}$$

$$\begin{array}{c|c} |0\rangle & \bullet \\ |1\rangle & \oplus \end{array} \quad \begin{array}{c|c} |0\rangle & |0\rangle \\ |1\rangle & |1\rangle \end{array}$$

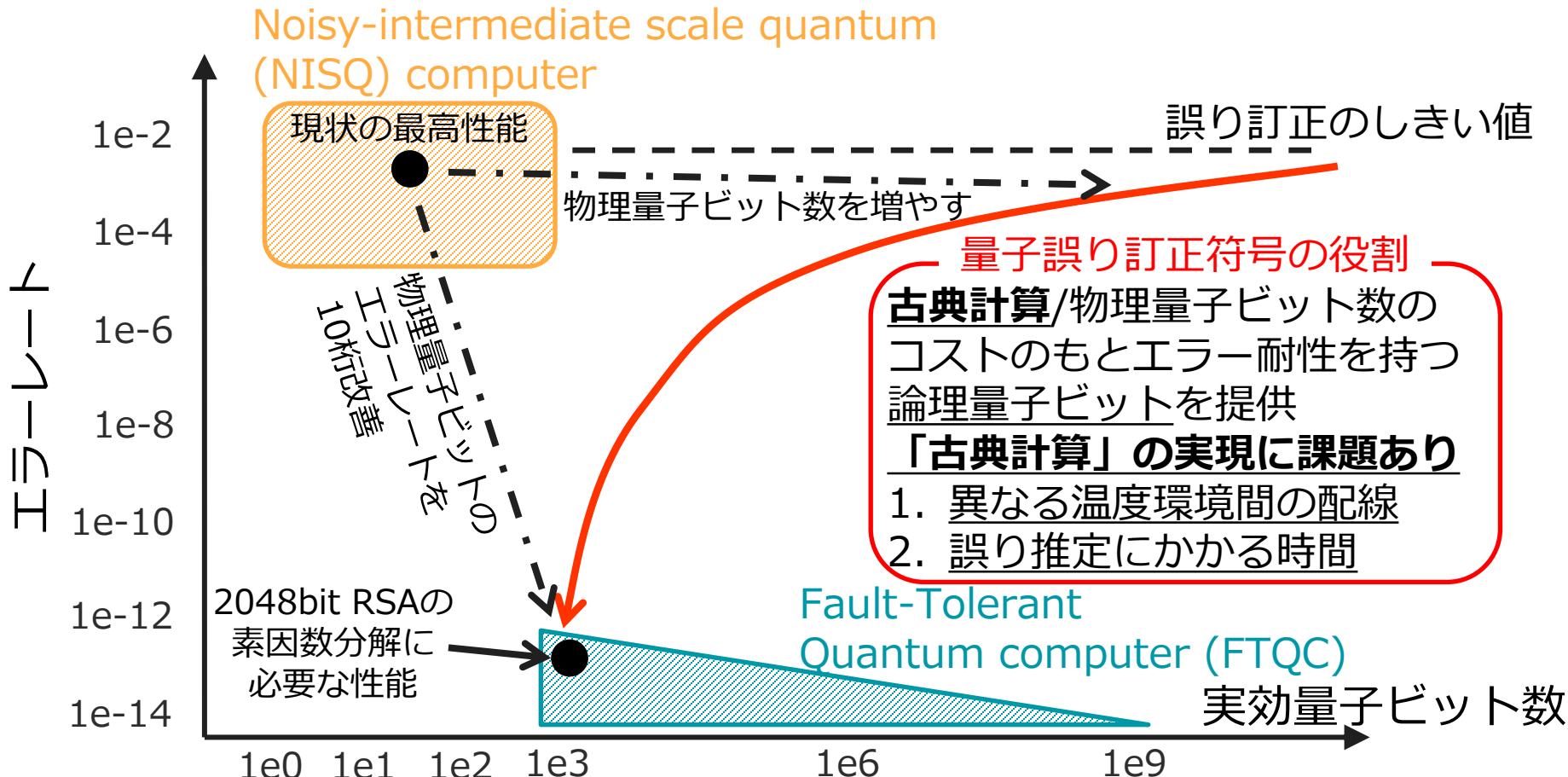
実現における障壁: エラー耐性



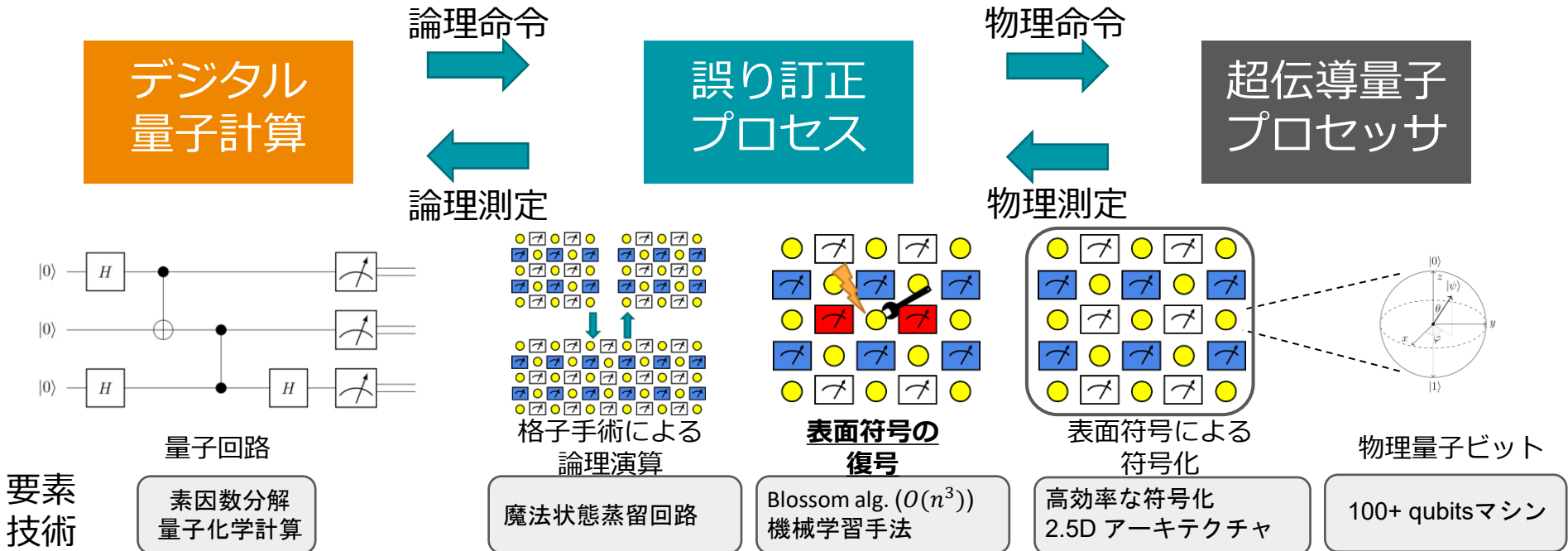
エラー発生原因: 量子ビットと環境系と意図しないエンタングルメント

- 量子コンピュータはエラー発生確率が非常に高い
 - 1回の操作で0.1~1%程度
 - 例: 0.1%でも1000ステップだと計算失敗確率は $1 - 0.999^{1000} = 0.63$
- Xエラー (ビット反転) と Zエラー (位相) に分解できる
- 量子誤り訂正符号という枠組みが提案されている

量子コンピュータの発展と量子誤り訂正の役割

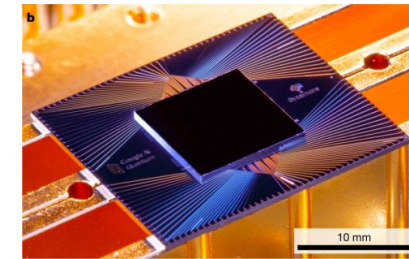
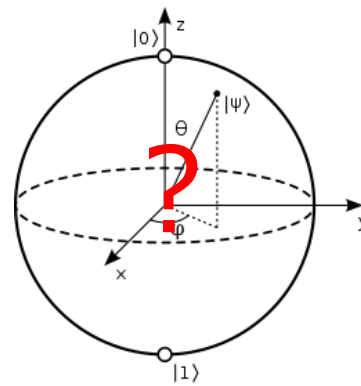
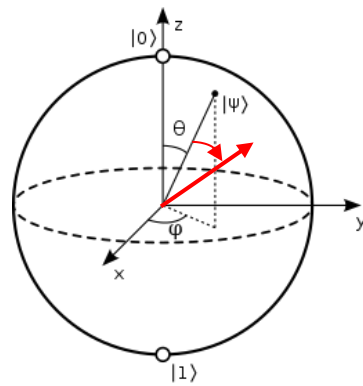


誤り耐性量子計算 (FTQC) の主な構成要素



- 「いかにして効率的な誤り訂正プロセスを実現するか」が誤り耐性量子計算の実現性の決め手

量子誤り訂正符号に求められる条件



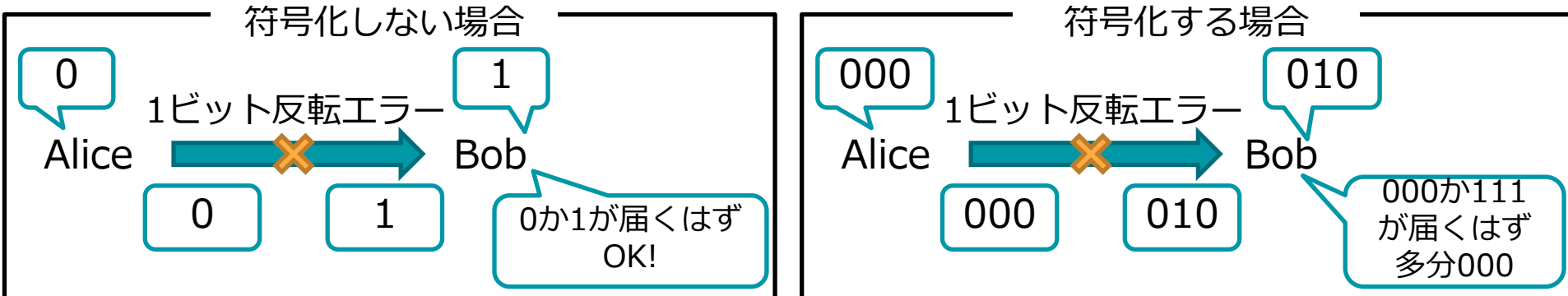
[3] より

- 量子ビット数: 100~1000
- エラーレート: 0.1~1%

- 連続的な情報に生じたエラーを訂正できる
- 直接状態を観測することなく訂正できる
- 実験的に達成できる誤り率を超えるしきい値を持つ

[3] Frank Arute, Kunal Arya, Ryan Babbush, et al. Quantum supremacy using a programmable superconducting processor. Nature 574, 505–510 (2019).

誤り訂正符号の役割



- 誤り訂正符号: 元データを冗長に表現して誤りの検出・訂正を可能にする符号
- 符号パラメータ $[n, k, d]$
 - n : 符号長 (どの程度冗長に表現するか)
 - k : 情報数 (元データのビット数)
 - d : 符号距離 (論理操作を行う際に触る必要のある最低ビット数)
 - $[(d - 1)/2]$ ビットまでは訂正可能、 $d - 1$ 個までは検出可能

符号の作り方

$$\{0,1\}^k$$

00
01
10
11

$$\{0,1\}^n$$

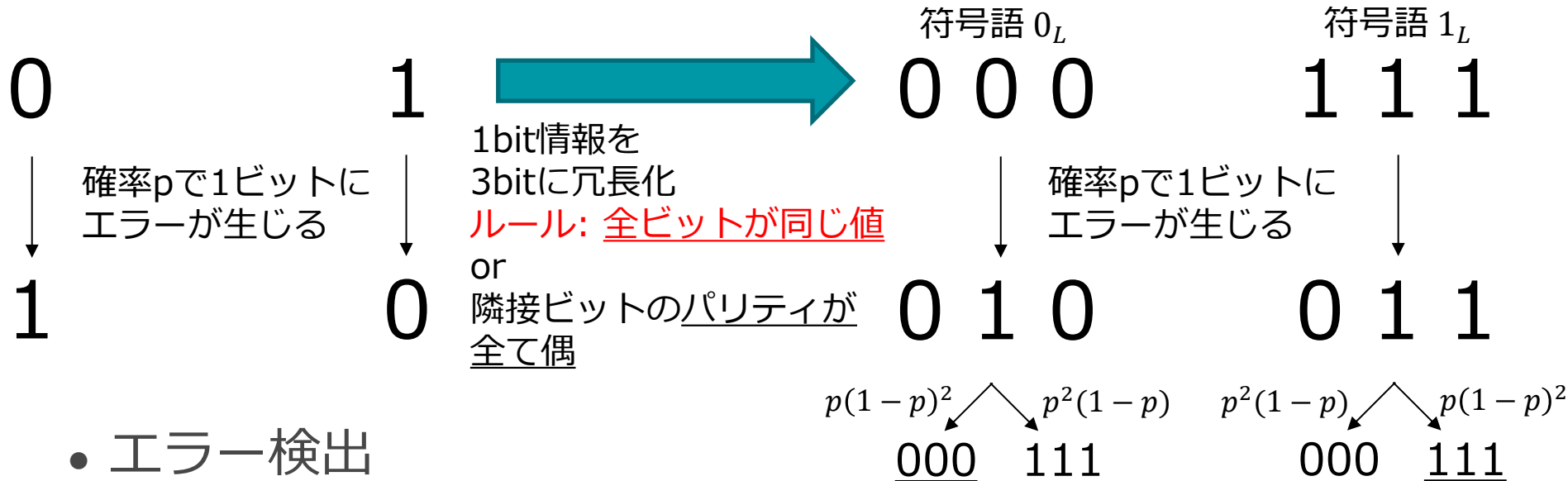
0000 **0001** 0010 0011
0100 0101 0110 0111
1000 **1001** 1010 1011
1100 **1101** 1110 1111

$k = 2, n = 4$ の例

適当に符号語に割り当てる
と対応表が膨大に

- k 次元空間の各点を n 次元空間の一部（**符号空間**）に割当
- 割当の際は何かしらのルールが必要
 - 特に量子版は重ね合わせの連続値を対応させる必要があるので、適当な割当は不可能

誤り訂正符号 古典の場合



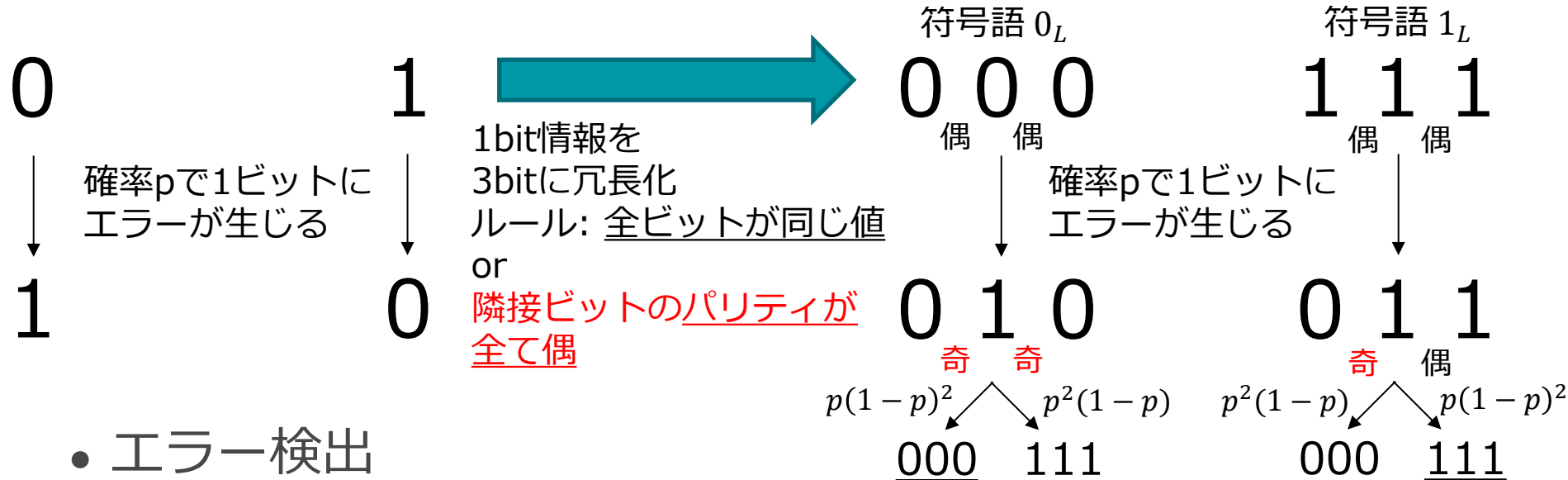
- エラー検出

- 符号を構成する各ビットをチェックしてすべて一致しているかどうか
- 隣接ビットのパリティがすべて偶であるか <- 量子でも可能なアプローチ

- エラー訂正（復号）

- パリティ検査の結果から最も近い（確率の高い）符号語を特定

誤り訂正符号 古典の場合



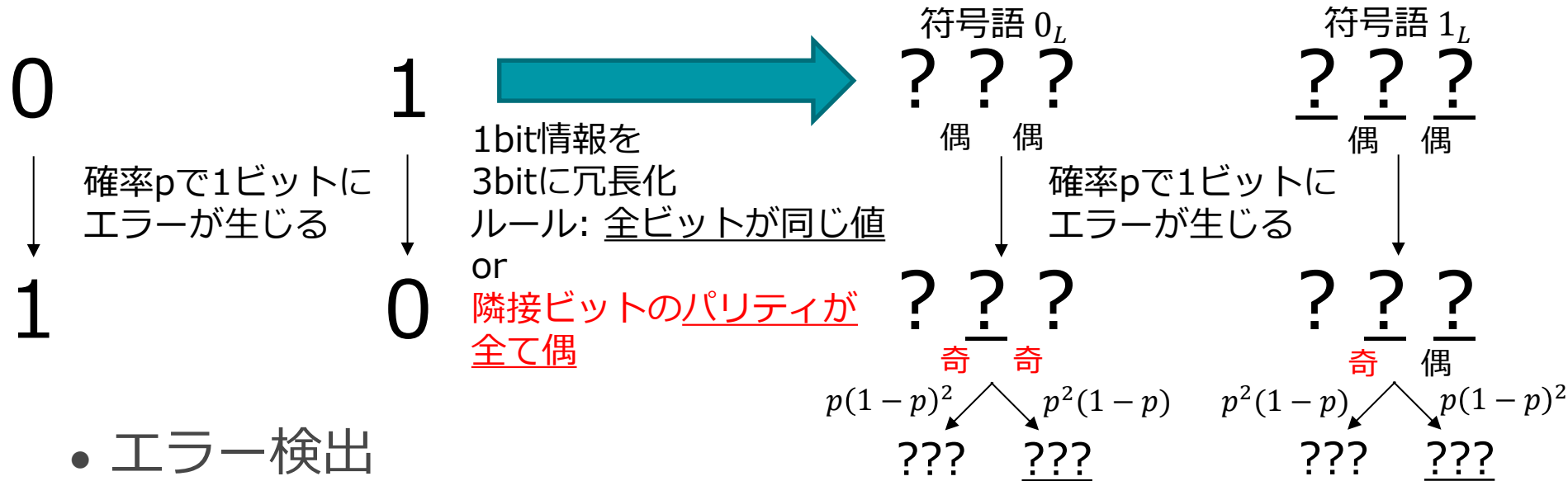
- エラー検出

- 符号を構成する各ビットをチェックしてすべて一致しているかどうか
- 隣接ビットのパリティがすべて偶であるか <- 量子でも可能なアプローチ

- エラー訂正（復号）

- パリティ検査の結果から最も近い（確率の高い）符号語を特定

誤り訂正符号 古典の場合



- エラー検出

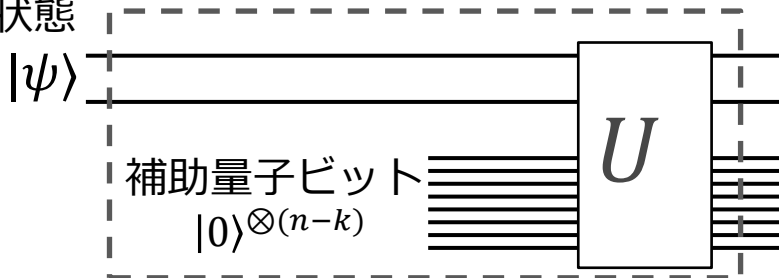
- 符号を構成する各ビットをチェックしてすべて一致しているかどうか
- 隣接ビットのパリティがすべて偶であるか <- 量子でも可能なアプローチ

- エラー訂正（復号）

- パリティ検査の結果から最も近い（確率の高い）符号語を特定

量子誤り訂正符号の作り方

k -量子ビット状態



n -量子ビット状態

$$\text{enc}(|\psi\rangle) := U|\psi\rangle|0\rangle^{\otimes(n-k)}$$

符号化操作 enc

補助量子ビットをつけて
ユニタリ行列で符号化

元の k -qubit 空間

$$|\psi\rangle = \sum_{x=0}^{2^k-1} \alpha_x |x\rangle$$

符号空間

$$|\psi_L\rangle = \sum_{x=0}^{2^k-1} \alpha_x \text{enc}(|x\rangle)$$

- ユニタリ行列 U を選ぶと符号の性質が決まる

- シンドローム測定 (=パリティチェック) が簡単
- 符号空間中の論理操作が簡単
- 望まない論理操作 (=論理工学) が起きにくい

満たしてほしい性質

ユニタリ行列 U の選び方

- U を適切なClifford行列 C とするのが良いとされている
 - スタビライザ符号と呼ばれる
 - Surface code, Toric code, Color codeもスタビライザ符号の一種

Clifford行列 C : 任意のPauli行列 P について、

CPC^\dagger がPauli行列となるユニタリ演算

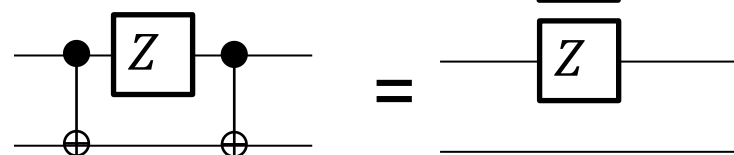
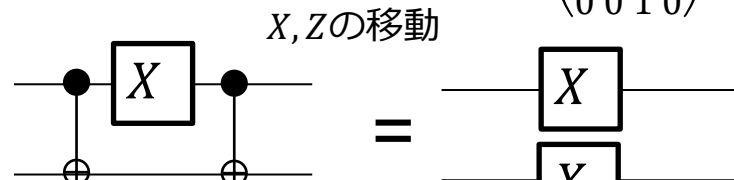
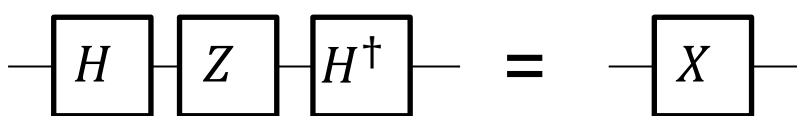
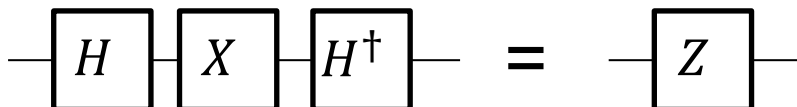
例: Hadamard, S, CNOTなど

$$H = \frac{1}{\sqrt{2}} \begin{pmatrix} 1 & 1 \\ 1 & -1 \end{pmatrix}$$

$$S = \begin{pmatrix} 1 & 0 \\ 0 & i \end{pmatrix}$$

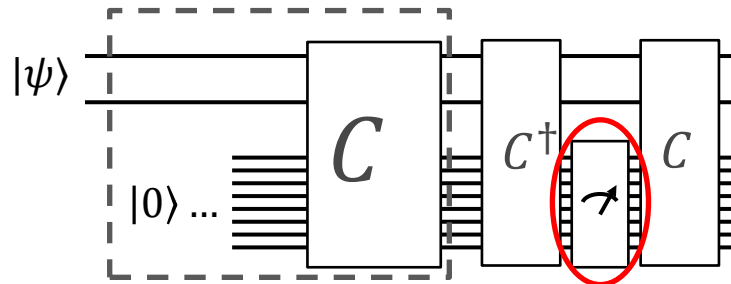
$$\text{CNOT} = \begin{pmatrix} 1 & 0 & 0 & 0 \\ 0 & 1 & 0 & 0 \\ 0 & 0 & 0 & 1 \\ 0 & 0 & 1 & 0 \end{pmatrix}$$

X,Zの入れ替え



スタビライザ符号の性質

シンドローム測定

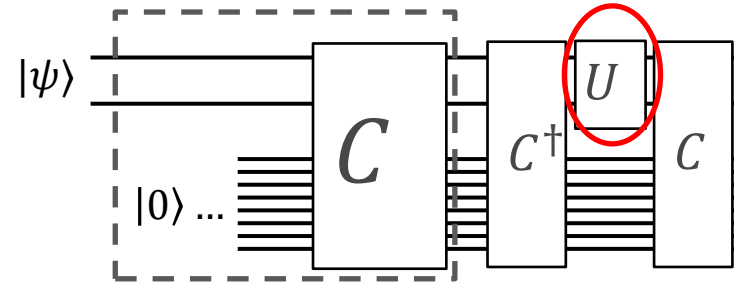


符号空間をチェック

Z測定が CZC^\dagger (Pauli測定) に変化
比較的容易

測定値からエラー検出・訂正が可能

論理演算



符号空間上の操作

U が $C^\dagger UC$ に変化
 U がPauliかCliffordなら容易

誤り耐性量子計算を使う空間

$$\text{純粹状態 } |\psi\rangle = \sum_i^{2^n} \alpha_i |i\rangle$$

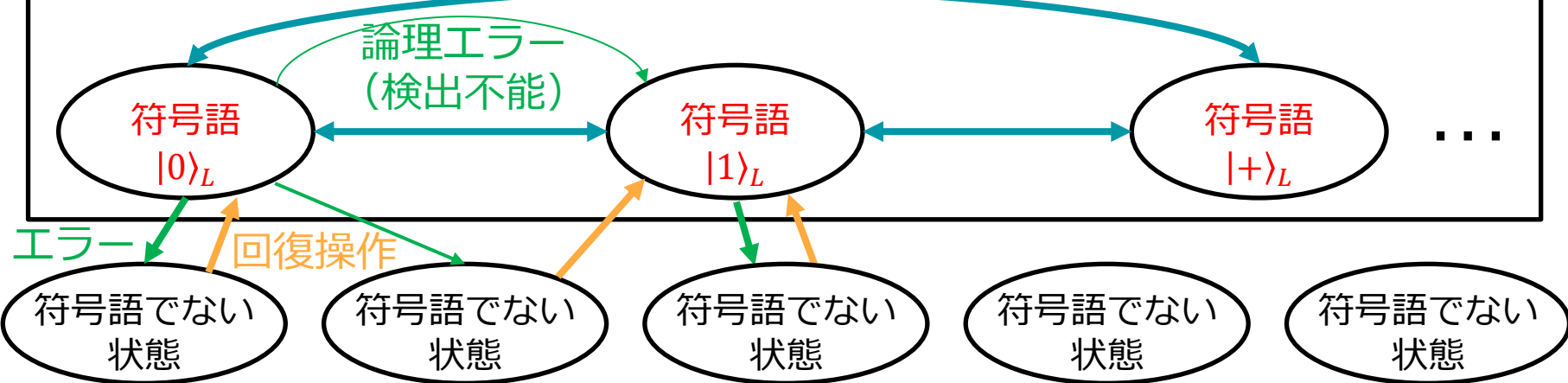
スタビライザ状態

$O(n)$ 個程度のスタビライザ演算子で特徴付けられる

符号空間

Clifford演算

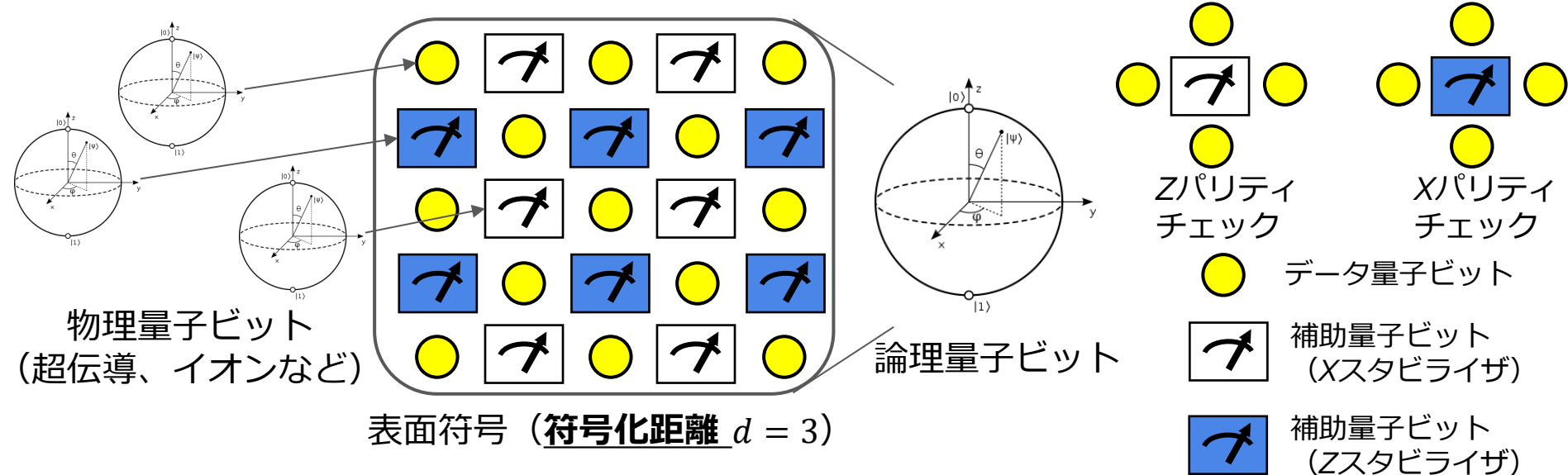
符号語から別の符号語へ遷移



発表内容

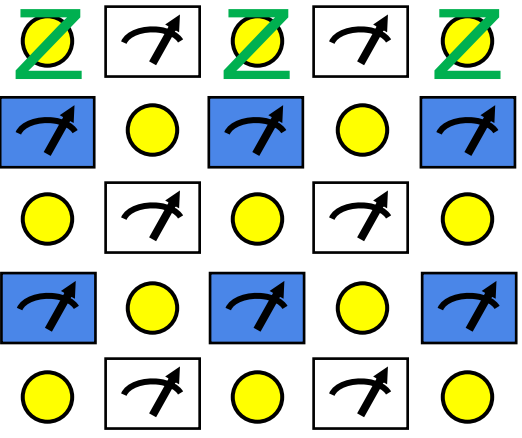
- 量子計算機アーキテクチャの研究動向
 - 計算機アーキテクチャの研究対象・隣接分野
 - 計算機アーキテクチャ分野における量子関連の研究動向
- 計算機系のための表面符号入門（1コマ目）
 - 量子誤り訂正の基礎
 - 表面符号の誤り推定処理のグラフ問題への帰着
 - Stim+Crumbleを用いた表面符号シミュレーション
 - 極低温環境での表面符号の誤り推定処理（上野の博論, DAC'21, HPCA'22）
- 表面符号+格子手術に基づく誤り耐性量子計算（2コマ目）
 - ロードストア型FTQCアーキテクチャ（HPCA2025）
- HPCA2026投稿中論文について（3コマ目）
- まとめ

量子誤り訂正符号: 表面符号

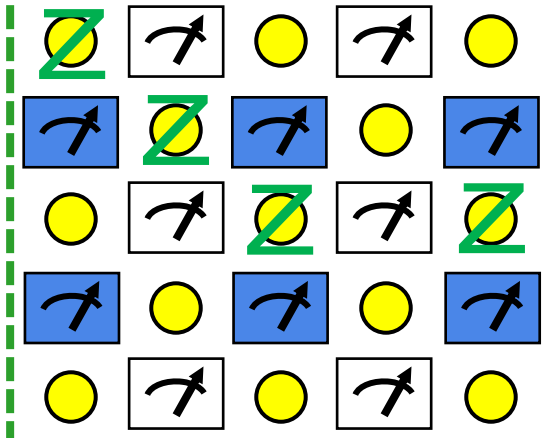


- 規則的に並んだ複数の量子ビットで論理量子ビットを表現
 - 論理ビットの状態を表すデータ量子ビットと観測用の補助量子ビット
- 補助量子ビットの観測値: XとZの2種類のエラーのうち、対応するもののパリティチェック

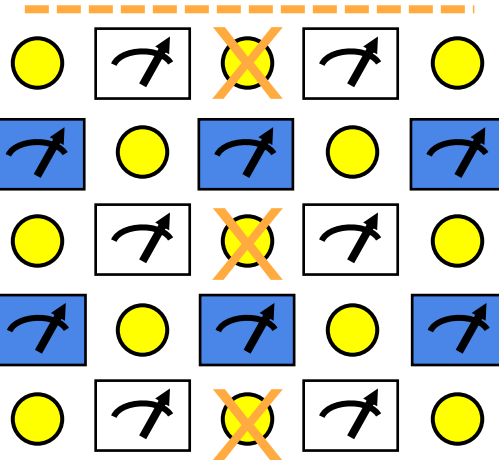
表面符号における論理Pauli演算



論理Z演算の一例



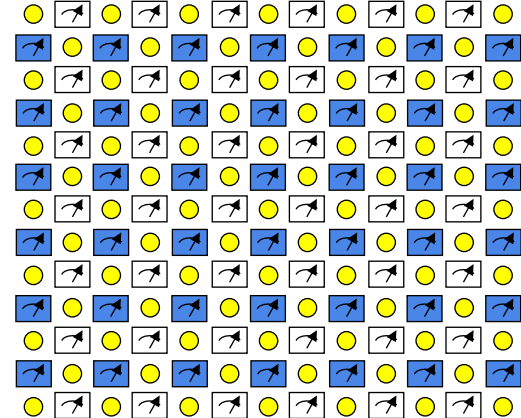
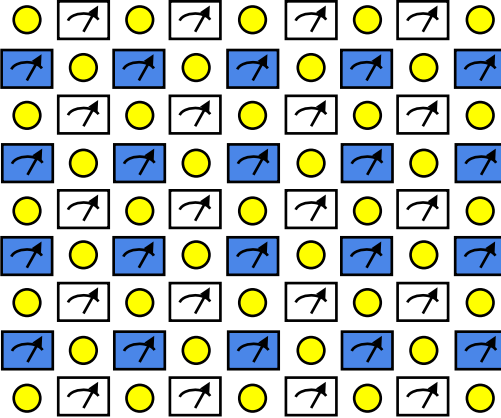
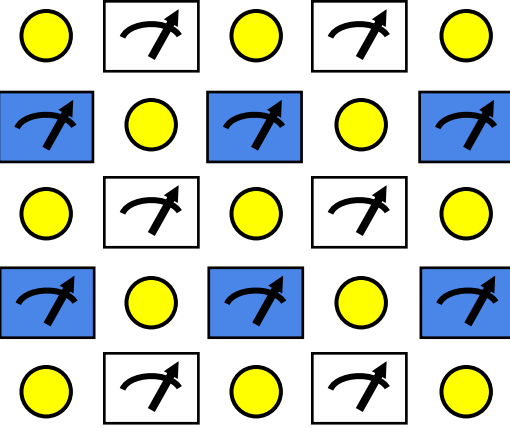
論理Z演算の別の例



論理X演算の一例

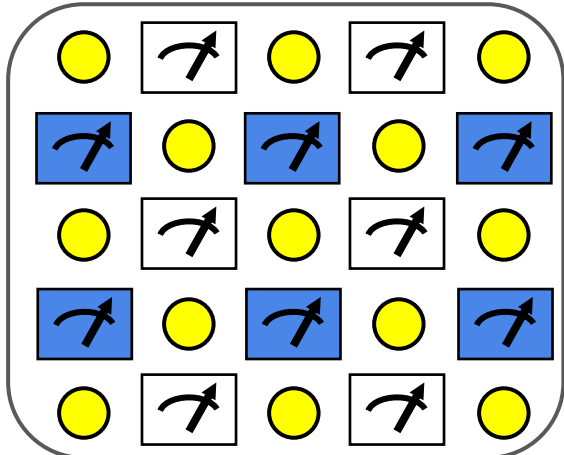
- 論理Z演算：左右の境界をつなぐようにデータ量子ビットにZ演算を作用
- 論理X演算：上下の境界をつなぐようにデータ量子ビットにX演算を作用
- 表面符号の左右、上下の境界は意味が異なる

表面符号の符号距離



- 符号距離 d : 論理操作をするのに触る必要があるデータ量子ビットの数
- 表面符号の構成に必要な量子ビット数は $O(d^2)$
- 1ビットエラー率 p 場合、望まない論理操作が起きる確率は $O(p^d)$
- 多項式的なオーバーヘッドで指数的な論理工学率の低減

補足: Rotated surface code

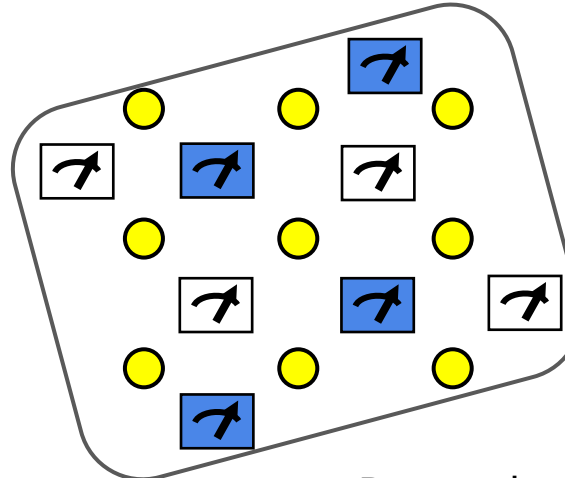


通常の表面符号 ($d = 3$)

データ量子ビット: $d^2 + (d - 1)^2$

補助量子ビット: $d(d - 1) \times 2$

符号パラメータ: $[d^2 + (d - 1)^2, 1, d]$

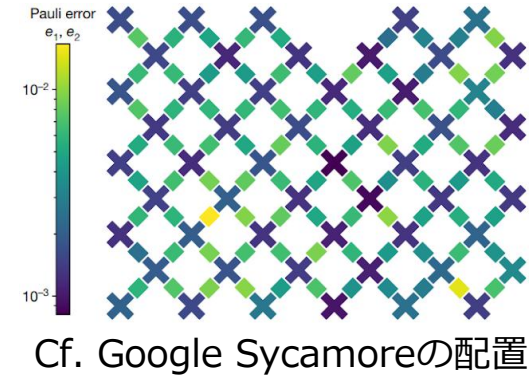


Rotated surface code ($d = 3$)

データ量子ビット: d^2

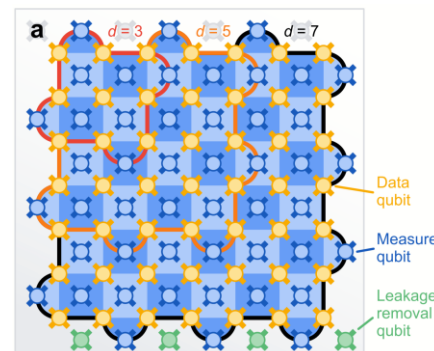
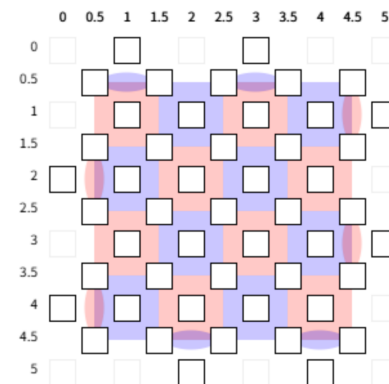
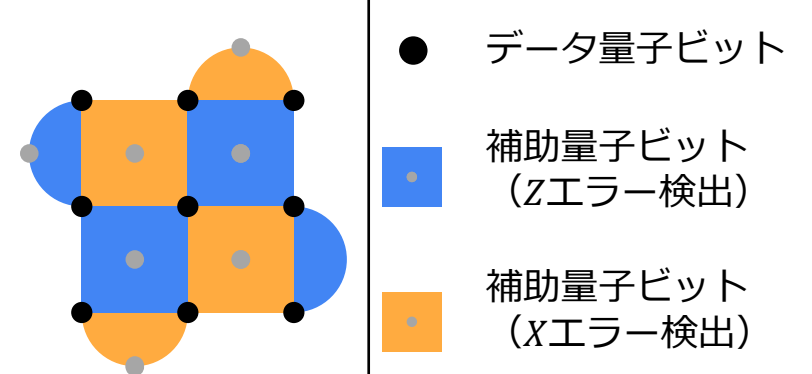
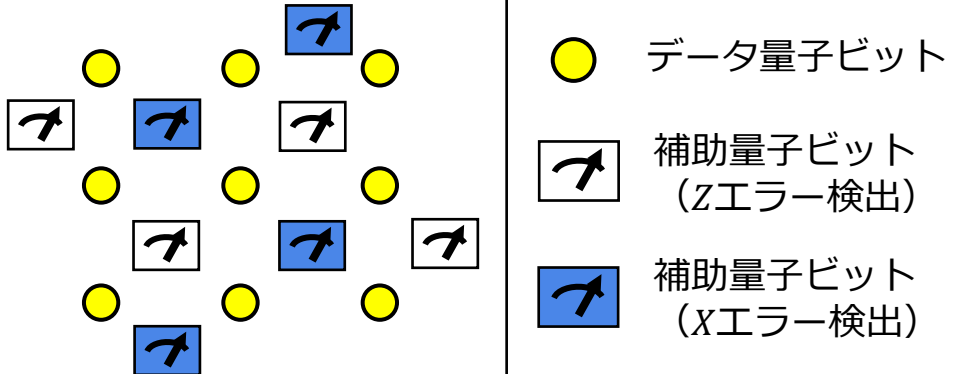
補助量子ビット: $(\frac{(d-1)^2}{2} + d - 1) \times 2$

符号パラメータ $[d^2, 1, d]$

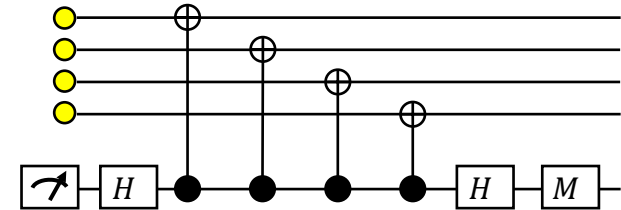
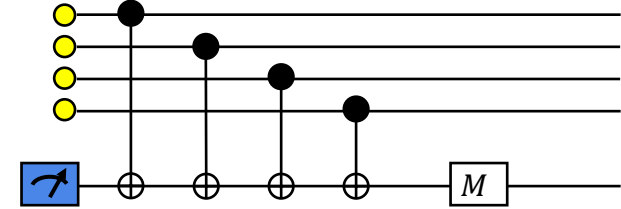
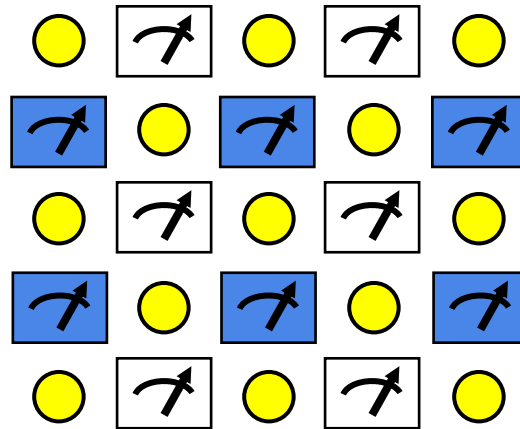


- 表面符号を45度回転させると符号距離を保ったまま物理量子ビット数を削減できる

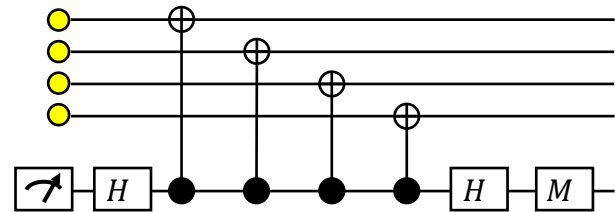
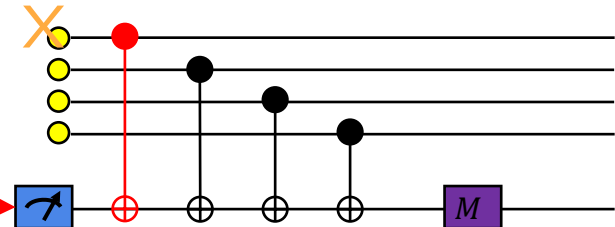
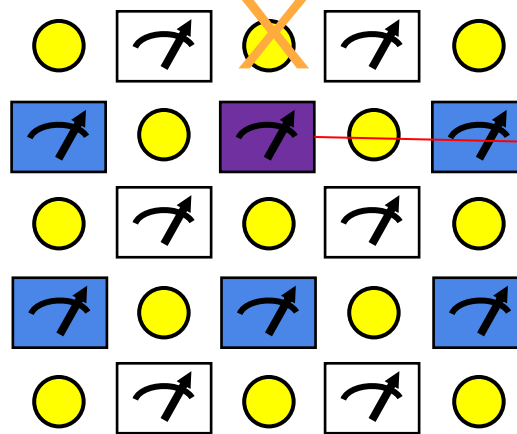
補足: Rotated surface codeの表記



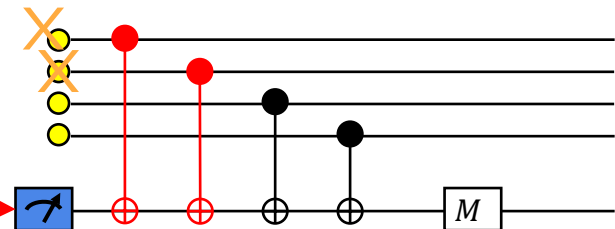
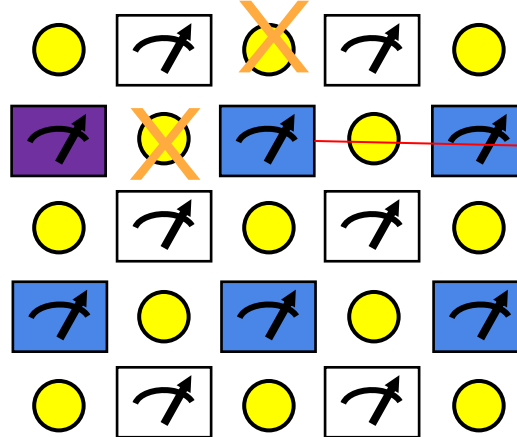
表面符号におけるパリティチェック



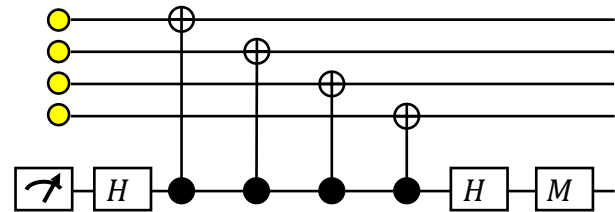
表面符号におけるパリティチェック



表面符号におけるパリティチェック

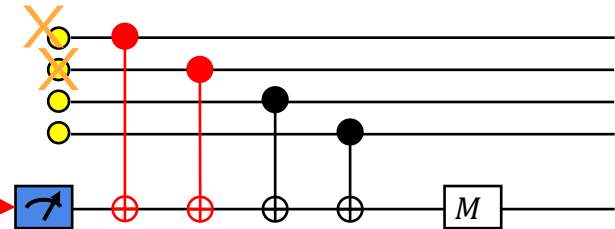
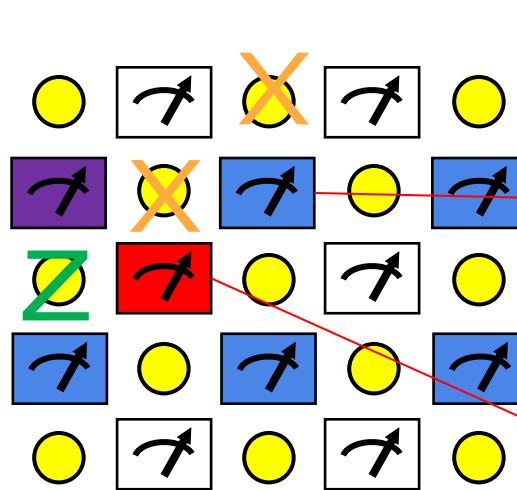


Zスタビライザ測定
(Xエラーパリティチェック)

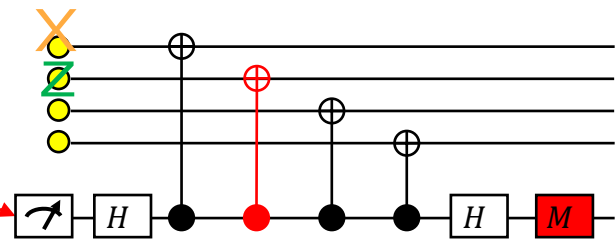


Xスタビライザ測定
(Zエラーパリティチェック)

表面符号におけるパリティチェック

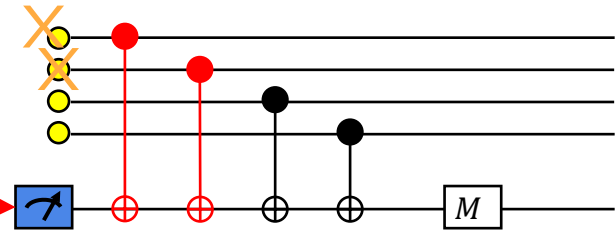
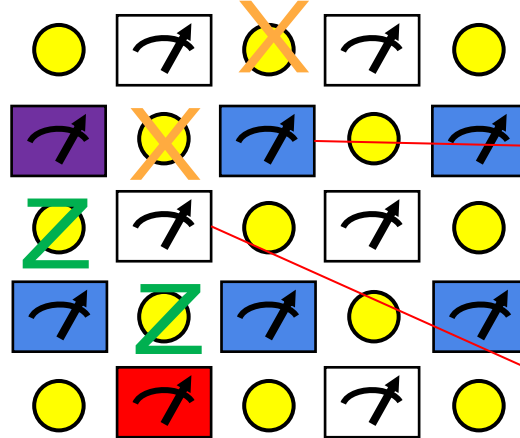


Zスタビライザ測定
(Xエラーパリティチェック)

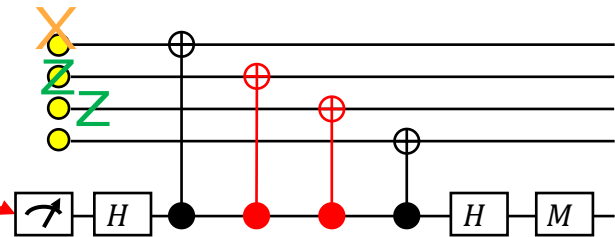


Xスタビライザ測定
(Zエラーパリティチェック)

表面符号におけるパリティチェック

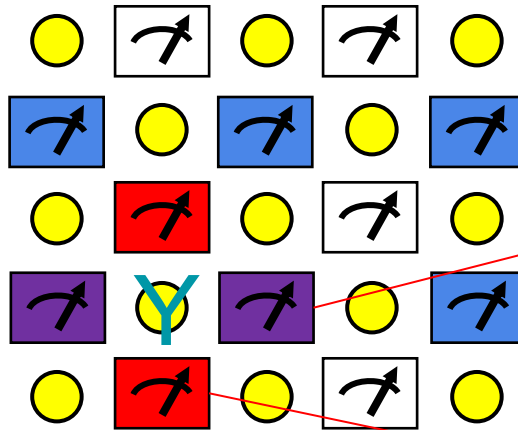


Zスタビライザ測定
(Xエラーパリティチェック)

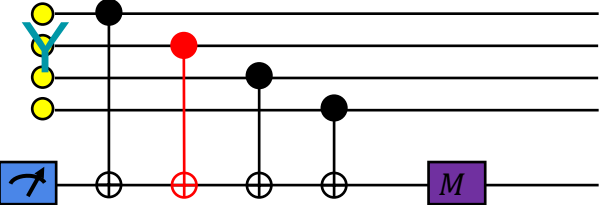


Xスタビライザ測定
(Zエラーパリティチェック)

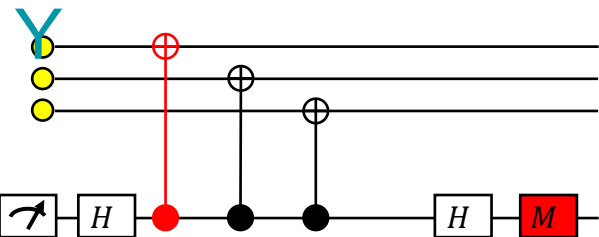
表面符号におけるパリティチェック



$Y = iXZ$ なので
 X と Z が同時に生じているとみなせる

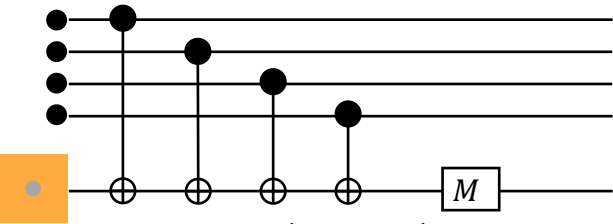
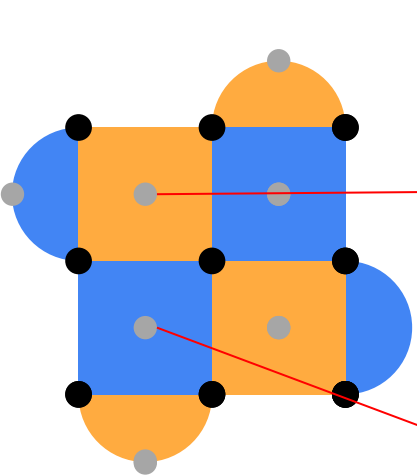


Zスタビライザ測定
(Xエラーパリティチェック)

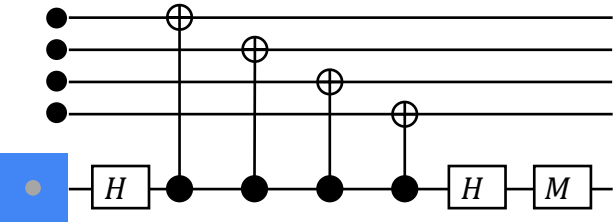


Xスタビライザ測定
(Zエラーパリティチェック)

補足：回転表面符号におけるパリティチェック



Zスタビライザ測定
(Xエラーパリティチェック)



Xスタビライザ測定
(Zエラーパリティチェック)

古典・量子誤り訂正符号の対比

古典

0 0 0
偶 偶

符号語 0_L

0 0 1
偶 奇

符号語でない

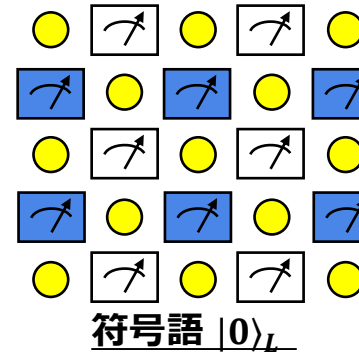
0 1 1
奇 偶

符号語でない

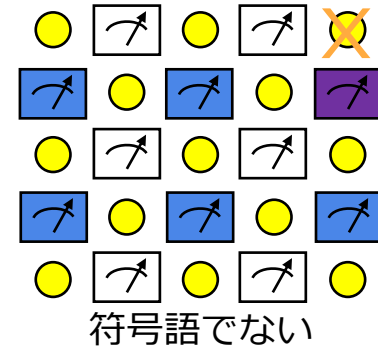
1 1 1
偶 偶

符号語 1_L

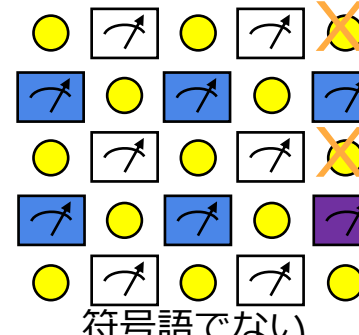
量子 (表面符号)



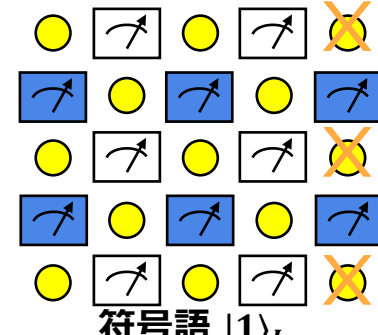
符号語 $|0\rangle_L$



符号語でない

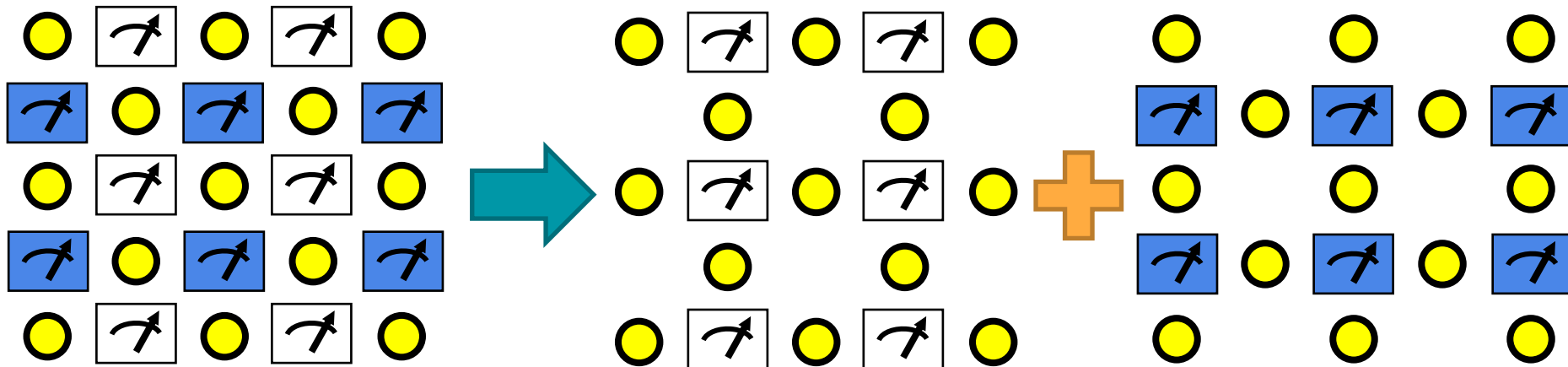


符号語でない



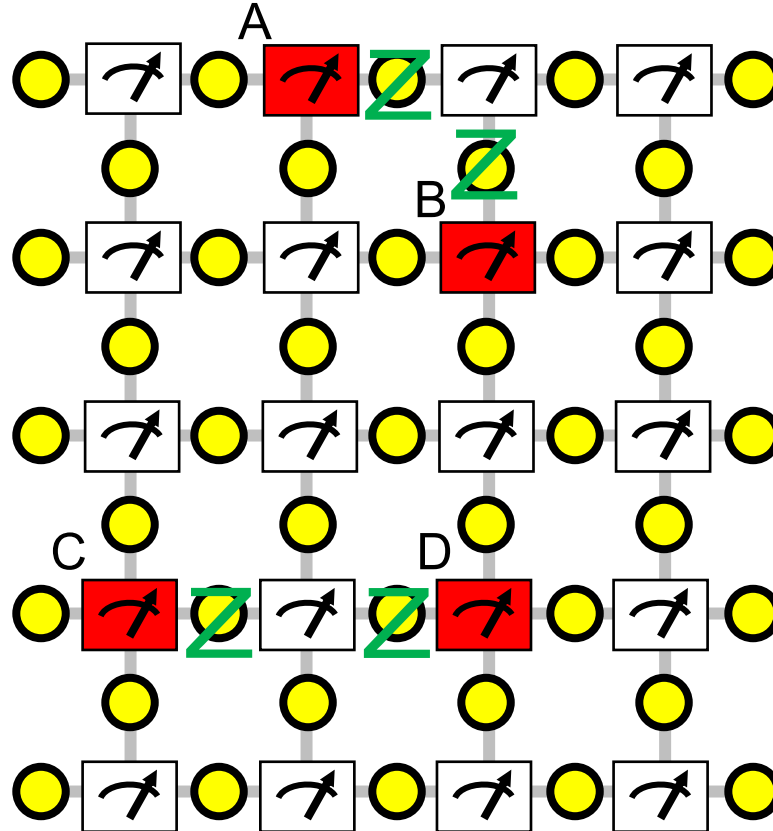
符号語 $|1\rangle_L$

表面符号におけるエラー推定（復号）



- XとZのそれぞれのエラーを独立に推定できる
 - マッチング問題に帰着する場合はXとZの格子を独立に復号
- XとZに相関がある場合、その情報を使えない

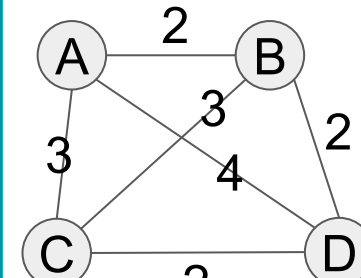
表面符号におけるエラー推定（復号）



- 仮定
- XとZのエラーは独立に推定できる
 - なるべく短いエラー鎖が生じる



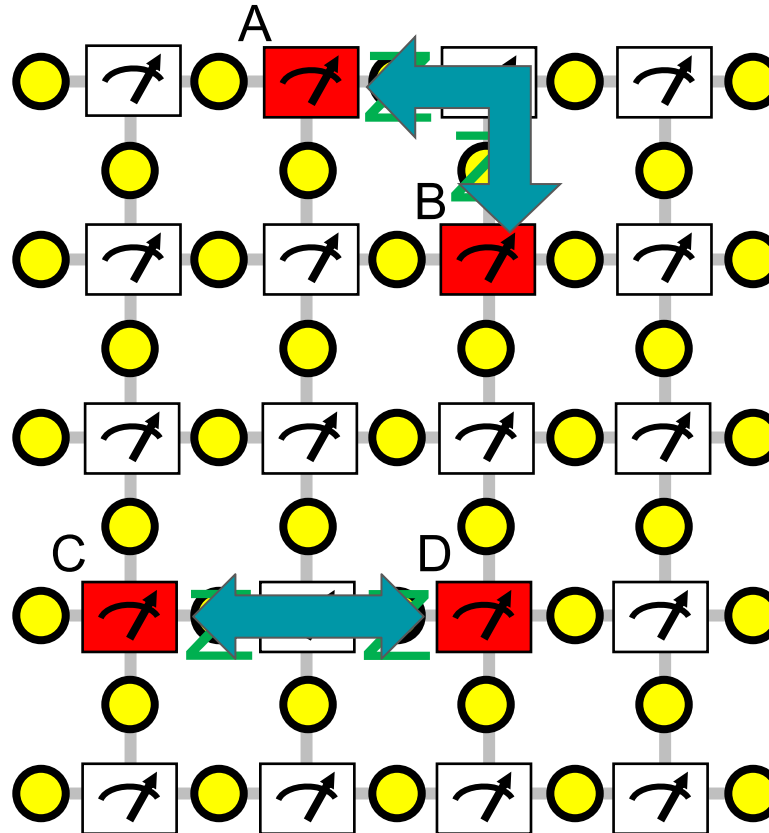
Minimum Weight Perfect Matching
(MWPM)



V : Hot syndromes
 W_e : Manhattan distance

Exact solution: Blossom algorithm ($O(n^3)$)

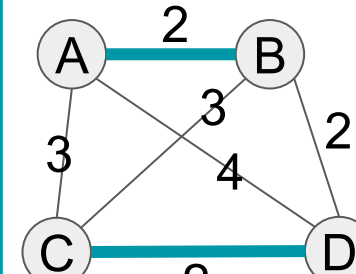
表面符号におけるエラー推定（復号）



- 仮定
- XとZのエラーは独立に推定できる
 - なるべく短いエラー鎖が生じる



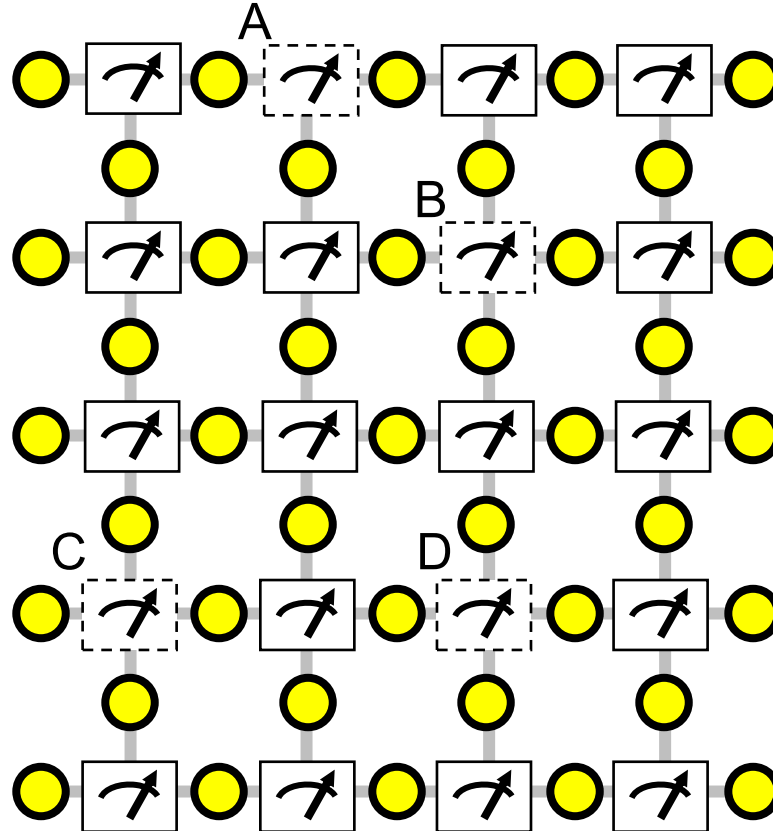
Minimum Weight Perfect Matching
(MWPM)



V : Hot syndromes
 W_e : Manhattan distance

Exact solution: Blossom algorithm ($O(n^3)$)

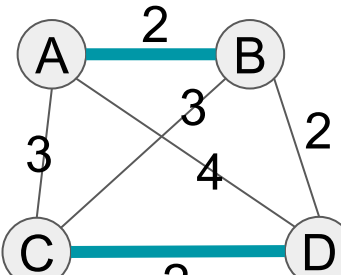
表面符号におけるエラー推定（復号）



- 仮定
- XとZのエラーは独立に推定できる
 - なるべく短いエラー鎖が生じる



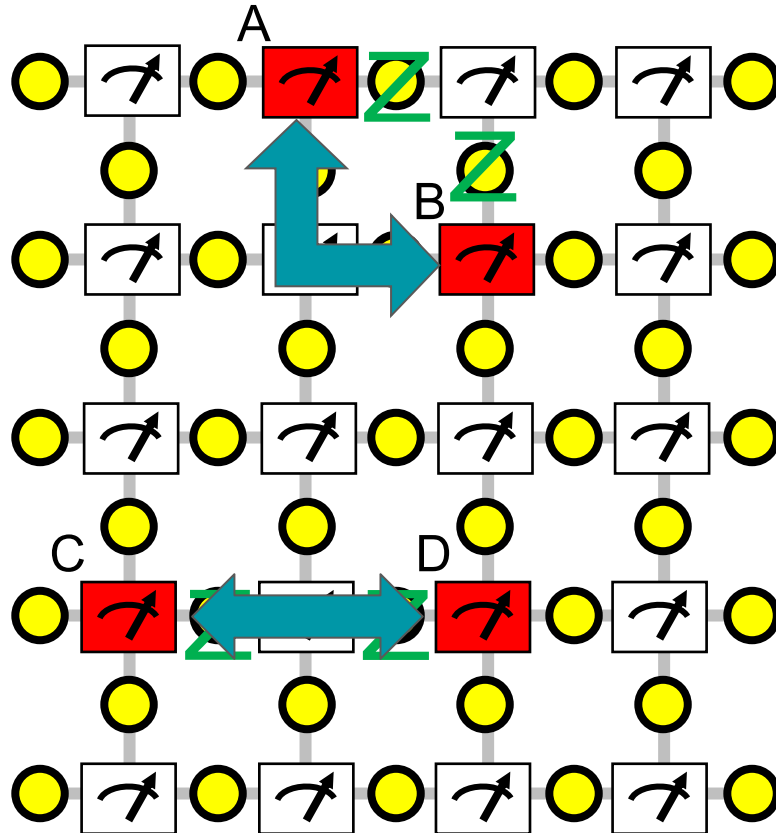
Minimum Weight Perfect Matching
(MWPM)



V : Hot syndromes
 W_e : Manhattan distance

Exact solution: Blossom algorithm ($O(n^3)$)

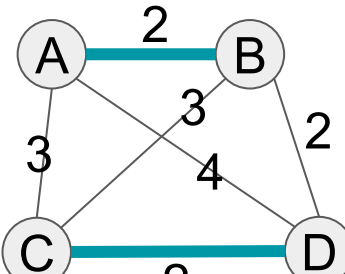
異なるつなぎ方をした場合



- 仮定
- XとZのエラーは独立に推定できる
 - なるべく短いエラー鎖が生じる



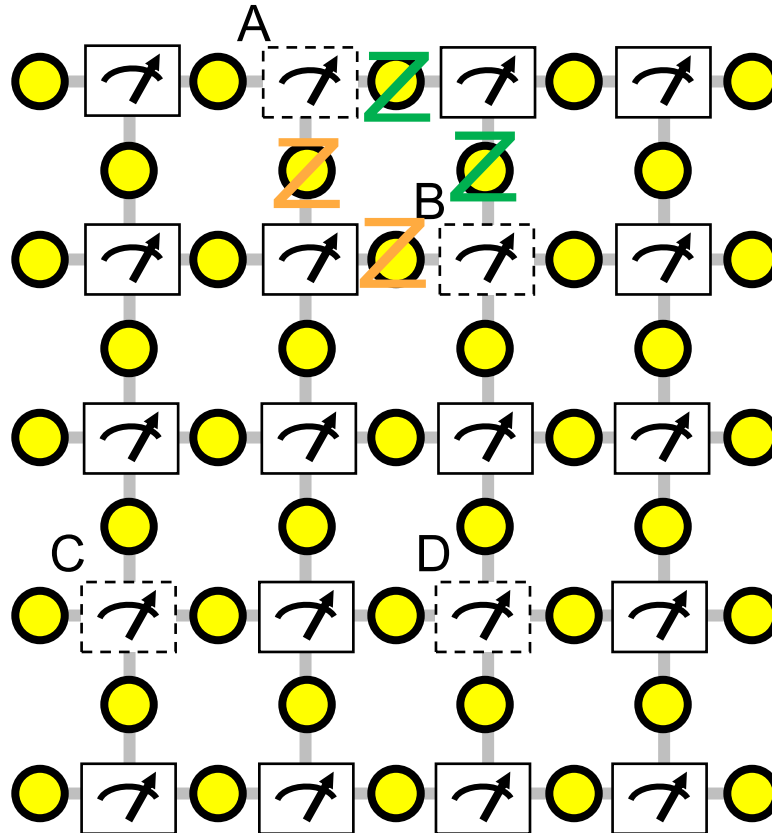
Minimum Weight Perfect Matching
(MWPM)



V : Hot syndromes
 W_e : Manhattan distance

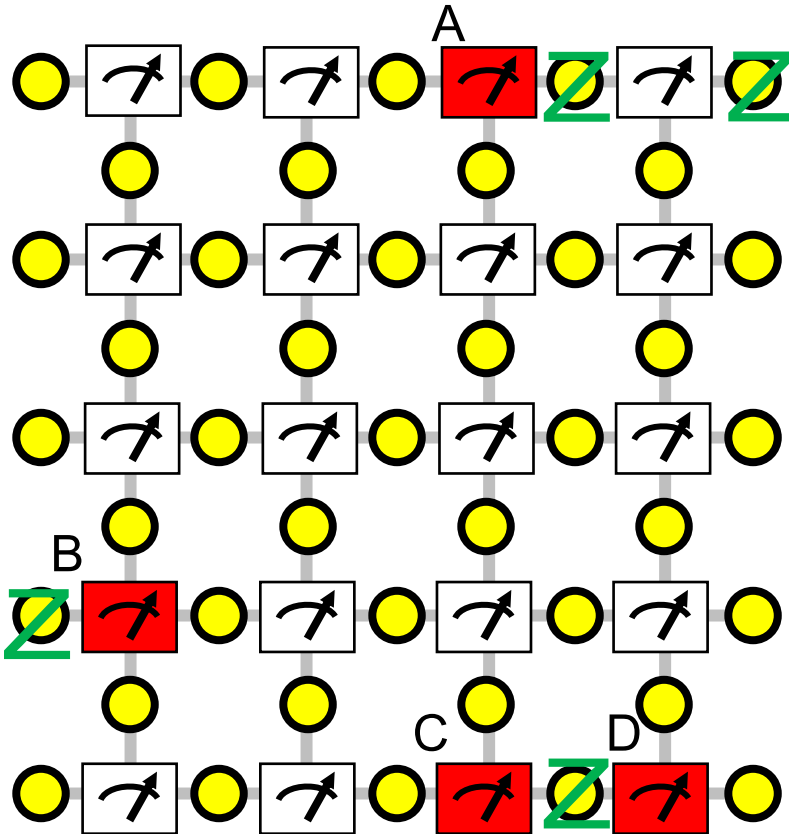
Exact solution: Blossom algorithm ($O(n^3)$)

異なるつなぎ方をした場合



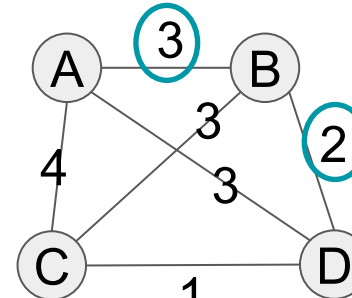
- エラーと訂正の合計が closed loop を作る場合も復号成功
 - (Topologically) trivial chain と呼ばれる
 - 論理操作になる
= 論理状態に影響を与えない
= 論理工学にならない
- 訂正の成否は奇 parity の ペア決めのみに依存しつなぎ方に依らない

境界につながるエラー



- グラフのエッジ重みを工夫することで境界につながるエラーもマッチング問題により推定できる
 - 「ノード間のマンハッタン距離」と「それぞれのノードの最寄りの境界からの距離の和」のうち小さい方を重みとする

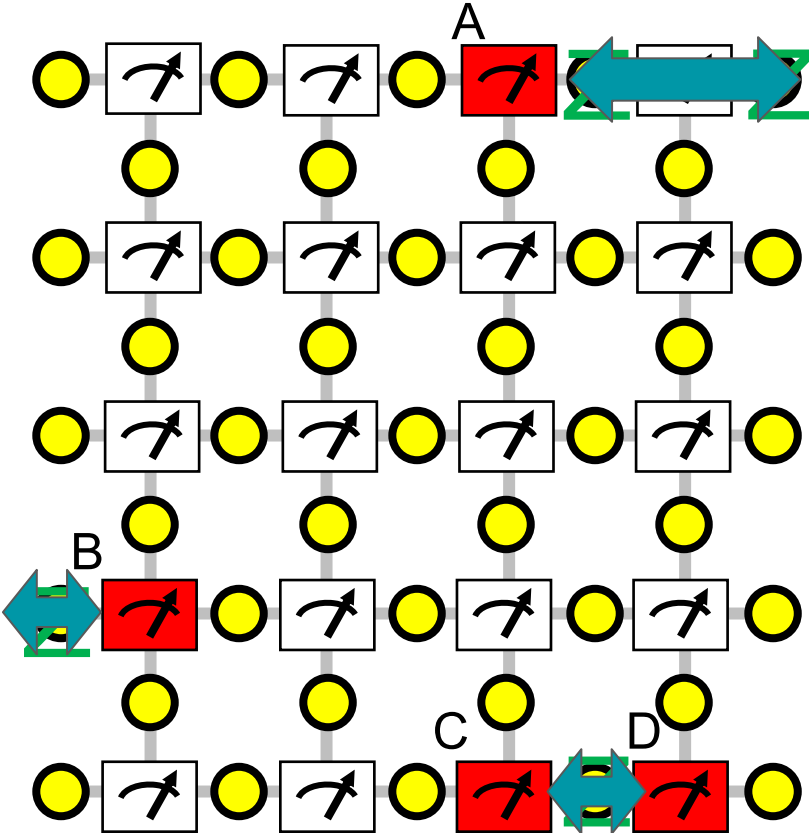
マンハッタン距離 : 5
境界との距離の和 : $1 + 2 = \underline{3}$



マンハッタン距離 : 4
境界との距離の和 : $1 + 1 = \underline{2}$

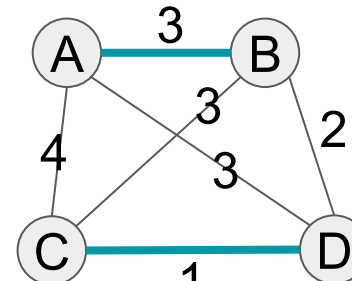
マンハッタン距離 : 1
境界との距離の和 : $1 + 2 = 3$

境界につながるエラー



- グラフのエッジ重みを工夫することで境界につながるエラーもマッチング問題により推定できる
 - 「ノード間のマンハッタン距離」と「それぞれのノードの最寄りの境界からの距離の和」のうち小さい方を重みとする

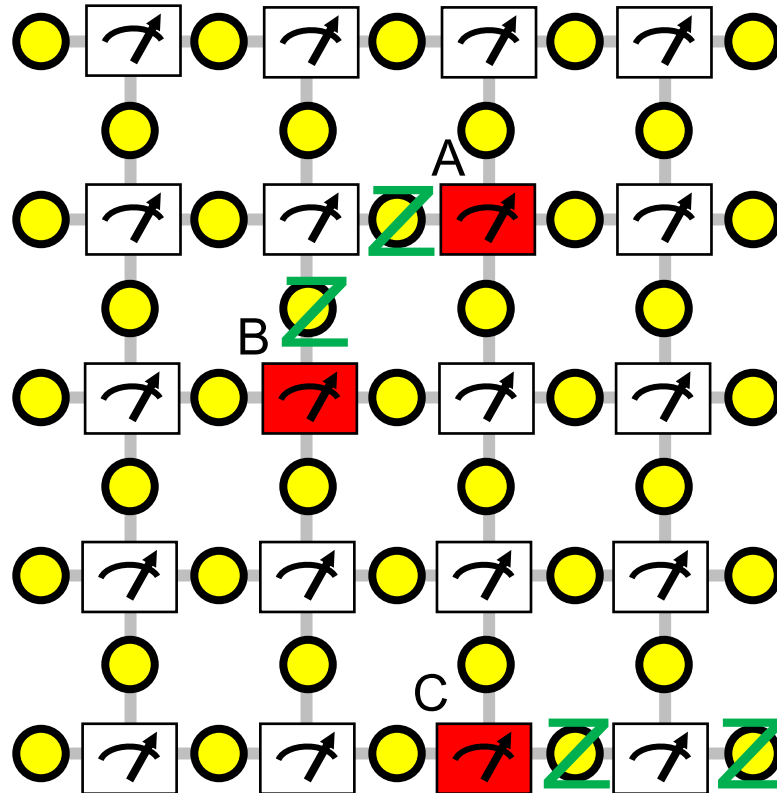
マンハッタン距離 : 5
境界との距離の和 : $1 + 2 = \underline{3}$



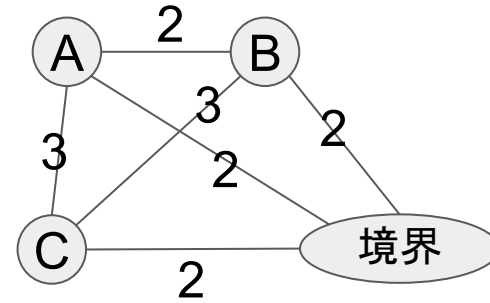
マンハッタン距離 : 4
境界との距離の和 : $1 + 1 = \underline{2}$

マンハッタン距離 : 1
境界との距離の和 : $1 + 2 = 3$

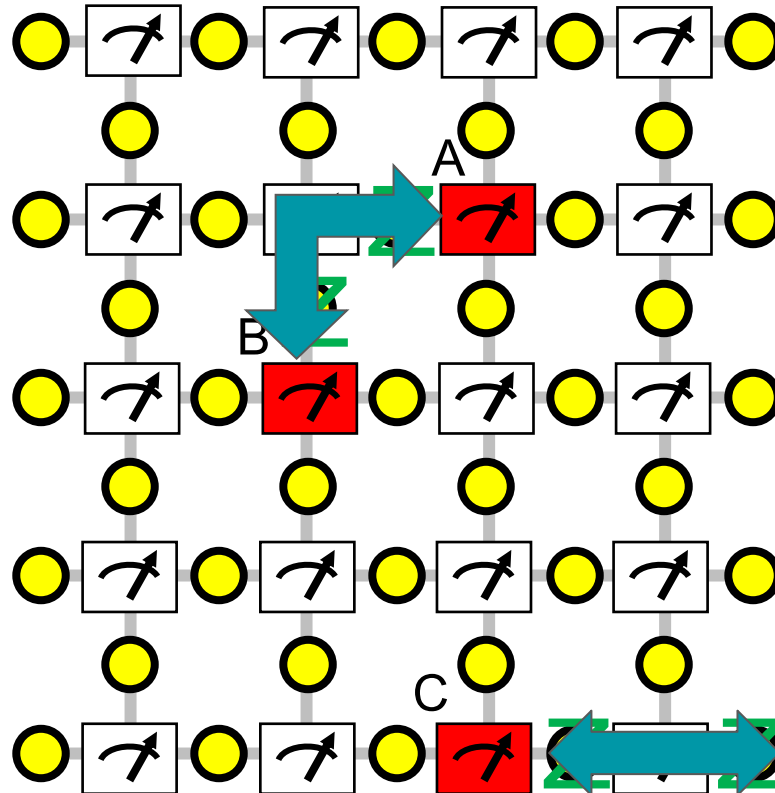
頂点が奇数の場合



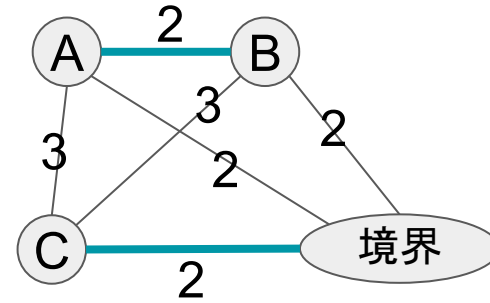
- 奇数ノードの完全グラフには完全マッチングが存在しない
- 「境界を表す仮想的なノード」を追加して偶数ノードの完全グラフをつくる
 - 境界ノードとのエッジの重みは最寄りの境界への距離



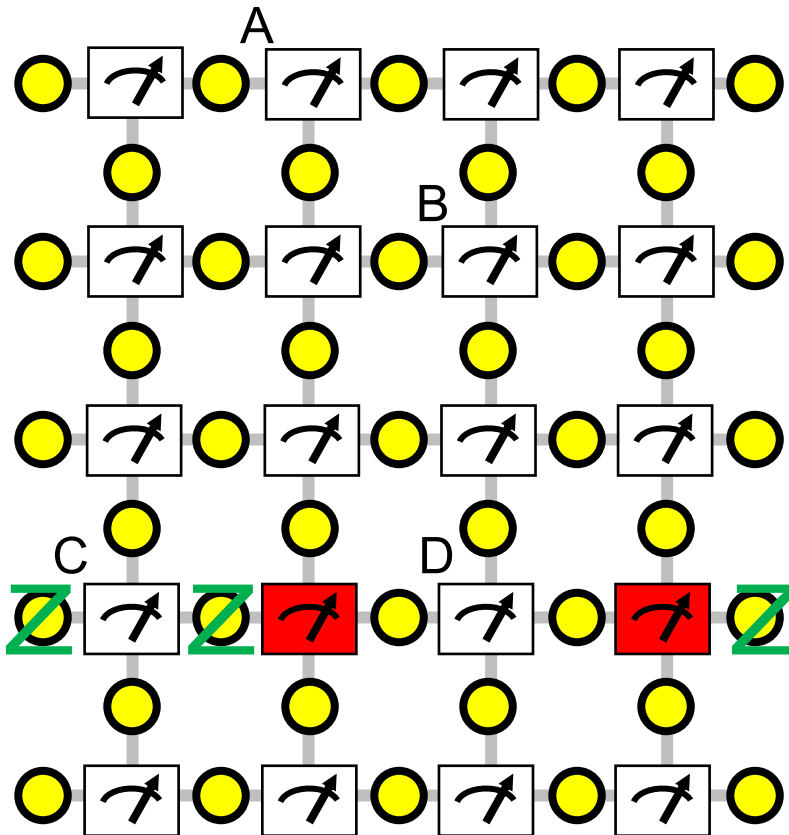
頂点が奇数の場合



- 奇数ノードの完全グラフには完全マッチングが存在しない
- 「境界を表す仮想的なノード」を追加して偶数ノードの完全グラフをつくる
 - 境界ノードとのエッジの重みは最寄りの境界への距離

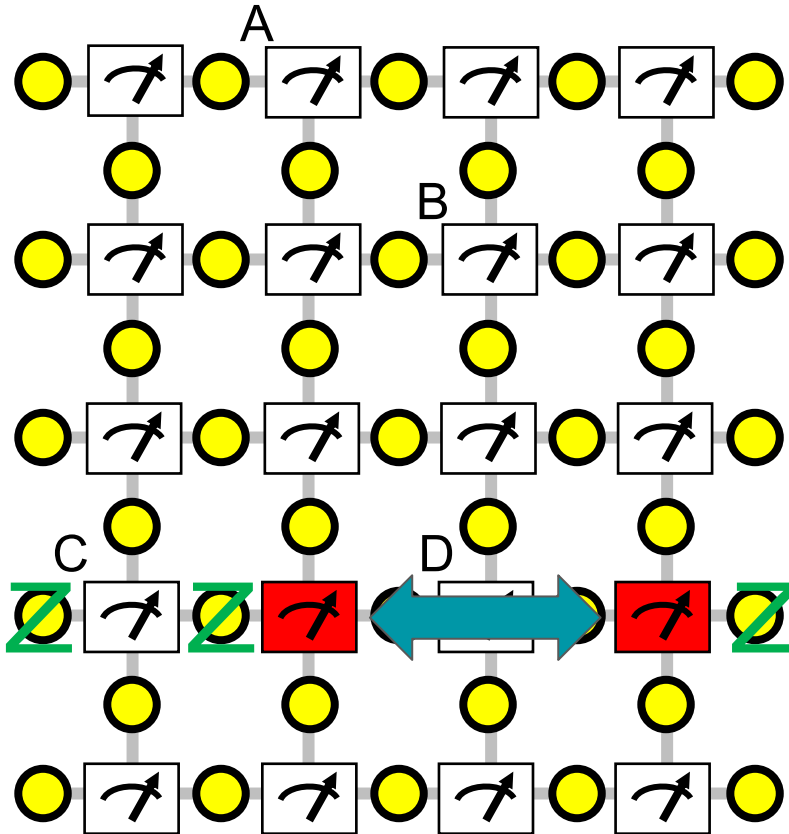


論理工ラーが生じる場合



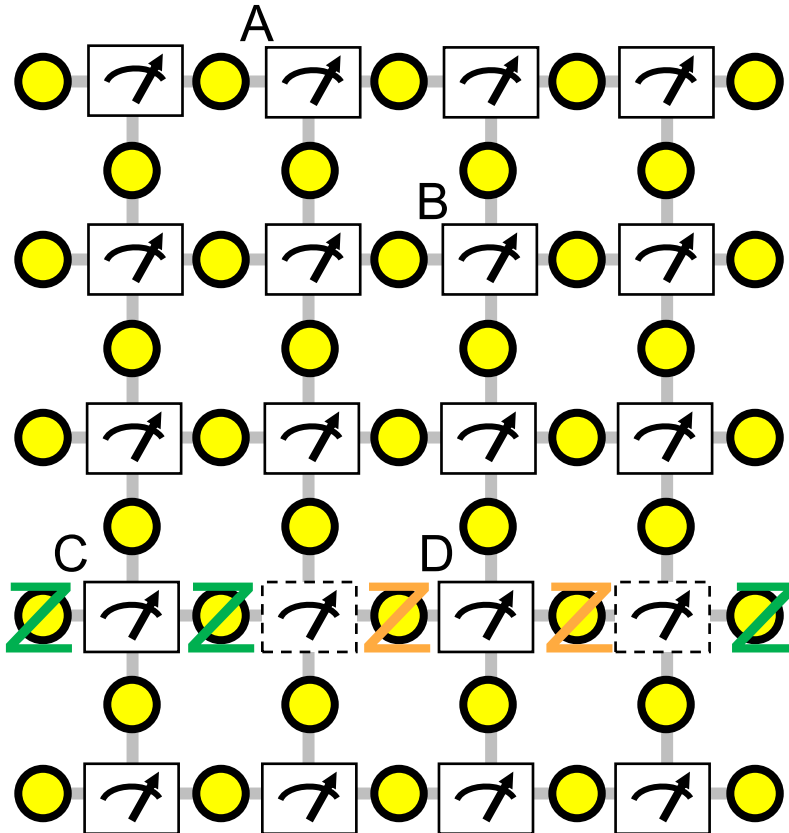
- エラーと訂正のある境界から別の境界へつながるchainを作る
 - Non-trivial chain
 - 論理Z操作になる
 - = 望まない論理ビットの状態変化
 - = 論理工ラー
- 最低で符号距離 d の半分以上のエラーで復号に失敗する

論理工ラーが生じる場合



- エラーと訂正のある境界から別の境界へつながるchainを作る
 - Non-trivial chain
 - 論理Z操作になる
 - = 望まない論理ビットの状態変化
 - = 論理工ラー
- 最低で符号距離 d の半分以上のエラーで復号に失敗する

論理工ラーが生じる場合



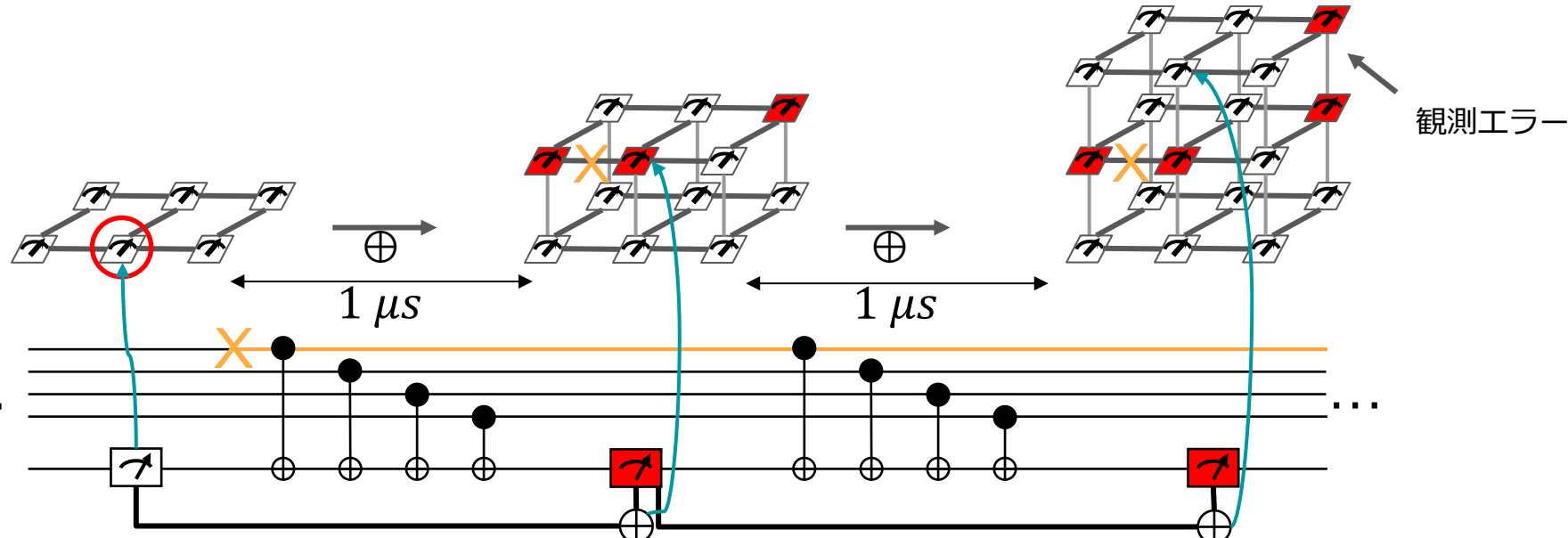
- エラーと訂正のある境界から別の境界へつながるchainを作る
 - Non-trivial chain
 - 論理Z操作になる
 - = 望まない論理ビットの状態変化
 - = 論理工ラー
- 最低で符号距離 d の半分以上のエラーで復号に失敗する

補助量子ビットの観測エラーへの対応

1回目の観測

2回目の観測

3回目の観測



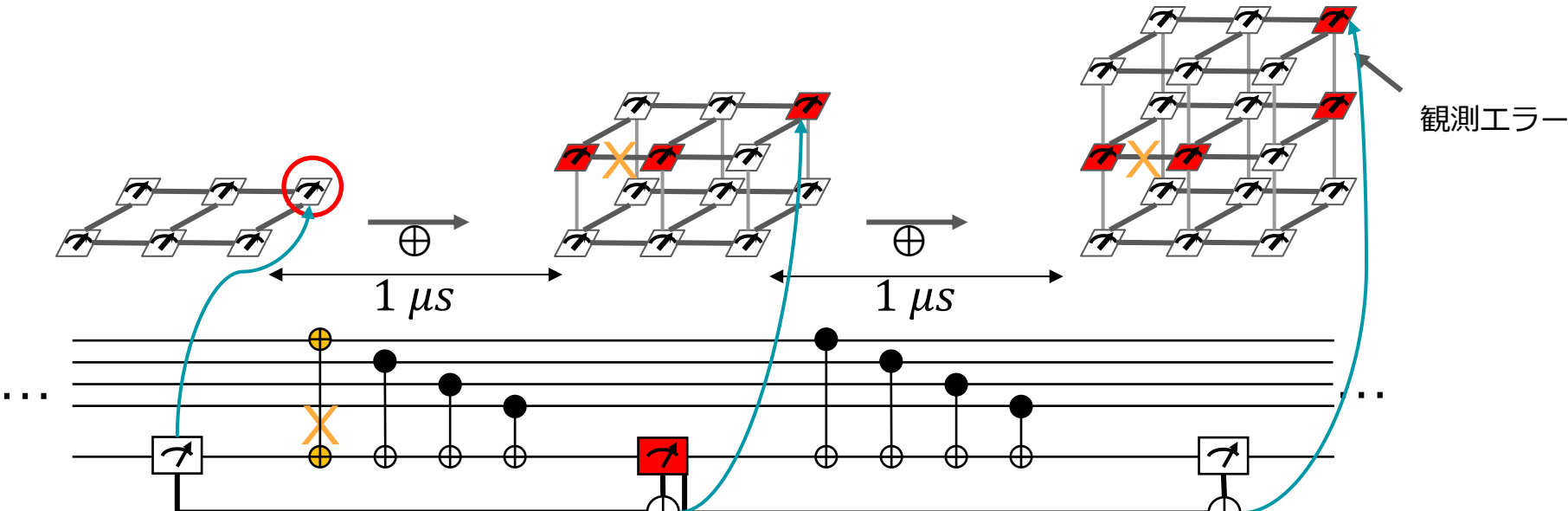
- データ量子ビットのエラーは訂正するまで残る、観測エラーは一時的
- 複数回観測をおこない観測値を垂直にスタックする
 - 前時刻の観測値とXORをとることで、観測値の変化した時点を表す
- エラー推定 = 3次元格子上でグラフマッチング問題を解く

補助量子ビットの観測エラーへの対応

1回目の観測

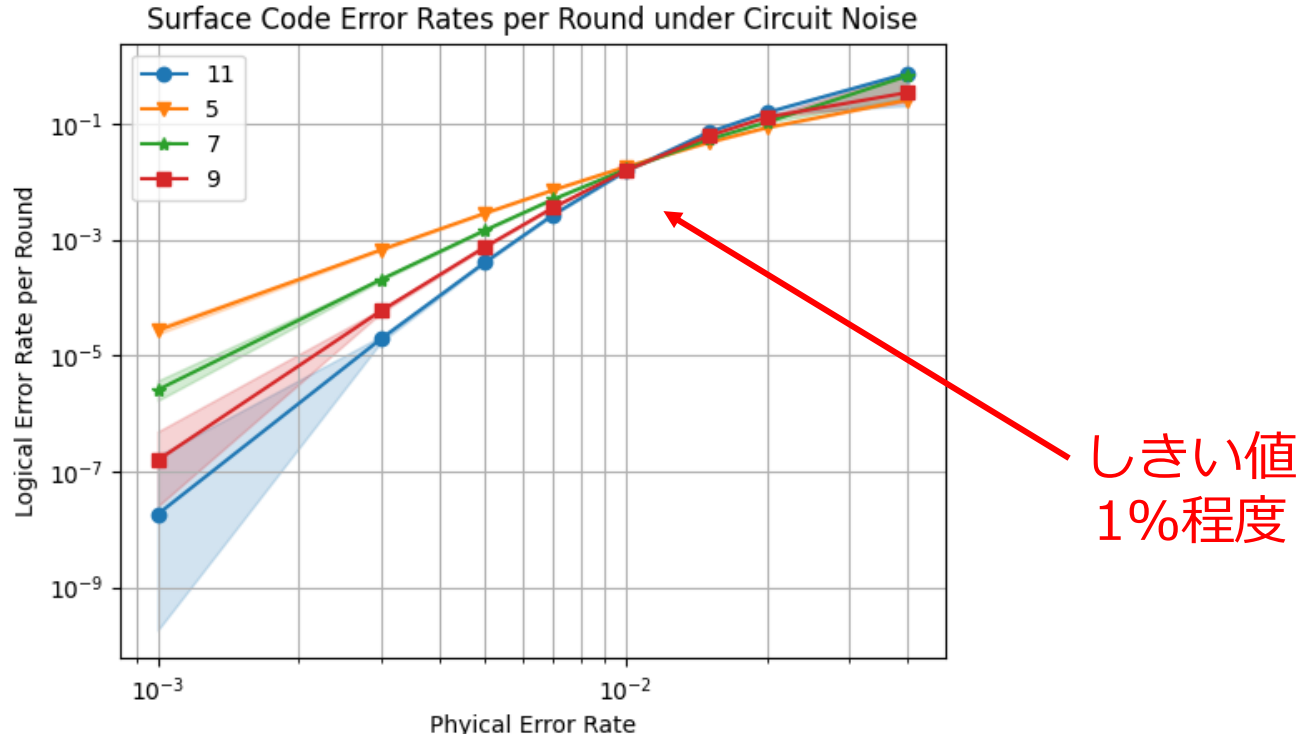
2回目の観測

3回目の観測



- データ量子ビットのエラーは訂正するまで残る、観測エラーは一時的
- 複数回観測をおこない観測値を垂直にスタックする
 - 前時刻の観測値とXORをとることで、観測値の変化した時点を表す
- エラー推定 = 3次元格子上でグラフマッチング問題を解く

表面符号の性能



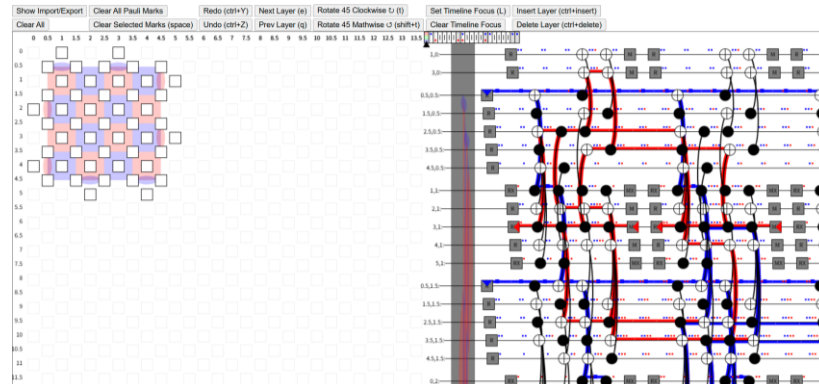
- しきい値: 物理エラー率がこの値以下であれば、
符号距離 d を増やせば指数的に論理工エラー率を下げる

発表内容

- 量子計算機アーキテクチャの研究動向
 - 計算機アーキテクチャの研究対象・隣接分野
 - 計算機アーキテクチャ分野における量子関連の研究動向
- 計算機系のための表面符号入門（1コマ目）
 - 量子誤り訂正の基礎
 - 表面符号の誤り推定処理のグラフ問題への帰着
 - Stim+Crumbleを用いた表面符号シミュレーション
- 極低温環境での表面符号の誤り推定処理（上野の博論, DAC'21, HPCA'22）
- 表面符号+格子手術に基づく誤り耐性量子計算（2コマ目）
 - ロードストア型FTQCアーキテクチャ（HPCA2025）
- HPCA2026投稿中論文について（3コマ目）
- まとめ

Stim+Crumbleを用いたシミュレーション

- Stim: Python経由で使えるClifford回路シミュレータ
 - 回路レベルノイズのシミュレーションを高速に行える
 - PyMatchingによる誤り推定、Sinterによる論理工エラー率算出が容易
 - QEC符号の誤り訂正性能の評価ツールのデファクトスタンダード
- Crumble: スタビライザ回路とエラーイベントの可視化
 - Web上でインタラクティブにstim回路およびエラーイベントを可視化
 - Stim回路 ↔ Crumble双方のImport/Exportが可能



Stim+Crumbleを用いたシミュレーション

Stimコード例 ($d = 5$ のRotated surface code)

量子ビットの宣言

```
QUBIT_COORDS(0, 2) 0
QUBIT_COORDS(0, 4) 1
QUBIT_COORDS(0.5, 0.5) 2
QUBIT_COORDS(0.5, 1.5) 3
QUBIT_COORDS(0.5, 2.5) 4
QUBIT_COORDS(0.5, 3.5) 5
QUBIT_COORDS(0.5, 4.5) 6
QUBIT_COORDS(1, 0) 7
QUBIT_COORDS(1, 1) 8
QUBIT_COORDS(1, 2) 9
QUBIT_COORDS(1, 3) 10
...
QUBIT_COORDS(1, 4) 11
QUBIT_COORDS(5, 1) 47
QUBIT_COORDS(5, 3) 48
```

スタビライザ測定

```
TICK
R 2 3 4 5 6 12 13 14 15 16 22 23 24 ...
TICK
R 9 11 17 19 21 29 31 37 39 41 27 7
RX 8 10 18 20 28 30 38 40 47 48 0 1
TICK
CX 8 2 3 9 10 4 5 11 12 17 18 13 14 ...
TICK
CX 13 9 15 11 22 17 24 19 26 21 33 ...
TICK
CX 4 9 6 11 13 17 15 19 24 29 26 31 ...
TICK
CX 8 13 14 9 10 15 16 11 23 17 18 ...
TICK
M 9 11 17 19 21 29 31 37 39 41 27 7
MX 8 10 18 20 28 30 38 40 47 48 0 1
```

Detectorの定義

```
DETECTOR(1, 2, 0) rec[-24]
DETECTOR(1, 4, 0) rec[-23]
DETECTOR(2, 1, 0) rec[-22]
DETECTOR(2, 3, 0) rec[-21]
DETECTOR(2, 5, 0) rec[-20]
DETECTOR(3, 2, 0) rec[-19]
DETECTOR(3, 4, 0) rec[-18]
DETECTOR(4, 1, 0) rec[-17]
DETECTOR(4, 3, 0) rec[-16]
DETECTOR(4, 5, 0) rec[-15]
DETECTOR(3, 0, 0) rec[-14]
DETECTOR(1, 0, 0) rec[-13]
TICK
R 9 11 17 19 21 29 31 37 39 41 7 27
RX 8 10 18 20 28 30 38 40 47 48 1 0
...
```

Stim+Crumbleを用いたシミュレーション

Stimコード例 ($d = 5$ のRotated surface code)

...

↓
スタビライザ測定+Detectorの定義

```
TICK  
R 2 3 4 5 6 12 13 14 15 16 22 23 24 ...  
TICK  
R 9 11 17 19 21 29 31 37 39 41 27 7  
RX 8 10 18 20 28 30 38 40 47 48 0 1  
TICK  
CX 8 2 3 9 10 4 5 11 12 17 18 13 14 ...  
TICK  
CX 13 9 15 11 22 17 24 19 26 21 33 ...  
TICK  
CX 4 9 6 11 13 17 15 19 24 29 26 31 ...  
TICK  
CX 8 13 14 9 10 15 16 11 23 17 18 ...  
TICK  
M 9 11 17 19 21 29 31 37 39 41 27 7  
MX 8 10 18 20 28 30 38 40 47 48 0 1
```

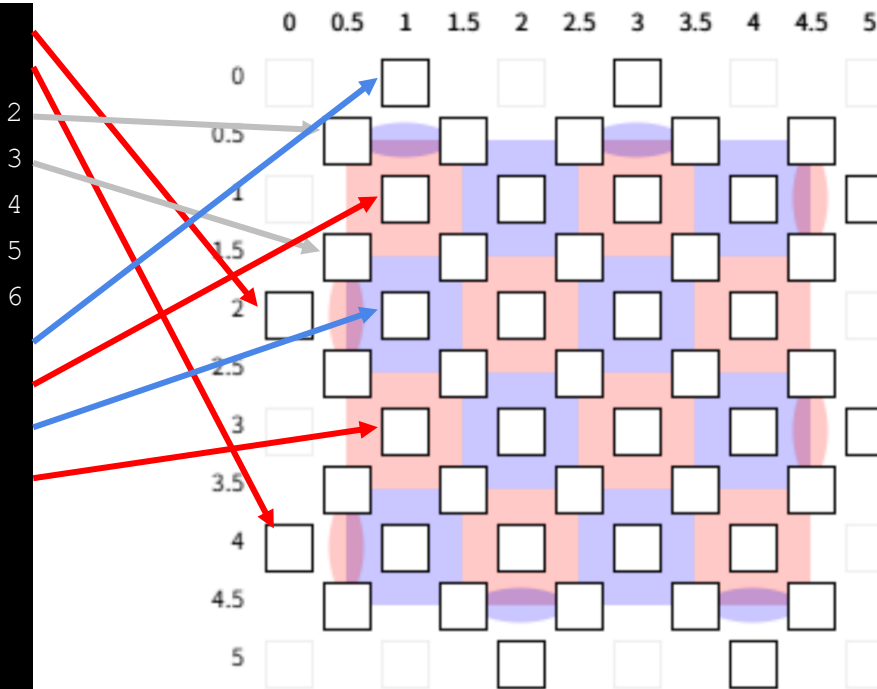
$\times O(d)$ 回

↓
論理測定

```
M 9 11 17 19 21 29 31 37 39 41 27 7  
MX 8 10 18 20 28 30 38 40 47 48 0 1  
DETECTOR(1, 2, 2) rec[-24] rec[-48]  
DETECTOR(1, 4, 2) rec[-23] rec[-47]  
...  
DETECTOR(3, 0, 2) rec[-14] rec[-38]  
DETECTOR(1, 0, 2) rec[-13] rec[-37]  
DETECTOR(1, 1, 2) rec[-12] rec[-36]  
DETECTOR(1, 3, 2) rec[-11] rec[-35]  
...  
DETECTOR(0, 4, 2) rec[-1] rec[-25]  
TICK  
M 2 3 4 5 6 12 13 14 15 16 22 23 ...
```

量子ビットの宣言

```
QUBIT_COORDS(0, 2) 0
QUBIT_COORDS(0, 4) 1
QUBIT_COORDS(0.5, 0.5) 2
QUBIT_COORDS(0.5, 1.5) 3
QUBIT_COORDS(0.5, 2.5) 4
QUBIT_COORDS(0.5, 3.5) 5
QUBIT_COORDS(0.5, 4.5) 6
QUBIT_COORDS(1, 0) 7
QUBIT_COORDS(1, 1) 8
QUBIT_COORDS(1, 2) 9
QUBIT_COORDS(1, 3) 10
...
QUBIT_COORDS(1, 4) 11
QUBIT_COORDS(5, 1) 47
QUBIT_COORDS(5, 3) 48
```



データ量子ビット

[2, 3, 4, 5, 6,
12, 13, 14, 15, 16,
22, 23, 24, 25, 26,
32, 33, 34, 35, 36,
42, 43, 44, 45, 46]

補助量子ビット (Zエラー)

[0, 1, 8, 10, 18, 20,
28, 30, 38, 40, 47, 48]

補助量子ビット (Xエラー)

[7, 9, 11, 17, 19, 21,
27, 29, 31, 37, 39, 41]

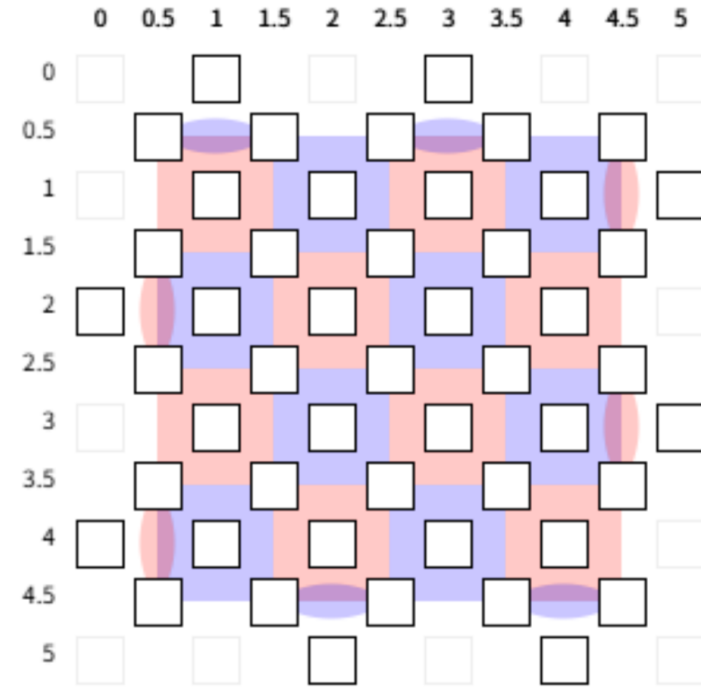
スタビライザ測定

データ量子ビット : [2, 3, 4, 5, 6, 12, 13, 14, 15, 16, 22, 23, 24, 25, 26, 32, 33, 34, 35, 36, 42, 43, 44, 45, 46]

補助量子ビット (Zエラー検出用) : [0, 1, 8, 10, 18, 20, 28, 30, 38, 40, 47, 48]

補助量子ビット (Xエラー検出用) : [7, 9, 11, 17, 19, 21, 27, 29, 31, 37, 39, 41]

TICK	R	2	3	4	5	6	12	13	14	15	16	22	23	24	...
TICK	R	9	11	17	19	21	29	31	37	39	41	27	7		
RX	X	8	10	18	20	28	30	38	40	47	48	0	1		
TICK	CX	8	2	3	9	10	4	5	11	12	17	18	13	14	
TICK	CX	13	9	15	11	22	17	24	19	26	21	33	...		
TICK	CX	4	9	6	11	13	17	15	19	24	29	26	31	...	
TICK	CX	8	13	14	9	10	15	16	11	23	17	18	...		
TICK	M	9	11	17	19	21	29	31	37	39	41	27	7		
MX	X	8	10	18	20	28	30	38	40	47	48	0	1		



スタビライザ測定

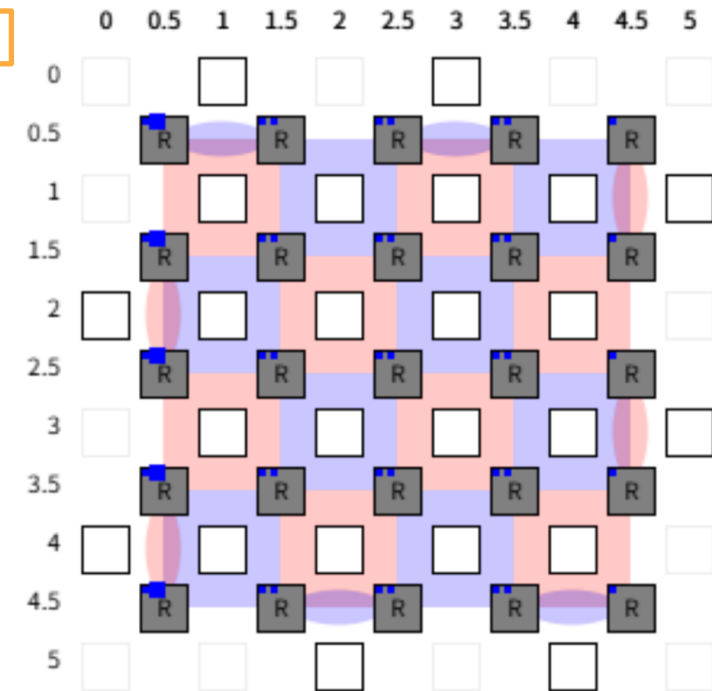
データ量子ビット : [2, 3, 4, 5, 6, 12, 13, 14, 15, 16, 22, 23, 24, 25, 26, 32, 33, 34, 35, 36, 42, 43, 44, 45, 46]

補助量子ビット (Zエラー検出用) : [0, 1, 8, 10, 18, 20, 28, 30, 38, 40, 47, 48]

補助量子ビット (Xエラー検出用) : [7, 9, 11, 17, 19, 21, 27, 29, 31, 37, 39, 41]

データ量子ビットを
|0⟩にリセット
-> 論理 |0⟩状態の
メモリ操作

TICK	R	2	3	4	5	6	12	13	14	15	16	22	23	24	...
TICK	R	9	11	17	19	21	29	31	37	39	41	27	7		
	RX	8	10	18	20	28	30	38	40	47	48	0	1		
TICK	CX	8	2	3	9	10	4	5	11	12	17	18	13	14	...
TICK	CX	13	9	15	11	22	17	24	19	26	21	33	...		
TICK	CX	4	9	6	11	13	17	15	19	24	29	26	31	...	
TICK	CX	8	13	14	9	10	15	16	11	23	17	18	...		
TICK	M	9	11	17	19	21	29	31	37	39	41	27	7		
	MX	8	10	18	20	28	30	38	40	47	48	0	1		



スタビライザ測定

データ量子ビット : [2, 3, 4, 5, 6, 12, 13, 14, 15, 16, 22, 23, 24, 25, 26, 32, 33, 34, 35, 36, 42, 43, 44, 45, 46]

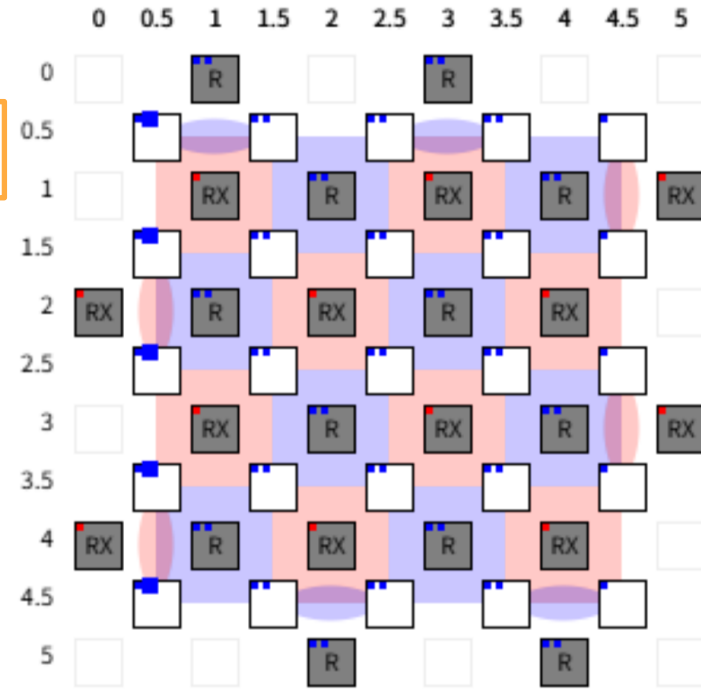
補助量子ビット (Zエラー検出用) : [0, 1, 8, 10, 18, 20, 28, 30, 38, 40, 47, 48]

補助量子ビット (Xエラー検出用) : [7, 9, 11, 17, 19, 21, 27, 29, 31, 37, 39, 41]

Xエラー検出用補助
量子ビットを
 $|0\rangle$ にリセット

Zエラー検出用補助
量子ビットを
 $|+\rangle$ にリセット

TICK
R 2 3 4 5 6 12 13 14 15 16 22 23 24 ...
TICK
R 9 11 17 19 21 29 31 37 39 41 27 7
RX 8 10 18 20 28 30 38 40 47 48 0 1
TICK
CX 8 2 3 9 10 4 5 11 12 17 18 13 14 ...
TICK
CX 13 9 15 11 22 17 24 19 26 21 33 ...
TICK
CX 4 9 6 11 13 17 15 19 24 29 26 31 ...
TICK
CX 8 13 14 9 10 15 16 11 23 17 18 ...
TICK
M 9 11 17 19 21 29 31 37 39 41 27 7
MX 8 10 18 20 28 30 38 40 47 48 0 1



スタビライザ測定

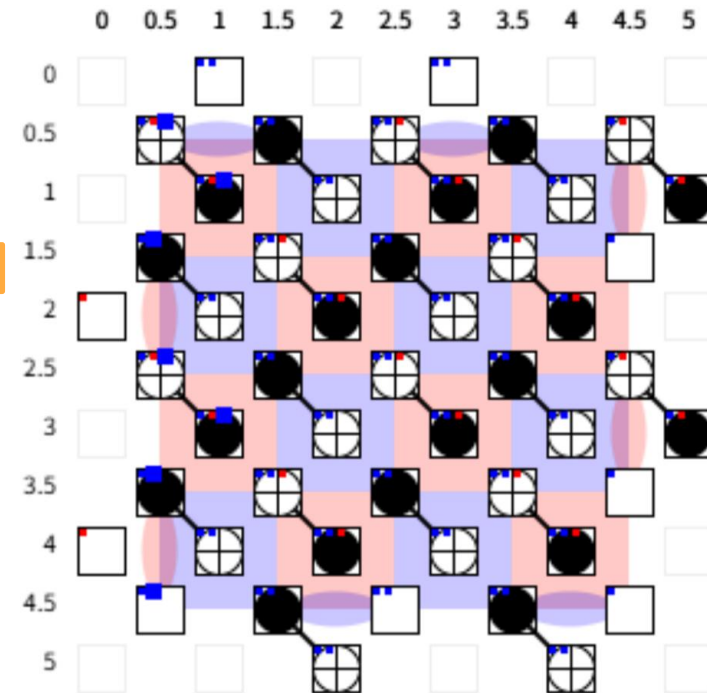
データ量子ビット : [2, 3, 4, 5, 6, 12, 13, 14, 15, 16, 22, 23, 24, 25, 26, 32, 33, 34, 35, 36, 42, 43, 44, 45, 46]

補助量子ビット (Zエラー検出用) : [0, 1, 8, 10, 18, 20, 28, 30, 38, 40, 47, 48]

補助量子ビット (Xエラー検出用) : [7, 9, 11, 17, 19, 21, 27, 29, 31, 37, 39, 41]

データ量子ビットと
補助量子ビットの間
でCNOT (第1層)

```
TICK
R 2 3 4 5 6 12 13 14 15 16 22 23 24 ...
TICK
R 9 11 17 19 21 29 31 37 39 41 27 7
RX 8 10 18 20 28 30 38 40 47 48 0 1
TICK
CX 8 2 3 9 10 4 5 11 12 17 18 13 14 ...
TICK
CX 13 9 15 11 22 17 24 19 26 21 33 ...
TICK
CX 4 9 6 11 13 17 15 19 24 29 26 31 ...
TICK
CX 8 13 14 9 10 15 16 11 23 17 18 ...
TICK
M 9 11 17 19 21 29 31 37 39 41 27 7
MX 8 10 18 20 28 30 38 40 47 48 0 1
```



スタビライザ測定

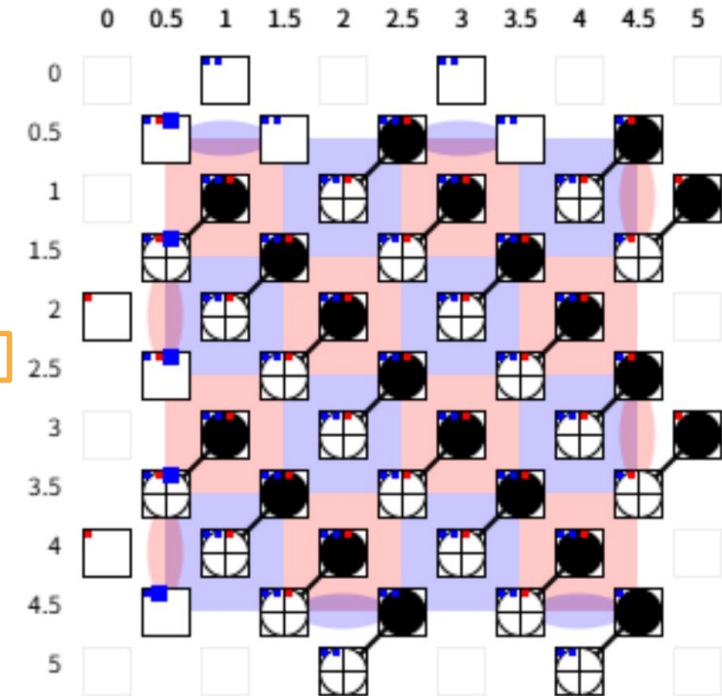
データ量子ビット : [2, 3, 4, 5, 6, 12, 13, 14, 15, 16, 22, 23, 24, 25, 26, 32, 33, 34, 35, 36, 42, 43, 44, 45, 46]

補助量子ビット (Zエラー検出用) : [0, 1, 8, 10, 18, 20, 28, 30, 38, 40, 47, 48]

補助量子ビット (Xエラー検出用) : [7, 9, 11, 17, 19, 21, 27, 29, 31, 37, 39, 41]

データ量子ビットと
補助量子ビットの間
でCNOT (第2層)

```
TICK
R 2 3 4 5 6 12 13 14 15 16 22 23 24 ...
TICK
R 9 11 17 19 21 29 31 37 39 41 27 7
RX 8 10 18 20 28 30 38 40 47 48 0 1
TICK
CX 8 2 3 9 10 4 5 11 12 17 18 13 14 ...
TICK
CX 13 9 15 11 22 17 24 19 26 21 33 ...
TICK
CX 4 9 6 11 13 17 15 19 24 29 26 31 ...
TICK
CX 8 13 14 9 10 15 16 11 23 17 18 ...
TICK
M 9 11 17 19 21 29 31 37 39 41 27 7
MX 8 10 18 20 28 30 38 40 47 48 0 1
```



スタビライザ測定

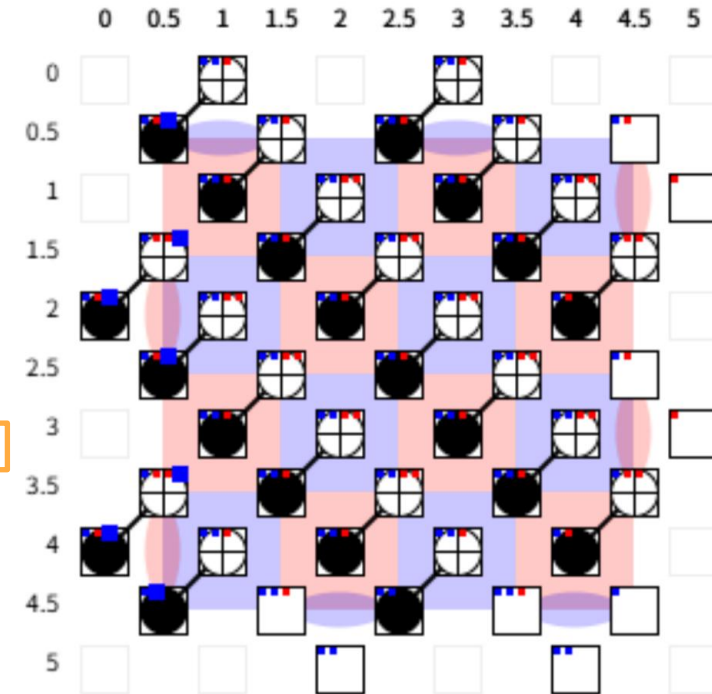
データ量子ビット : [2, 3, 4, 5, 6, 12, 13, 14, 15, 16, 22, 23, 24, 25, 26, 32, 33, 34, 35, 36, 42, 43, 44, 45, 46]

補助量子ビット (Zエラー検出用) : [0, 1, 8, 10, 18, 20, 28, 30, 38, 40, 47, 48]

補助量子ビット (Xエラー検出用) : [7, 9, 11, 17, 19, 21, 27, 29, 31, 37, 39, 41]

TICK
R 2 3 4 5 6 12 13 14 15 16 22 23 24 ...
TICK
R 9 11 17 19 21 29 31 37 39 41 27 7
RX 8 10 18 20 28 30 38 40 47 48 0 1
TICK
CX 8 2 3 9 10 4 5 11 12 17 18 13 14 ...
TICK
CX 13 9 15 11 22 17 24 19 26 21 33 ...
TICK
CX 4 9 6 11 13 17 15 19 24 29 26 31 ...
TICK
CX 8 13 14 9 10 15 16 11 23 17 18 ...
TICK
M 9 11 17 19 21 29 31 37 39 41 27 7
MX 8 10 18 20 28 30 38 40 47 48 0 1

データ量子ビットと
補助量子ビットの間
でCNOT (第3層)



スタビライザ測定

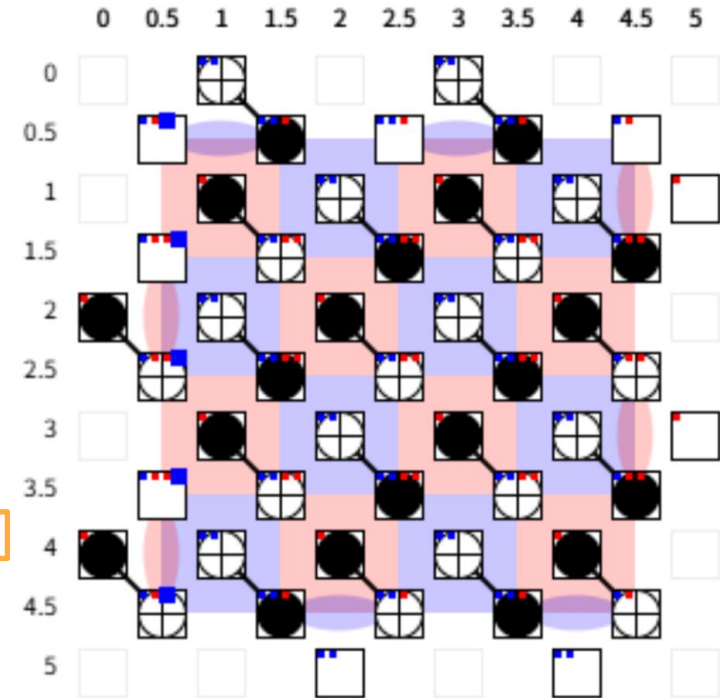
データ量子ビット : [2, 3, 4, 5, 6, 12, 13, 14, 15, 16, 22, 23, 24, 25, 26, 32, 33, 34, 35, 36, 42, 43, 44, 45, 46]

補助量子ビット (Zエラー検出用) : [0, 1, 8, 10, 18, 20, 28, 30, 38, 40, 47, 48]

補助量子ビット (Xエラー検出用) : [7, 9, 11, 17, 19, 21, 27, 29, 31, 37, 39, 41]

TICK
R 2 3 4 5 6 12 13 14 15 16 22 23 24 ...
TICK
R 9 11 17 19 21 29 31 37 39 41 27 7
RX 8 10 18 20 28 30 38 40 47 48 0 1
TICK
CX 8 2 3 9 10 4 5 11 12 17 18 13 14 ...
TICK
CX 13 9 15 11 22 17 24 19 26 21 33 ...
TICK
CX 4 9 6 11 13 17 15 19 24 29 26 31 ...
TICK
CX 8 13 14 9 10 15 16 11 23 17 18 ...
TICK
M 9 11 17 19 21 29 31 37 39 41 27 7
MX 8 10 18 20 28 30 38 40 47 48 0 1

データ量子ビットと
補助量子ビットの間
でCNOT (第4層)



スタビライザ測定

データ量子ビット : [2, 3, 4, 5, 6, 12, 13, 14, 15, 16, 22, 23, 24, 25, 26, 32, 33, 34, 35, 36, 42, 43, 44, 45, 46]

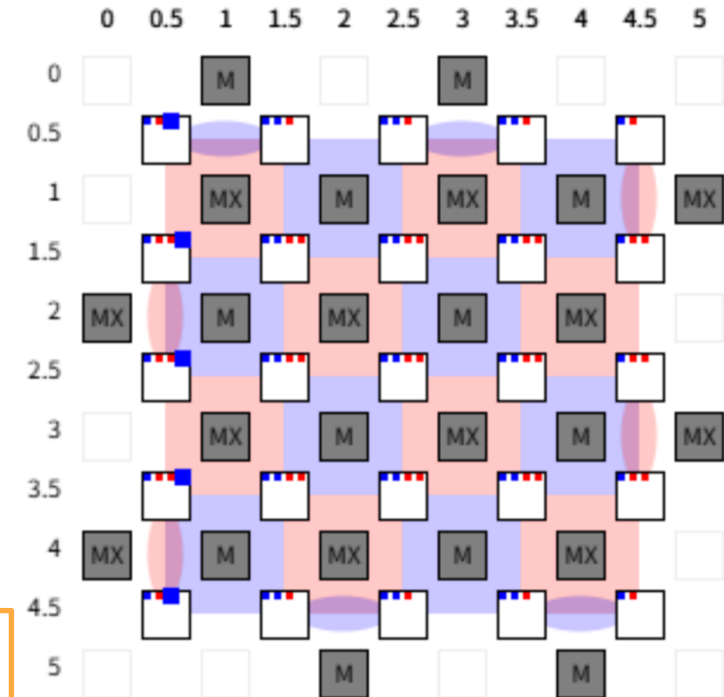
補助量子ビット (Zエラー検出用) : [0, 1, 8, 10, 18, 20, 28, 30, 38, 40, 47, 48]

補助量子ビット (Xエラー検出用) : [7, 9, 11, 17, 19, 21, 27, 29, 31, 37, 39, 41]

Xエラー検出用補助
量子ビットを
Z基底で測定

Zエラー検出用補助
量子ビットを
X基底で測定

TICK	R	2	3	4	5	6	12	13	14	15	16	22	23	24	...
TICK	R	9	11	17	19	21	29	31	37	39	41	27	7		
	RX	8	10	18	20	28	30	38	40	47	48	0	1		
TICK	CX	8	2	3	9	10	4	5	11	12	17	18	13	14	...
TICK	CX	13	9	15	11	22	17	24	19	26	21	33			
TICK	CX	4	9	6	11	13	17	15	19	24	29	26	31		
TICK	CX	8	13	14	9	10	15	16	11	23	17	18			
TICK	M	9	11	17	19	21	29	31	37	39	41	27	7		
	MX	8	10	18	20	28	30	38	40	47	48	0	1		



Detectorの定義（初回）

データ量子ビット : [2, 3, 4, 5, 6, 12, 13, 14, 15, 16, 22, 23, 24, 25, 26, 32, 33, 34, 35, 36, 42, 43, 44, 45, 46]

補助量子ビット（Zエラー検出用） : [0, 1, 8, 10, 18, 20, 28, 30, 38, 40, 47, 48]

補助量子ビット（Xエラー検出用） : [7, 9, 11, 17, 19, 21, 27, 29, 31, 37, 39, 41]

M	9	11	17	19	21	29	31	37	39	41	27	7
MX	8	10	18	20	28	30	38	40	47	48	0	1
DETECTOR(1, 2, 0) rec[-24]												
DETECTOR(1, 4, 0)	rec[-23]											
DETECTOR(2, 1, 0)	rec[-22]											
DETECTOR(2, 3, 0)	rec[-21]											
DETECTOR(2, 5, 0)	rec[-20]											
DETECTOR(3, 2, 0)	rec[-19]											
DETECTOR(3, 4, 0)	rec[-18]											
DETECTOR(4, 1, 0)	rec[-17]											
DETECTOR(4, 3, 0)	rec[-16]											
DETECTOR(4, 5, 0)	rec[-15]											
DETECTOR(3, 0, 0)	rec[-14]											
DETECTOR(1, 0, 0)	rec[-13]											
TICK												
R	9	11	17	19	21	29	31	37	39	41	7	27
RX	8	10	18	20	28	30	38	40	47	48	1	0

recの中身:

[

(9の初回の測定値), <- rec[-24]

(11の初回の測定値), <- rec[-23]

…,

(7の初回の測定値), <- rec[-13]

(8の初回の測定値), <- rec[-12]

…,

(1の初回の測定値), <- rec[-1]

]

Detectorの定義（初回）

データ量子ビット : [2, 3, 4, 5, 6, 12, 13, 14, 15, 16, 22, 23, 24, 25, 26, 32, 33, 34, 35, 36, 42, 43, 44, 45, 46]

補助量子ビット（Zエラー検出用） : [0, 1, 8, 10, 18, 20, 28, 30, 38, 40, 47, 48]

補助量子ビット（Xエラー検出用） : [7, 9, 11, 17, 19, 21, 27, 29, 31, 37, 39, 41]

M	9	11	17	19	21	29	31	37	39	41	27	7
MX	8	10	18	20	28	30	38	40	47	48	0	1

```
DETECTOR(1, 2, 0) rec[-24]
DETECTOR(1, 4, 0) rec[-23]
DETECTOR(2, 1, 0) rec[-22]
DETECTOR(2, 3, 0) rec[-21]
DETECTOR(2, 5, 0) rec[-20]
DETECTOR(3, 2, 0) rec[-19]
DETECTOR(3, 4, 0) rec[-18]
DETECTOR(4, 1, 0) rec[-17]
DETECTOR(4, 3, 0) rec[-16]
DETECTOR(4, 5, 0) rec[-15]
DETECTOR(3, 0, 0) rec[-14]
DETECTOR(1, 0, 0) rec[-13]
```

TICK

R	9	11	17	19	21	29	31	37	39	41	7	27
RX	8	10	18	20	28	30	38	40	47	48	1	0

マッチング問題を解く
グラフのノードを定義

Xエラー検出用の
補助量子ビット：
観測値が-1であれば
ホットシンドローム

Zエラー検出用の
補助量子ビット：
初回の測定値は完全にランダムな値
になるが論理Zエラーは論理|0>に影
響を与えないでの初回は無視でOK

recの中身：

[

```
(9の初回の測定値),      <- rec[-24]
(11の初回の測定値),      <- rec[-23]
...
(7の初回の測定値),      <- rec[-13]
(8の初回の測定値),      <- rec[-12]
...
(1の初回の測定値),      <- rec[-1]
```

]

Detectorの定義（初回）

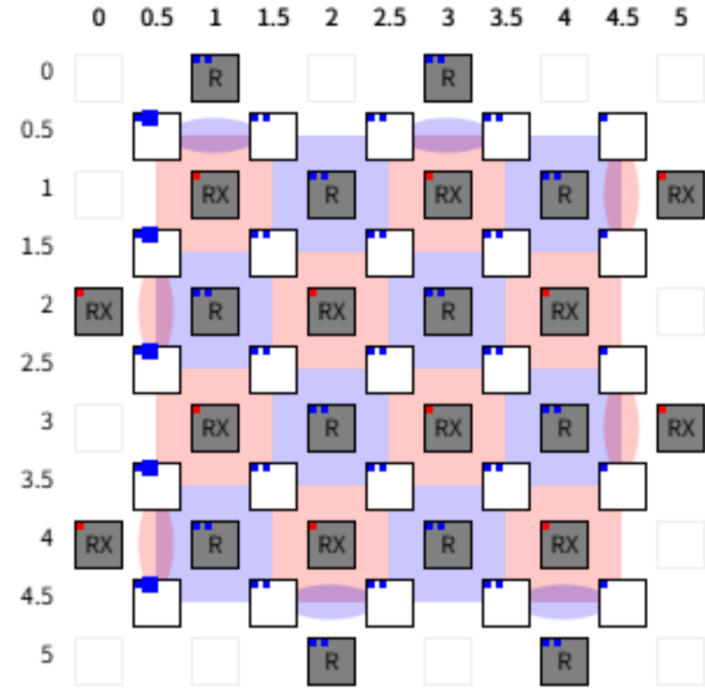
データ量子ビット : [2, 3, 4, 5, 6, 12, 13, 14, 15, 16, 22, 23, 24, 25, 26, 32, 33, 34, 35, 36, 42, 43, 44, 45, 46]

補助量子ビット（Zエラー検出用） : [0, 1, 8, 10, 18, 20, 28, 30, 38, 40, 47, 48]

補助量子ビット（Xエラー検出用） : [7, 9, 11, 17, 19, 21, 27, 29, 31, 37, 39, 41]

M	9	11	17	19	21	29	31	37	39	41	27	7
MX	8	10	18	20	28	30	38	40	47	48	0	1
DETECTOR(1, 2, 0)	rec[-24]											
DETECTOR(1, 4, 0)	rec[-23]											
DETECTOR(2, 1, 0)	rec[-22]											
DETECTOR(2, 3, 0)	rec[-21]											
DETECTOR(2, 5, 0)	rec[-20]											
DETECTOR(3, 2, 0)	rec[-19]											
DETECTOR(3, 4, 0)	rec[-18]											
DETECTOR(4, 1, 0)	rec[-17]											
DETECTOR(4, 3, 0)	rec[-16]											
DETECTOR(4, 5, 0)	rec[-15]											
DETECTOR(3, 0, 0)	rec[-14]											
DETECTOR(1, 0, 0)	rec[-13]											
TICK												
R	9	11	17	19	21	29	31	37	39	41	7	27
RX	8	10	18	20	28	30	38	40	47	48	1	0

補助量子ビットをそれぞれ
 $|0\rangle, |+\rangle$ にリセット



スタビライザ測定（2回目）

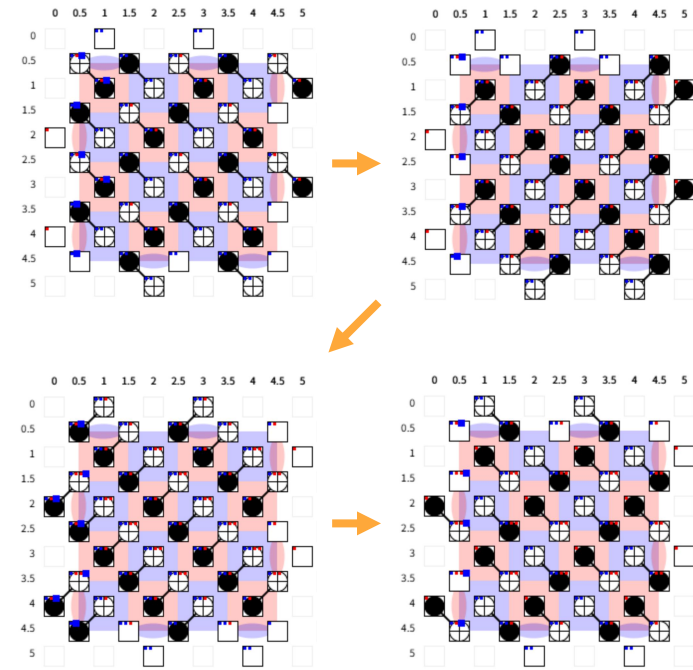
データ量子ビット : [2, 3, 4, 5, 6, 12, 13, 14, 15, 16, 22, 23, 24, 25, 26, 32, 33, 34, 35, 36, 42, 43, 44, 45, 46]

補助量子ビット (Zエラー検出用) : [0, 1, 8, 10, 18, 20, 28, 30, 38, 40, 47, 48]

補助量子ビット (Xエラー検出用) : [7, 9, 11, 17, 19, 21, 27, 29, 31, 37, 39, 41]

R	9	11	17	19	21	29	31	37	39	41	27	7		
RX	8	10	18	20	28	30	38	40	47	48	0	1		
TICK														
CX	8	2	3	9	10	4	5	11	12	17	18	13	14	...
TICK														
CX	13	9	15	11	22	17	24	19	26	21	33	...		
TICK														
CX	4	9	6	11	13	17	15	19	24	29	26	31	...	
TICK														
CX	8	13	14	9	10	15	16	11	23	17	18	...		
TICK														
M	9	11	17	19	21	29	31	37	39	41	27	7		
MX	8	10	18	20	28	30	38	40	47	48	0	1		

データ量子ビットと
補助量子ビットの間
でCNOT×4



スタビライザ測定（2回目）

データ量子ビット : [2, 3, 4, 5, 6, 12, 13, 14, 15, 16, 22, 23, 24, 25, 26, 32, 33, 34, 35, 36, 42, 43, 44, 45, 46]

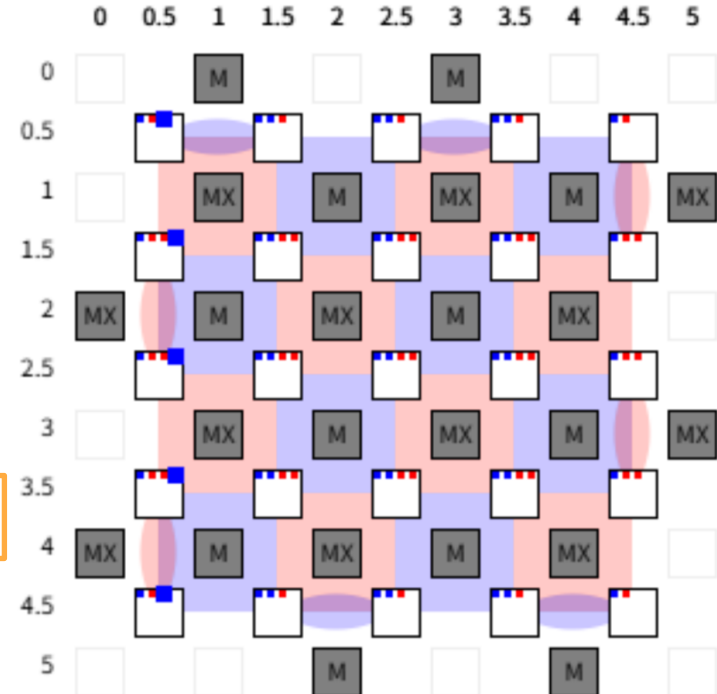
補助量子ビット（Zエラー検出用） : [0, 1, 8, 10, 18, 20, 28, 30, 38, 40, 47, 48]

補助量子ビット（Xエラー検出用） : [7, 9, 11, 17, 19, 21, 27, 29, 31, 37, 39, 41]

Xエラー検出用補助
量子ビットを
Z基底で測定

Zエラー検出用補助
量子ビットを
X基底で測定

R	9	11	17	19	21	29	31	37	39	41	27	7	
RX	8	10	18	20	28	30	38	40	47	48	0	1	
TICK													
CX	8	2	3	9	10	4	5	11	12	17	18	13	14
TICK													
CX	13	9	15	11	22	17	24	19	26	21	33	...	
TICK													
CX	4	9	6	11	13	17	15	19	24	29	26	31	...
TICK													
CX	8	13	14	9	10	15	16	11	23	17	18	...	
TICK													
M	9	11	17	19	21	29	31	37	39	41	27	7	
MX	8	10	18	20	28	30	38	40	47	48	0	1	



Detectorの定義（2回目）

データ量子ビット : [2, 3, 4, 5, 6, 12, 13, 14, 15, 16, 22, 23, 24, 25, 26, 32, 33, 34, 35, 36, 42, 43, 44, 45, 46]

補助量子ビット（Zエラー検出用） : [0, 1, 8, 10, 18, 20, 28, 30, 38, 40, 47, 48]

補助量子ビット（Xエラー検出用） : [7, 9, 11, 17, 19, 21, 27, 29, 31, 37, 39, 41]

```
M 9 11 17 19 21 29 31 37 39 41 27 7
MX 8 10 18 20 28 30 38 40 47 48 0 1
DETECTOR(1, 2, 1) rec[-24] rec[-48]
DETECTOR(1, 4, 1) rec[-23] rec[-47]
...
DETECTOR(3, 0, 1) rec[-14] rec[-38]
DETECTOR(1, 0, 1) rec[-13] rec[-37]
DETECTOR(1, 1, 1) rec[-12] rec[-36]
DETECTOR(1, 3, 1) rec[-11] rec[-35]
...
DETECTOR(0, 4, 1) rec[-1] rec[-25]
TICK
R 9 11 17 19 21 29 31 37 39 41 7 27
RX 8 10 18 20 28 30 38 40 47 48 1 0
```

recの中身:

[

(9の初回の測定値), <- rec[-48]

...,

(7の初回の測定値), <- rec[-37]

(8の初回の測定値), <- rec[-36]

...,

(1の初回の測定値), <- rec[-25]

(9の2回目の測定値), <- rec[-24]

...

(1の2回目の測定値), <- rec[-1]

]

Detectorの定義 (2回目)

データ量子ビット : [2, 3, 4, 5, 6, 12, 13, 14, 15, 16, 22, 23, 24, 25, 26, 32, 33, 34, 35, 36, 42, 43, 44, 45, 46]

補助量子ビット (Zエラー検出用) : [0, 1, 8, 10, 18, 20, 28, 30, 38, 40, 47, 48]

補助量子ビット (Xエラー検出用) : [7, 9, 11, 17, 19, 21, 27, 29, 31, 37, 39, 41]

```
M 9 11 17 19 21 29 31 37 39 41 27 7  
MX 8 10 18 20 28 30 38 40 47 48 0 1
```

```
DETECTOR(1, 2, 1) rec[-24] rec[-48]
```

```
DETECTOR(1, 4, 1) rec[-23] rec[-47]
```

...

```
DETECTOR(3, 0, 1) rec[-14] rec[-38]
```

```
DETECTOR(1, 0, 1) rec[-13] rec[-37]
```

```
DETECTOR(1, 1, 1) rec[-12] rec[-36]
```

```
DETECTOR(1, 3, 1) rec[-11] rec[-35]
```

...

```
DETECTOR(0, 4, 1) rec[-1] rec[-25]
```

TICK

```
R 9 11 17 19 21 29 31 37 39 41 7 27
```

```
RX 8 10 18 20 28 30 38 40 47 48 1 0
```

マッチング問題を解く
グラフのノードを定義

X/Zエラー検出用の
補助量子ビット：
前回の観測値との差分を
取り、異なっていれば
ホットシンドローム

-> 前回の測定から新た
に生じたエラーを検出

recの中身:

[

(9の初回の測定値), <- rec[-48]

...

(7の初回の測定値), <- rec[-37]

<- rec[-36]

...

(1の初回の測定値), <- rec[-25]

<- rec[-24]

...

(1の2回目の測定値), <- rec[-1]

]

Detectorの定義 (2回目)

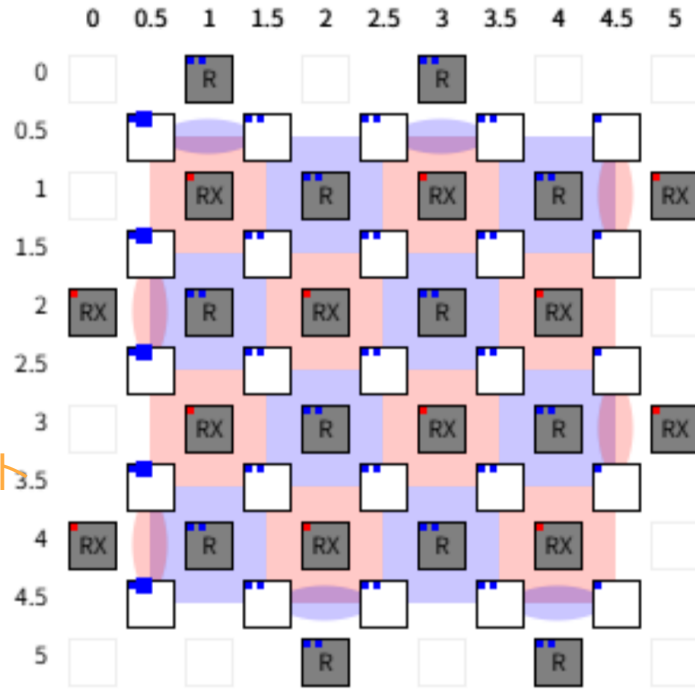
データ量子ビット : [2, 3, 4, 5, 6, 12, 13, 14, 15, 16, 22, 23, 24, 25, 26, 32, 33, 34, 35, 36, 42, 43, 44, 45, 46]

補助量子ビット (Zエラー検出用) : [0, 1, 8, 10, 18, 20, 28, 30, 38, 40, 47, 48]

補助量子ビット (Xエラー検出用) : [7, 9, 11, 17, 19, 21, 27, 29, 31, 37, 39, 41]

M	9	11	17	19	21	29	31	37	39	41	27	7
MX	8	10	18	20	28	30	38	40	47	48	0	1
DETECTOR(1, 2, 1)	rec[-24]	rec[-48]										
DETECTOR(1, 4, 1)	rec[-23]	rec[-47]										
...												
DETECTOR(3, 0, 1)	rec[-14]	rec[-38]										
DETECTOR(1, 0, 1)	rec[-13]	rec[-37]										
DETECTOR(1, 1, 1)	rec[-12]	rec[-36]										
DETECTOR(1, 3, 1)	rec[-11]	rec[-35]										
...												
DETECTOR(0, 4, 1)	rec[-1]	rec[-25]										
TICK												
R	9	11	17	19	21	29	31	37	39	41	7	27
RX	8	10	18	20	28	30	38	40	47	48	1	0

補助量子ビットを
それぞれ $|0\rangle$, $|+\rangle$ にリセット



スタビライザ測定（3回目）

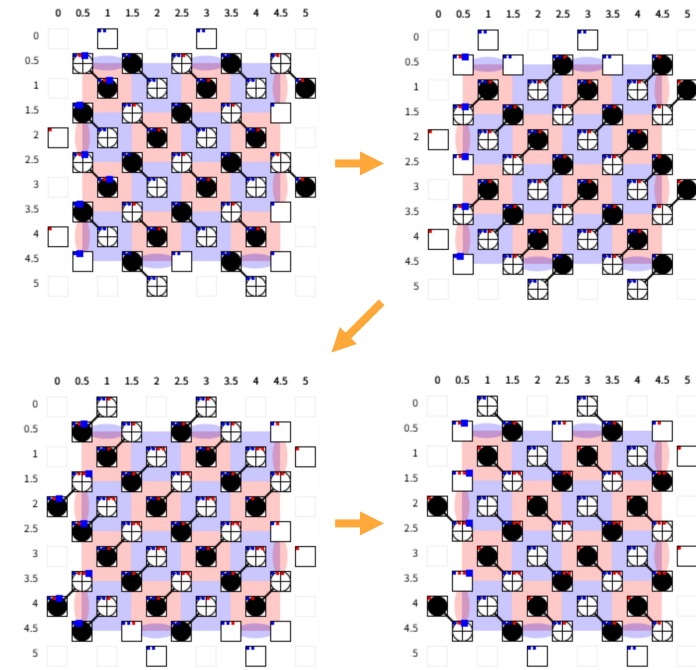
データ量子ビット : [2, 3, 4, 5, 6, 12, 13, 14, 15, 16, 22, 23, 24, 25, 26, 32, 33, 34, 35, 36, 42, 43, 44, 45, 46]

補助量子ビット (Zエラー検出用) : [0, 1, 8, 10, 18, 20, 28, 30, 38, 40, 47, 48]

補助量子ビット (Xエラー検出用) : [7, 9, 11, 17, 19, 21, 27, 29, 31, 37, 39, 41]

R	9	11	17	19	21	29	31	37	39	41	27	7		
RX	8	10	18	20	28	30	38	40	47	48	0	1		
TICK														
CX	8	2	3	9	10	4	5	11	12	17	18	13	14	...
TICK														
CX	13	9	15	11	22	17	24	19	26	21	33	...		
TICK														
CX	4	9	6	11	13	17	15	19	24	29	26	31	...	
TICK														
CX	8	13	14	9	10	15	16	11	23	17	18	...		
TICK														
M	9	11	17	19	21	29	31	37	39	41	27	7		
MX	8	10	18	20	28	30	38	40	47	48	0	1		

データ量子ビットと
補助量子ビットの間
でCNOT×4



スタビライザ測定（3回目）

データ量子ビット : [2, 3, 4, 5, 6, 12, 13, 14, 15, 16, 22, 23, 24, 25, 26, 32, 33, 34, 35, 36, 42, 43, 44, 45, 46]

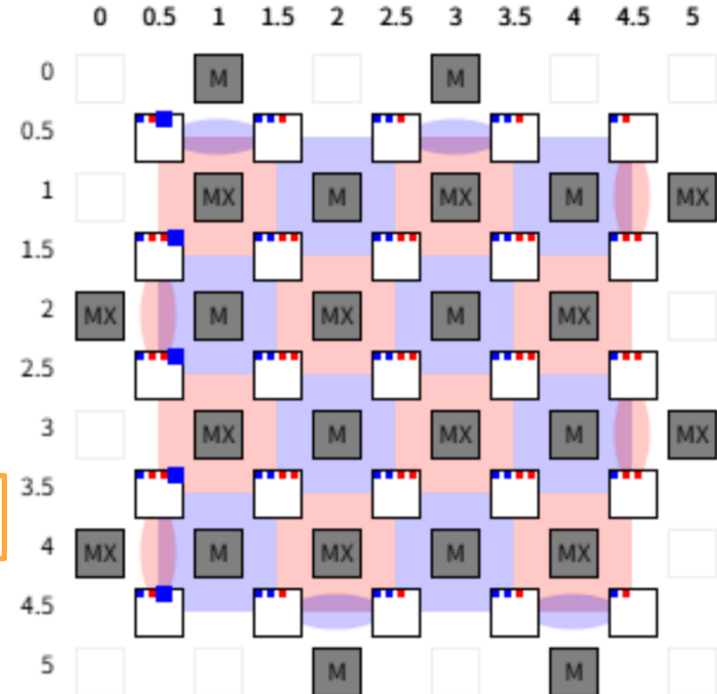
補助量子ビット（Zエラー検出用） : [0, 1, 8, 10, 18, 20, 28, 30, 38, 40, 47, 48]

補助量子ビット（Xエラー検出用） : [7, 9, 11, 17, 19, 21, 27, 29, 31, 37, 39, 41]

Xエラー検出用補助
量子ビットを
Z基底で測定

Zエラー検出用補助
量子ビットを
X基底で測定

R	9	11	17	19	21	29	31	37	39	41	27	7	
RX	8	10	18	20	28	30	38	40	47	48	0	1	
TICK													
CX	8	2	3	9	10	4	5	11	12	17	18	13	14
TICK													
CX	13	9	15	11	22	17	24	19	26	21	33	...	
TICK													
CX	4	9	6	11	13	17	15	19	24	29	26	31	...
TICK													
CX	8	13	14	9	10	15	16	11	23	17	18	...	
TICK													
M	9	11	17	19	21	29	31	37	39	41	27	7	
MX	8	10	18	20	28	30	38	40	47	48	0	1	



Detectorの定義（3回目）

データ量子ビット : [2, 3, 4, 5, 6, 12, 13, 14, 15, 16, 22, 23, 24, 25, 26, 32, 33, 34, 35, 36, 42, 43, 44, 45, 46]

補助量子ビット（Zエラー検出用） : [0, 1, 8, 10, 18, 20, 28, 30, 38, 40, 47, 48]

補助量子ビット（Xエラー検出用） : [7, 9, 11, 17, 19, 21, 27, 29, 31, 37, 39, 41]

```
M 9 11 17 19 21 29 31 37 39 41 27 7
MX 8 10 18 20 28 30 38 40 47 48 0 1
DETECTOR(1, 2, 2) rec[-24] rec[-48]
DETECTOR(1, 4, 2) rec[-23] rec[-47]
...
DETECTOR(3, 0, 2) rec[-14] rec[-38]
DETECTOR(1, 0, 2) rec[-13] rec[-37]
DETECTOR(1, 1, 2) rec[-12] rec[-36]
DETECTOR(1, 3, 2) rec[-11] rec[-35]
...
DETECTOR(0, 4, 2) rec[-1] rec[-25]
TICK
M 2 3 4 5 6 12 13 14 15 16 22 23 ...
```

recの中身:

[

(9の初回の測定値), <- rec[-72]

...,

(1の初回の測定値), <- rec[-49]

(9の2回目の測定値), <- rec[-48]

...

(1の2回目の測定値), <- rec[-25]

(9の3回目の測定値), <- rec[-24]

...

(1の3回目の測定値), <- rec[-1]

]

Detectorの定義（3回目）

データ量子ビット : [2, 3, 4, 5, 6, 12, 13, 14, 15, 16, 22, 23, 24, 25, 26, 32, 33, 34, 35, 36, 42, 43, 44, 45, 46]

補助量子ビット（Zエラー検出用） : [0, 1, 8, 10, 18, 20, 28, 30, 38, 40, 47, 48]

補助量子ビット（Xエラー検出用） : [7, 9, 11, 17, 19, 21, 27, 29, 31, 37, 39, 41]

```
M 9 11 17 19 21 29 31 37 39 41 27 7  
MX 8 10 18 20 28 30 38 40 47 48 0 1  
DETECTOR(1, 2, 2) rec[-24] rec[-48]  
DETECTOR(1, 4, 2) rec[-23] rec[-47]  
...  
DETECTOR(3, 0, 2) rec[-14] rec[-38]  
DETECTOR(1, 0, 2) rec[-13] rec[-37]  
DETECTOR(1, 1, 2) rec[-12] rec[-36]  
DETECTOR(1, 3, 2) rec[-11] rec[-35]  
...  
DETECTOR(0, 4, 2) rec[-1] rec[-25]  
TICK  
M 2 3 4 5 6 12 13 14 15 16 22 23 ...
```

マッチング問題を解く
グラフのノードを定義

X/Zエラー検出用の
補助量子ビット：
前回の観測値との差分を
取り、異なっていれば
ホットシンドローム
-> 前回の測定から新た
に生じたエラーを検出

recの中身:

```
[  
  (9の初回の測定値),      <- rec[-72]  
  ...,  
  (1の初回の測定値),      <- rec[-49]  
  (9の2回目の測定値),    <- rec[-48]  
  ...,  
  (1の2回目の測定値),    <- rec[-25]  
  (9の3回目の測定値),    <- rec[-24]  
  ...,  
  (1の3回目の測定値),    <- rec[-1]  
 ]
```

論理測定

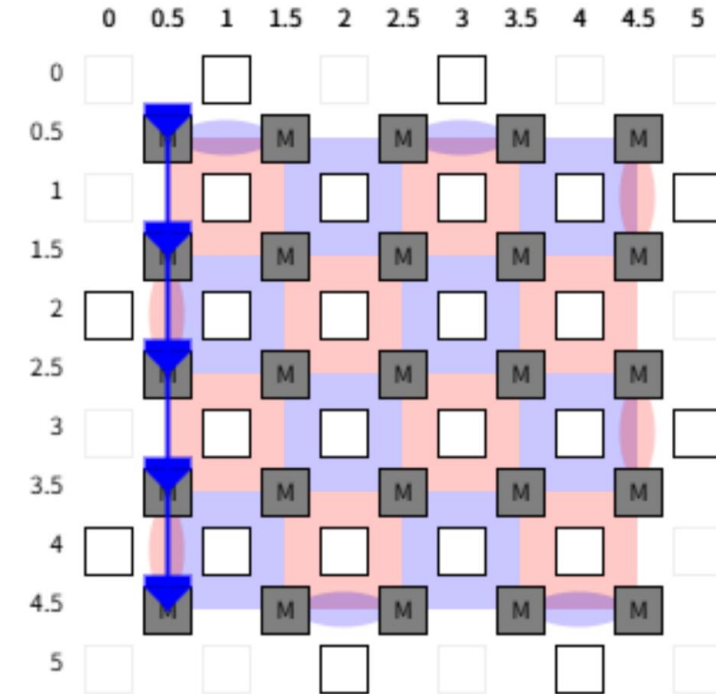
データ量子ビット : [2, 3, 4, 5, 6, 12, 13, 14, 15, 16, 22, 23, 24, 25, 26, 32, 33, 34, 35, 36, 42, 43, 44, 45, 46]

補助量子ビット (Zエラー検出用) : [0, 1, 8, 10, 18, 20, 28, 30, 38, 40, 47, 48]

補助量子ビット (Xエラー検出用) : [7, 9, 11, 17, 19, 21, 27, 29, 31, 37, 39, 41]

```
M 9 11 17 19 21 29 31 37 39 41 27 7  
MX 8 10 18 20 28 30 38 40 47 48 0 1  
DETECTOR(1, 2, 2) rec[-24] rec[-48]  
DETECTOR(1, 4, 2) rec[-23] rec[-47]  
...  
DETECTOR(3, 0, 2) rec[-14] rec[-38]  
DETECTOR(1, 0, 2) rec[-13] rec[-37]  
DETECTOR(1, 1, 2) rec[-12] rec[-36]  
DETECTOR(1, 3, 2) rec[-11] rec[-35]  
...  
DETECTOR(0, 4, 2) rec[-1] rec[-25]  
TICK  
M 2 3 4 5 6 12 13 14 15 16 22 23 ...
```

データ量子ビットを
Z基底で測定



Detectorの定義（最後）

データ量子ビット : [2, 3, 4, 5, 6, 12, 13, 14, 15, 16, 22, 23, 24, 25, 26, 32, 33, 34, 35, 36, 42, 43, 44, 45, 46]

補助量子ビット（Zエラー検出用） : [0, 1, 8, 10, 18, 20, 28, 30, 38, 40, 47, 48]

補助量子ビット（Xエラー検出用） : [7, 9, 11, 17, 19, 21, 27, 29, 31, 37, 39, 41]

M	2	3	4	5	6	12	13	14	15	16	22	23	24	25	26	32	33	34	35	36	42	43	44	45	46
DETECTOR(1, 0, 3)	rec[-20]	rec[-25]	rec[-39]																						
DETECTOR(1, 2, 3)	rec[-18]	rec[-19]	rec[-23]	rec[-24]	rec[-49]																				
DETECTOR(1, 4, 3)	rec[-16]	rec[-17]	rec[-21]	rec[-22]	rec[-48]																				
DETECTOR(2, 1, 3)	rec[-14]	rec[-15]	rec[-19]	rec[-20]	rec[-47]																				
DETECTOR(2, 3, 3)	rec[-12]	rec[-13]	rec[-17]	rec[-18]	rec[-46]																				
DETECTOR(2, 5, 3)	rec[-11]	rec[-16]	rec[-45]																						
DETECTOR(3, 0, 3)	rec[-10]	rec[-15]	rec[-38]																						
DETECTOR(3, 2, 3)	rec[-8]	rec[-9]	rec[-13]	rec[-14]	rec[-44]																				
DETECTOR(3, 4, 3)	rec[-6]	rec[-7]	rec[-11]	rec[-12]	rec[-43]																				
DETECTOR(4, 1, 3)	rec[-4]	rec[-5]	rec[-9]	rec[-10]	rec[-42]																				
DETECTOR(4, 3, 3)	rec[-2]	rec[-3]	rec[-7]	rec[-8]	rec[-41]																				
DETECTOR(4, 5, 3)	rec[-1]	rec[-6]	rec[-40]																						
OBSERVABLE_INCLUDE(0)	rec[-21]	rec[-22]	rec[-23]	rec[-24]	rec[-25]																				

Xエラー検出用の補助量子ビットの前回の観測値とデータ量子ビットの観測値を比較してDetectorを定義
-> データ量子ビットに生じるエラーと測定エラーを区別なく扱うため

データ量子ビットをZ基底で測定しているので、論理Zエラーの影響はない

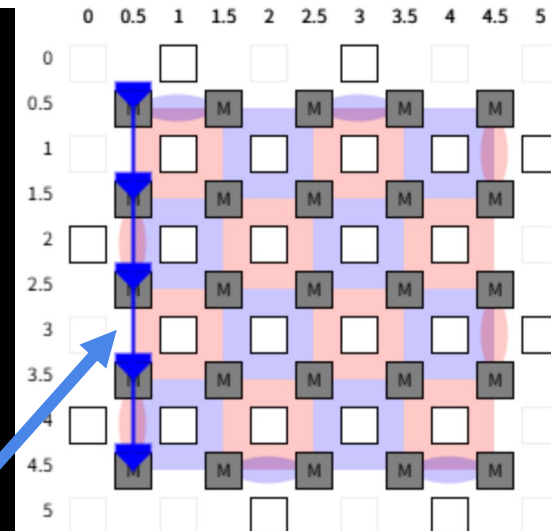
Observableの定義

データ量子ビット : [2, 3, 4, 5, 6, 12, 13, 14, 15, 16, 22, 23, 24, 25, 26, 32, 33, 34, 35, 36, 42, 43, 44, 45, 46]

補助量子ビット (Zエラー検出用) : [0, 1, 8, 10, 18, 20, 28, 30, 38, 40, 47, 48]

補助量子ビット (Xエラー検出用) : [7, 9, 11, 17, 19, 21, 27, 29, 31, 37, 39, 41]

M	2	3	4	5	6	12	13	14	15	16	22	23	24	25	26	32	33	34	35	36	42	43	44	45	46	
DETECTOR	(1,	0,	3)	rec[-20]	rec[-25]	rec[-39]																				
DETECTOR	(1,	2,	3)	rec[-18]	rec[-19]	rec[-23]	rec[-24]	rec[-49]																		
DETECTOR	(1,	4,	3)	rec[-16]	rec[-17]	rec[-21]	rec[-22]	rec[-48]																		
DETECTOR	(2,	1,	3)	rec[-14]	rec[-15]	rec[-19]	rec[-20]	rec[-47]																		
DETECTOR	(2,	3,	3)	rec[-12]	rec[-13]	rec[-17]	rec[-18]	rec[-46]																		
DETECTOR	(2,	5,	3)	rec[-11]	rec[-16]	rec[-45]																				
DETECTOR	(3,	0,	3)	rec[-10]	rec[-15]	rec[-38]																				
DETECTOR	(3,	2,	3)	rec[-8]	rec[-9]	rec[-13]	rec[-14]	rec[-44]																		
DETECTOR	(3,	4,	3)	rec[-6]	rec[-7]	rec[-11]	rec[-12]	rec[-43]																		
DETECTOR	(4,	1,	3)	rec[-4]	rec[-5]	rec[-9]	rec[-10]	rec[-42]																		
DETECTOR	(4,	3,	3)	rec[-2]	rec[-3]	rec[-7]	rec[-8]	rec[-41]																		
DETECTOR	(4,	5,	3)	rec[-1]	rec[-6]	rec[-40]																				
OBSERVABLE_INCLUDE	(0)	rec[-21]	rec[-22]	rec[-23]	rec[-24]	rec[-25]																				



論理Z演算子 (の1つ) を
observableとして指定

発表内容

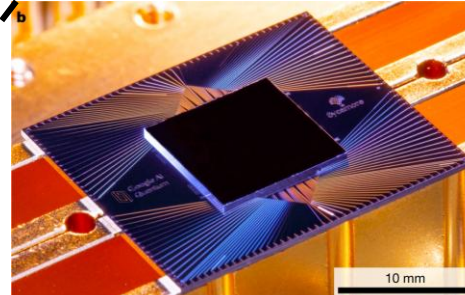
- 量子計算機アーキテクチャの研究動向
 - 計算機アーキテクチャの研究対象・隣接分野
 - 計算機アーキテクチャ分野における量子関連の研究動向
- 計算機系のための表面符号入門（1コマ目）
 - 量子誤り訂正の基礎
 - 表面符号の誤り推定処理のグラフ問題への帰着
 - Stim+Crumbleを用いた表面符号シミュレーション
 - 極低温環境での表面符号の誤り推定処理（上野の博論, DAC'21, HPCA'22）
- 表面符号+格子手術に基づく誤り耐性量子計算（2コマ目）
 - ロードストア型FTQCアーキテクチャ（HPCA2025）
- HPCA2026投稿中論文について（3コマ目）
- まとめ

超伝導量子コンピュータ

希釈冷凍機

極低温環境
(20mK~4K)

Qubits



現状の最高性能の
超伝導量子コンピュータ^[3]

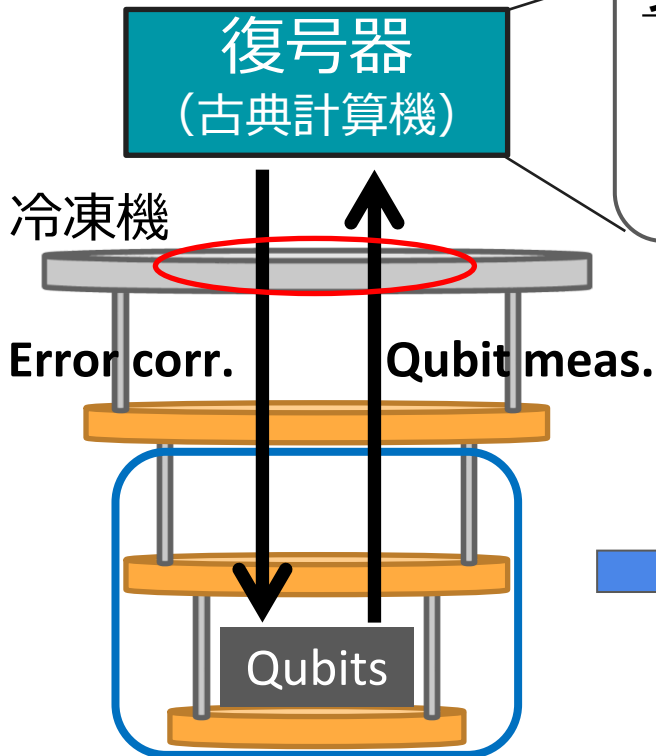
- 量子ビット数: 50~100
- エラーレート: 0.1~1%
- Noisy Intermediate Scale Quantum (**NISQ**) device

- 超伝導量子ビット: 量子ビットの有望な実現方法の1つ
- 20 mK程度の極低温環境でのみ動作
 - 希釈冷凍機の中で動作

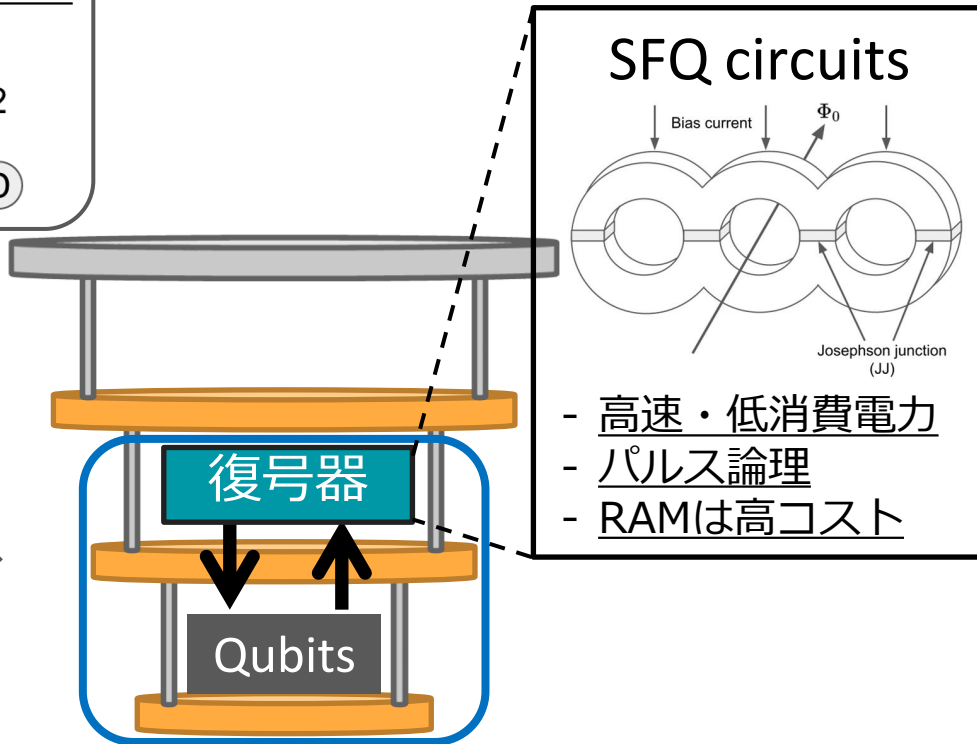
[3] Frank Arute, Kunal Arya, Ryan Babbush, et al. Quantum supremacy using a programmable superconducting processor. Nature 574, 505–510 (2019).

超伝導量子ビット+極低温環境で動作する復号器

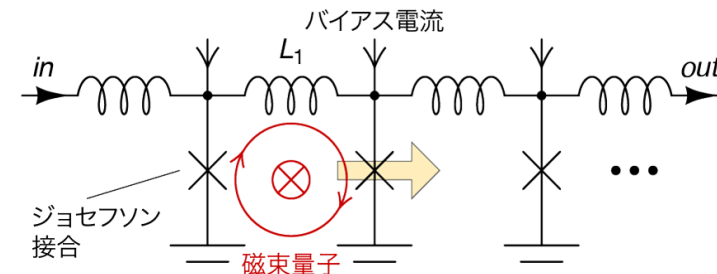
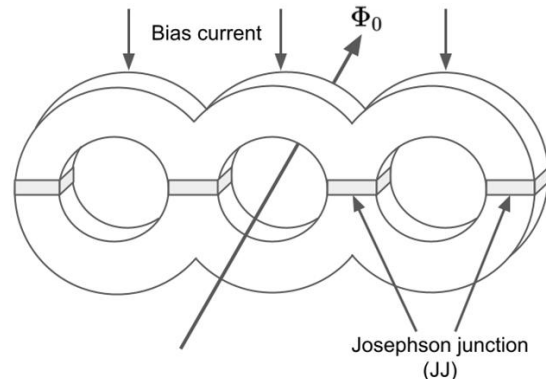
従来アーキテクチャ



提案アーキテクチャ

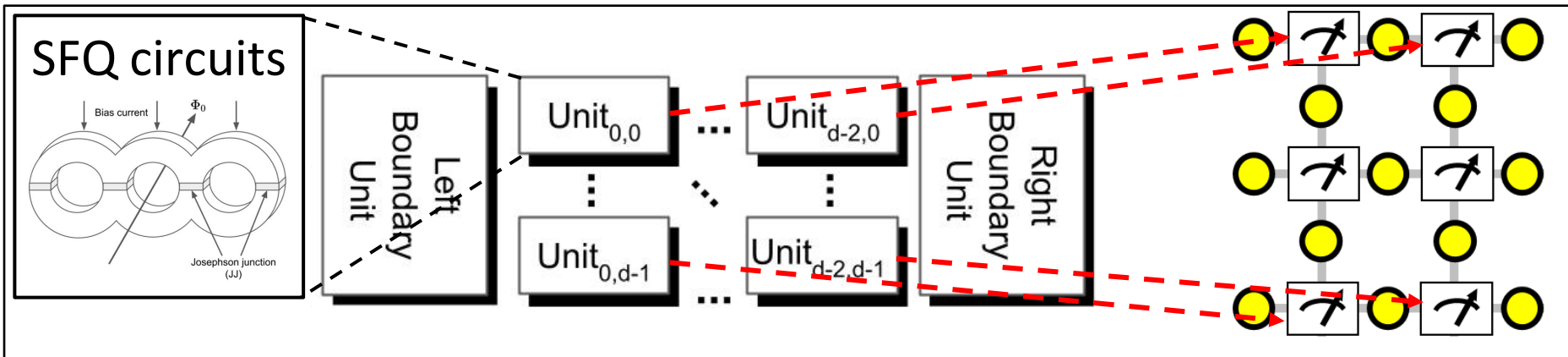


本研究のアプローチ: 超伝導回路による復号



- 単一磁束量子 (SFQ: Single Flux Quantum) 回路
- 超伝導リング内の磁束量子の有無で 0 or 1 を表現
- 4K程度の極低温環境でのみ動作
- CMOSに比べて高速・低消費電力
- 大規模なメモリの構築は難しい
 - 実行するアルゴリズムに工夫が必要 -> 分散処理方式のマッチングアルゴリズム

提案手法: QECOOL

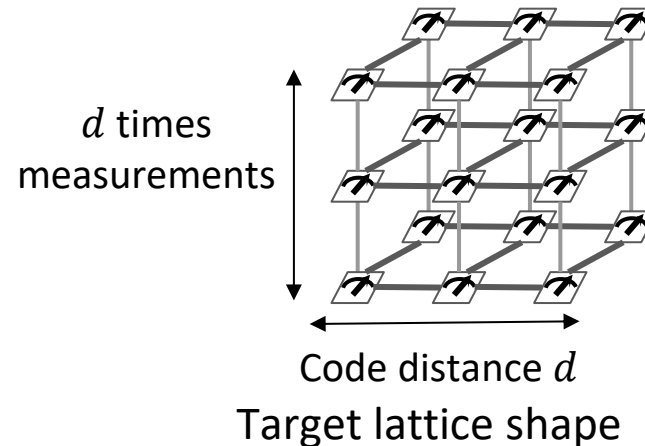
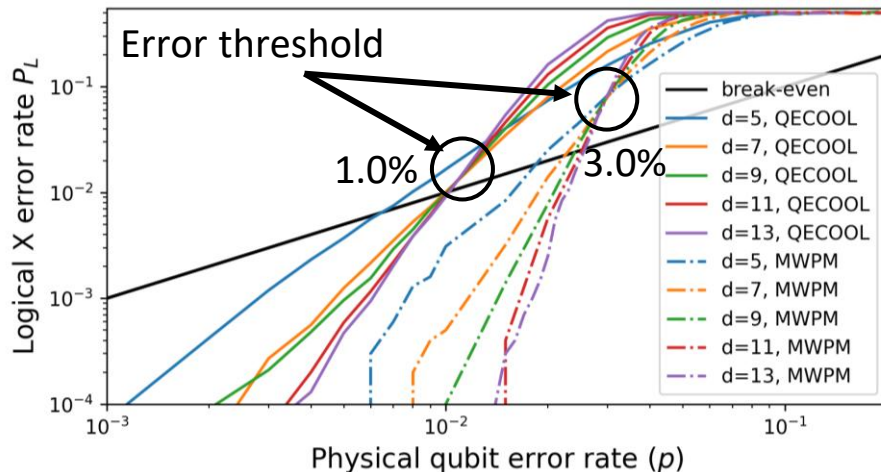


QECOOLのアーキテクチャ

- Quantum Error COrrection by On-Line decoding algorithm
- 大規模なRAMを必要としない分散型のアーキテクチャ
 - 補助量子ビットに1対1に対応するUnitを導入
 - Unit同士の3種類の信号伝播によりマッチング問題を解く

Y. Ueno, M. Kondo, M. Tanaka, Y. Suzuki, Y. Tabuchi, "QECOOL: On-Line Quantum Error Correction with a Superconducting Decoder for Surface Code", 58th IEEE/ACM Design Automation Conference. (DAC 2021)

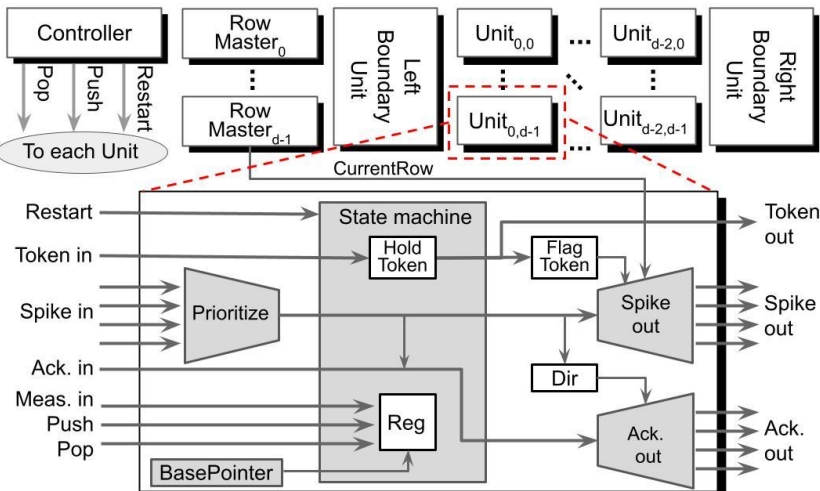
QECOOLの誤り推定性能



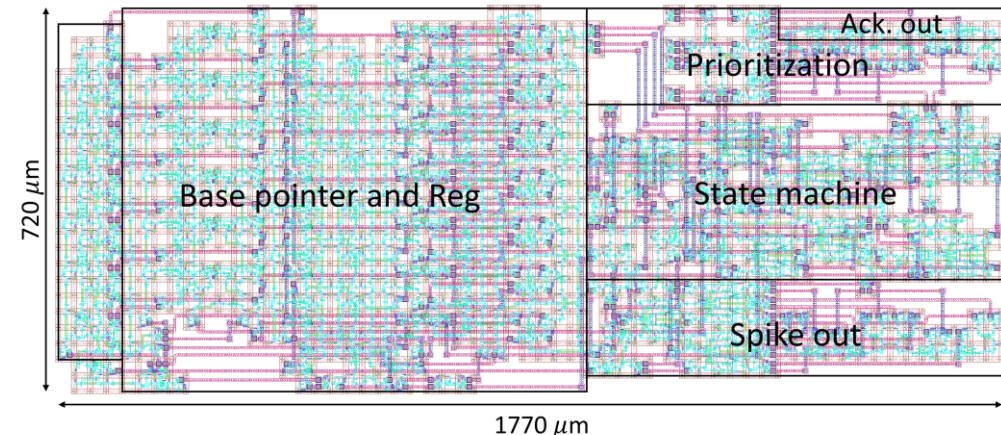
Experimental condition

- Measurement process is performed once every 1 μ s
- Each QECOOL Unit has a 7-bit buffer to store syndrome values
- If buffer entry size is greater than $K = 3$, QECOOL is performed; otherwise, each Unit waits for measurement process
- MWPM operates with batch-QEC manner
- しきい値: QECOOL $p = 0.01$, MWPM $p = 0.03$

QECOOL誤り推定器のSFQ回路による実装



Architecture overview of QECOOL



SFQ design layout of QECOOL Unit

JJs: 3177

Area: 1.274 mm²

Latency: 215 ps

Power cons.: **2.78 μW**

Decoder power consumption per one logical qubits

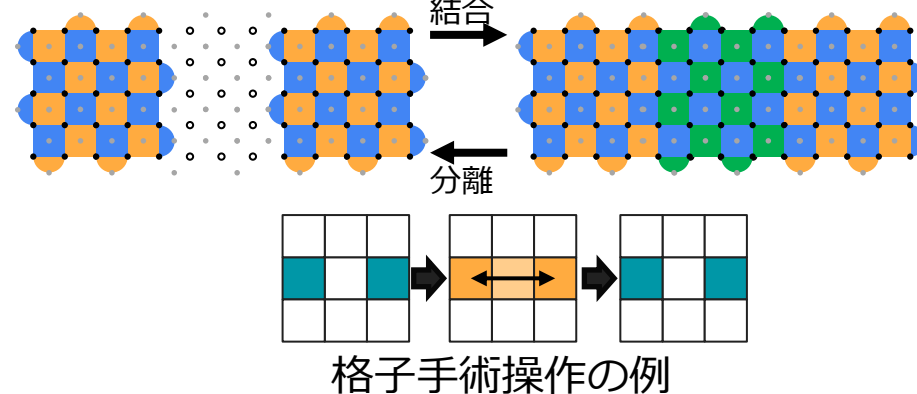
Suppose $d = 9$,

$$9 \times 8 \times 2 \times 2.78[\mu\text{W}] \approx 400 \mu\text{W}$$

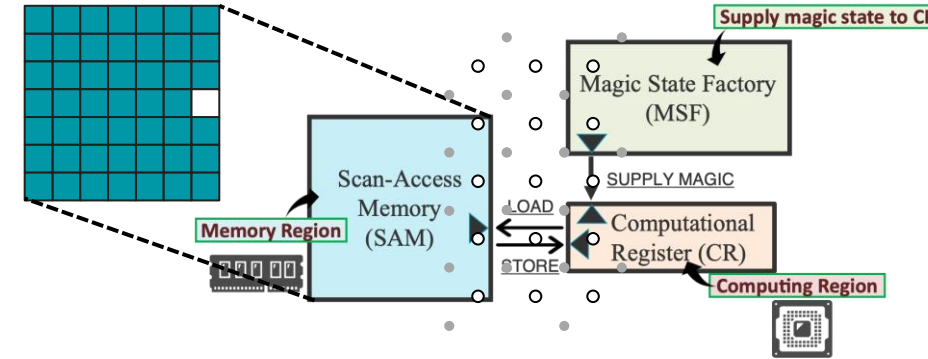
発表内容

- 量子計算機アーキテクチャの研究動向
 - 計算機アーキテクチャの研究対象・隣接分野
 - 計算機アーキテクチャ分野における量子関連の研究動向
- 計算機系のための表面符号入門（1コマ目）
 - 量子誤り訂正の基礎
 - 表面符号の誤り推定処理のグラフ問題への帰着
 - Stim+Crumbleを用いた表面符号シミュレーション
 - 極低温環境での表面符号の誤り推定処理（上野の博論, DAC'21, HPCA'22）
- 表面符号 + 格子手術に基づく誤り耐性量子計算（2コマ目）
 - ロードストア型FTQCアーキテクチャ（HPCA2025）
- HPCA2026投稿中論文について（3コマ目）
- まとめ

2コマ目の概要



格子手術操作の例

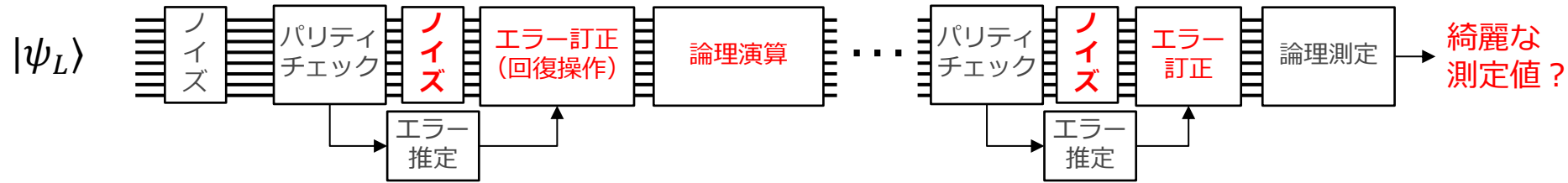


ロードストア型FTQCアーキテクチャ

- 表面符号で誤りを訂正しながら計算したい
 - 可能な限りエラー訂正は後ろ倒しにする (Pauli frame)
 - どうしても無理な場合は状態準備にコストを押し付ける
 - パリティチェックの枠組みを計算に活用 (符号の変形)
- 格子手術に基づくFTQCは表面符号の拡大・縮小、結合・分離、移動
- 全ての論理量子ビットにいつでもアクセスできる必要はない
→ ロードストア型FTQCアーキテクチャ (HPCA2025)

表面符号上の論理演算

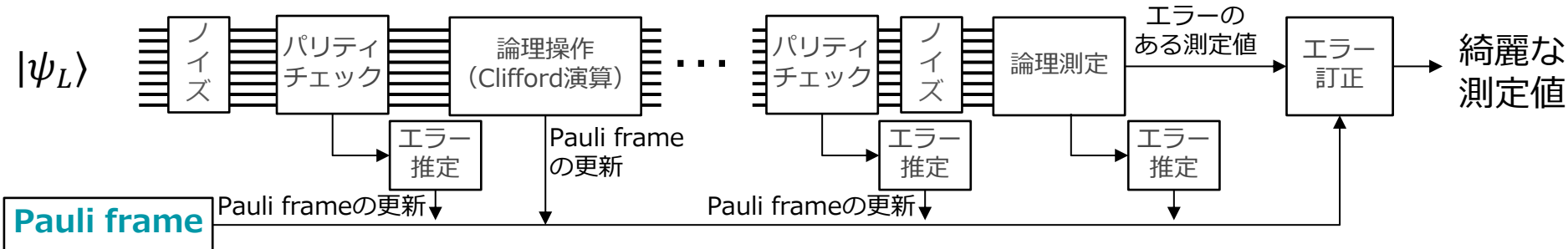
論理演算を行う場合のフローのイメージ（実際はうまくいかない）



- ナイーブな論理演算手順はうまくいかない
 - エラー推定中に新たなノイズが生じる可能性あり
 - エラー訂正操作自体がエラーを発生させる
 - パリティチェックの間隔を一定に保つ必要あり
 - 論理演算にかかる時間が符号の規模に応じて長くなるとまずい
- これを回避するためにエラーがいくつかの論理操作と可換であることを利用

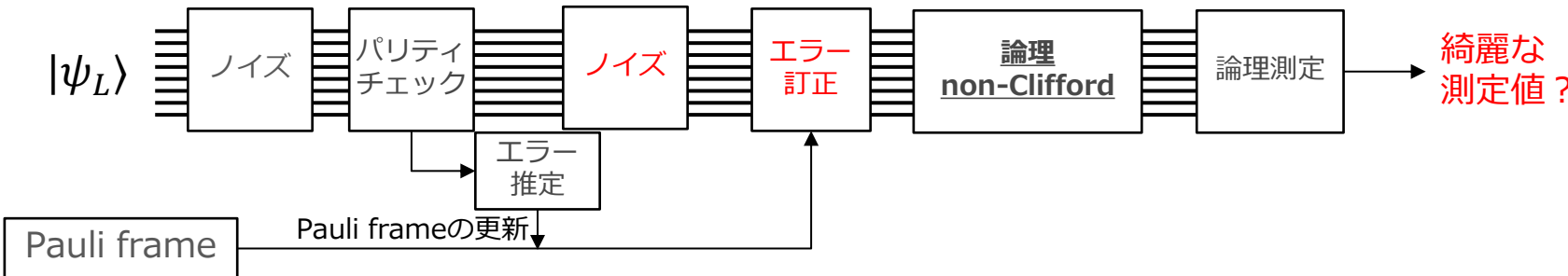
Pauli frameを用いたエラー訂正の後ろ倒し

実際の論理演算のフロー



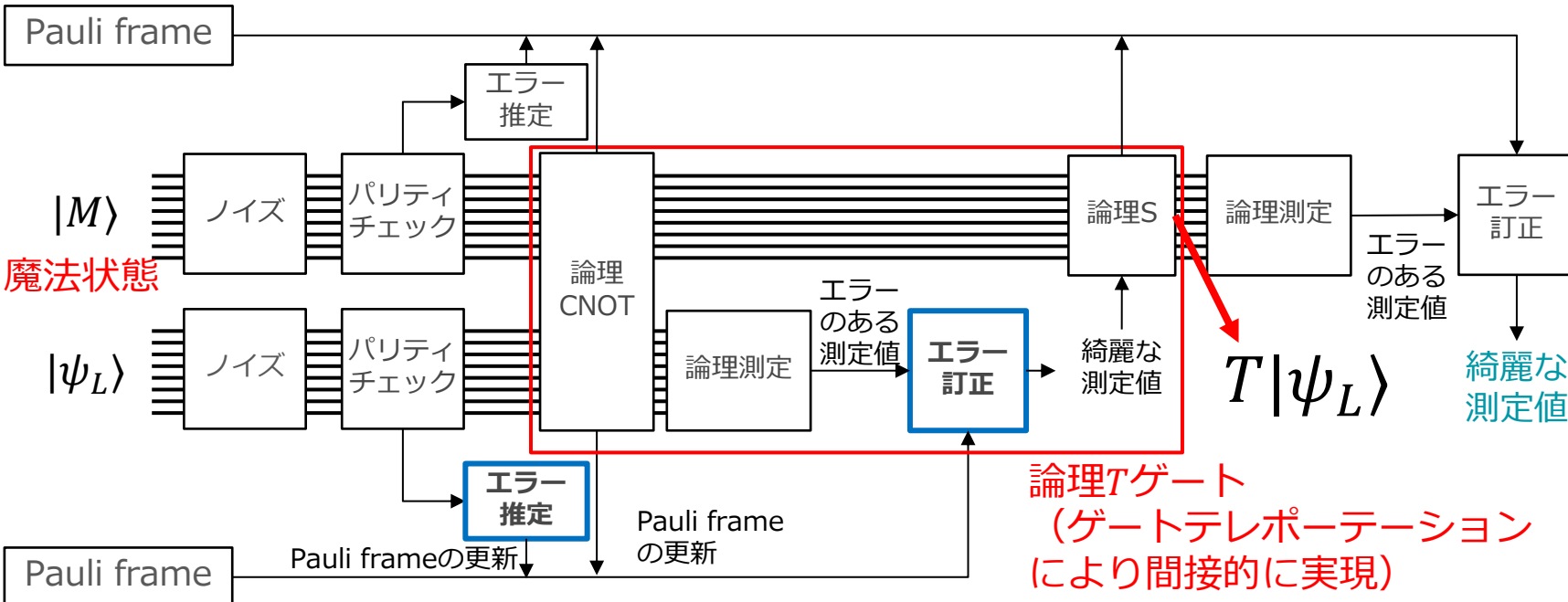
- Clifford演算はエラー訂正と可換であることを利用してエラー訂正操作を後回しにする
- 後で訂正する予定のPauli操作を**Pauli frame**として保持
- 論理Pauli演算はPauli frameの更新のみで実現

論理non-Clifford演算の難しさ



- 直接論理non-Clifford演算を行おうとするとPauli frameの書き戻しが必須となる
 - Non-Clifford演算は訂正操作と非可換
 - 復号している間に新たなノイズが乗ってしまい完全にエラーを解消できない
- Cliffordな論理操作で間接的にnon-Clifford演算を実現する
ゲートテレポーテーションが必須

ゲートテレポーテーションによる実現

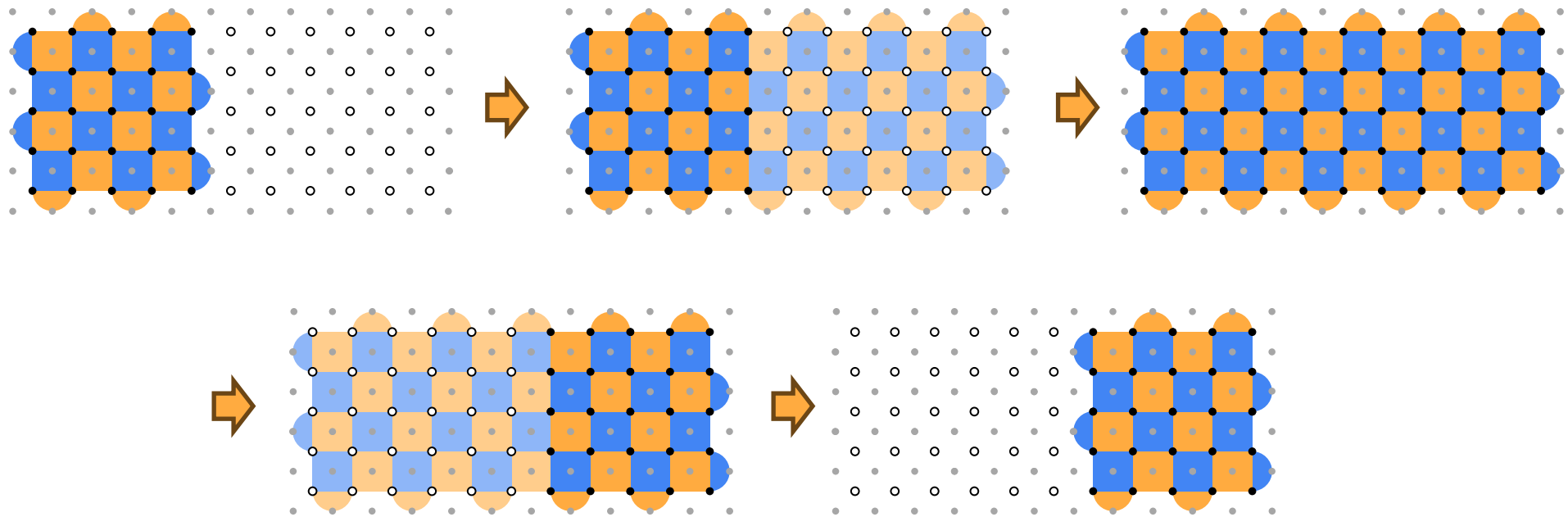


- エラー率 p の魔法状態 $|M\rangle$ は作れる（魔法状態注入）
- エラー率 p の $|M\rangle$ を15個集めてエラー率 $35p^3$ の $|M\rangle$ を1つ作れる（魔法状態蒸留）

表面符号における論理演算

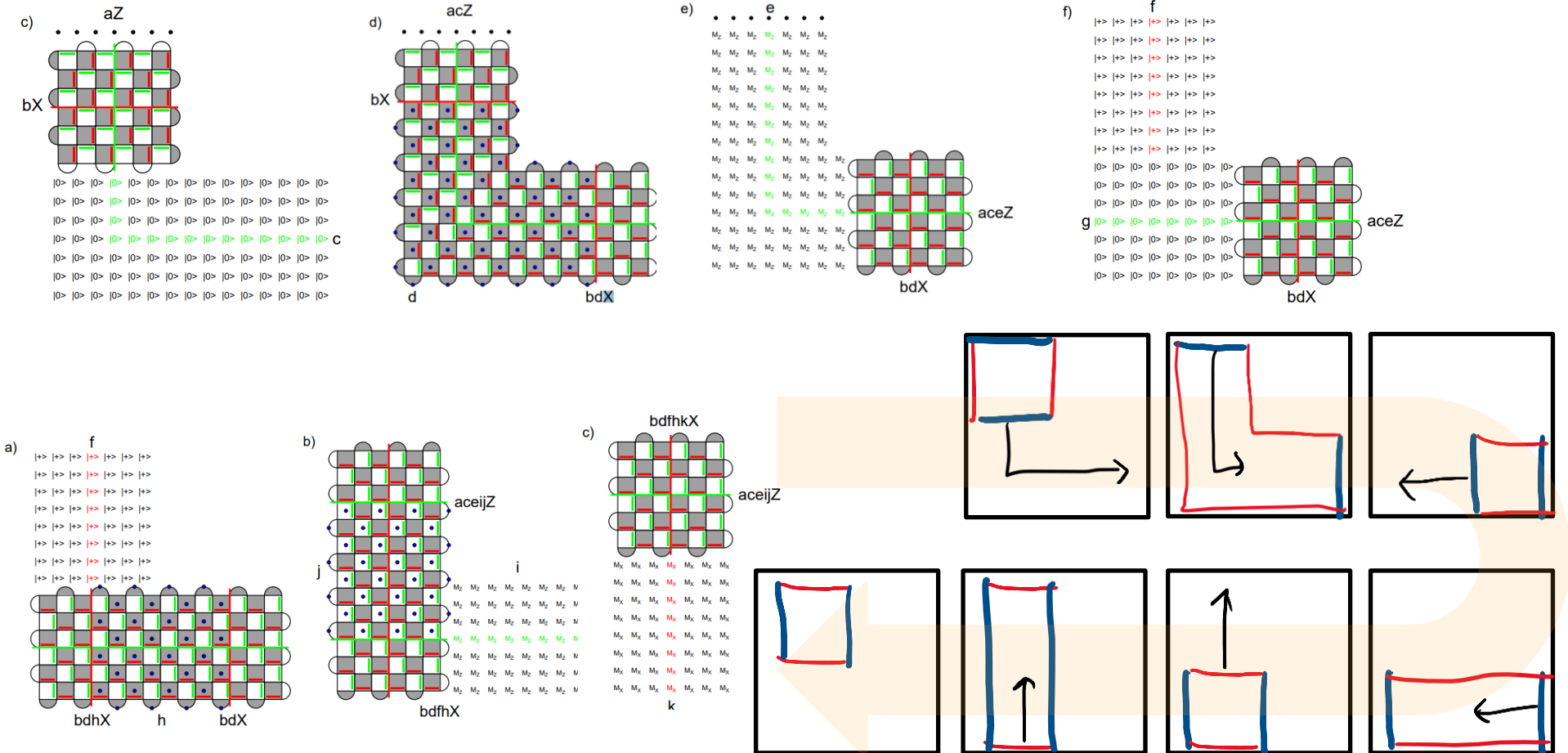
- 表面符号上のユニバーサルゲートセット $\{H, S, CNOT, T\}$
 - H : トランスバーサルな操作で実現
(+ 必要に応じて符号の変形)
 - S : 符号の変形により実現
 - $CNOT$: **格子手術** (符号変形の一種) による
多体測定の組み合わせで実現
 - T : 魔法状態 (特殊な乱数みたいなもの) の準備
+ Clifford操作で実現
 - 特定の状態 ($|0\rangle, |+\rangle, |M\rangle$) への初期化
 - Pauli基底での論理測定
-
- Clifford演算
- Non-Clifford演算

符号の変形

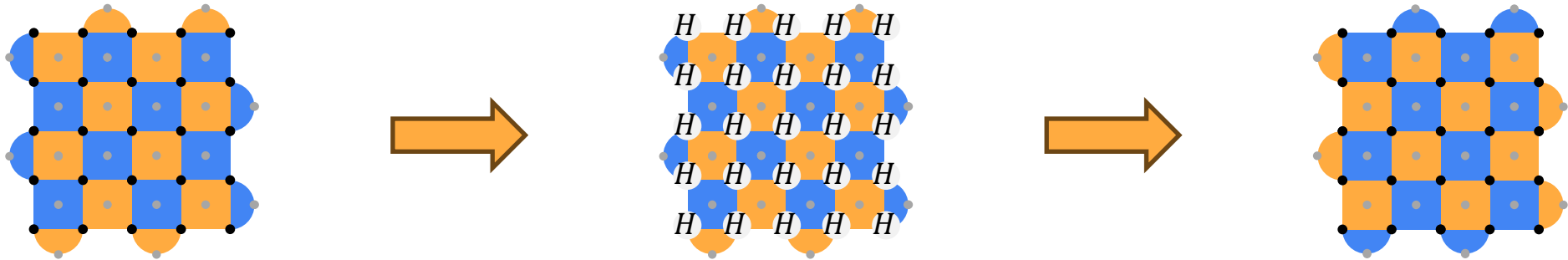


- パリティチェックの組を変えることで符号を変形
 - 論理状態を保ったまま変形 -> 拡大、縮小、移動、回転
 - 論理状態を変えながら変形 -> 論理S, CNOTゲート

符号の変形を利用した格子の回転



論理Hゲート



- H はtransversalityがある→全データ量子ビットに H をかける
 - 符号距離によらず論理演算が定数時間で完了
- X と Z のスタビライザが入れ替わるので、左右と上下の境界の意味が交換
→必要に応じて回転操作で境界の変化を補正

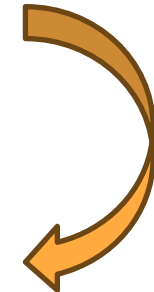
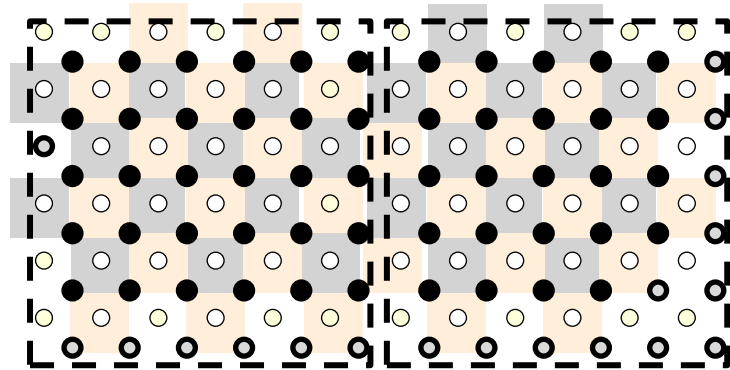
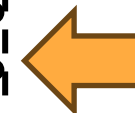
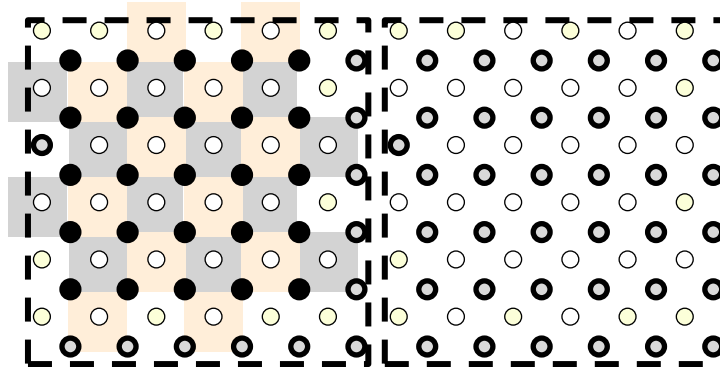
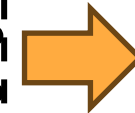
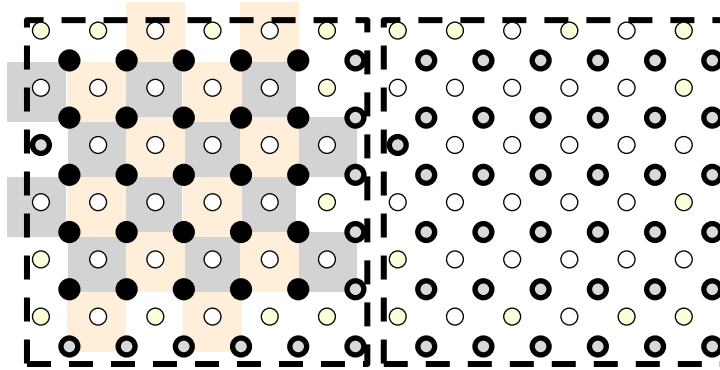
論理Sゲート

論理Sゲート (Twist)

B.J. Brown et al., PRX 7.2, 021029 (2017)

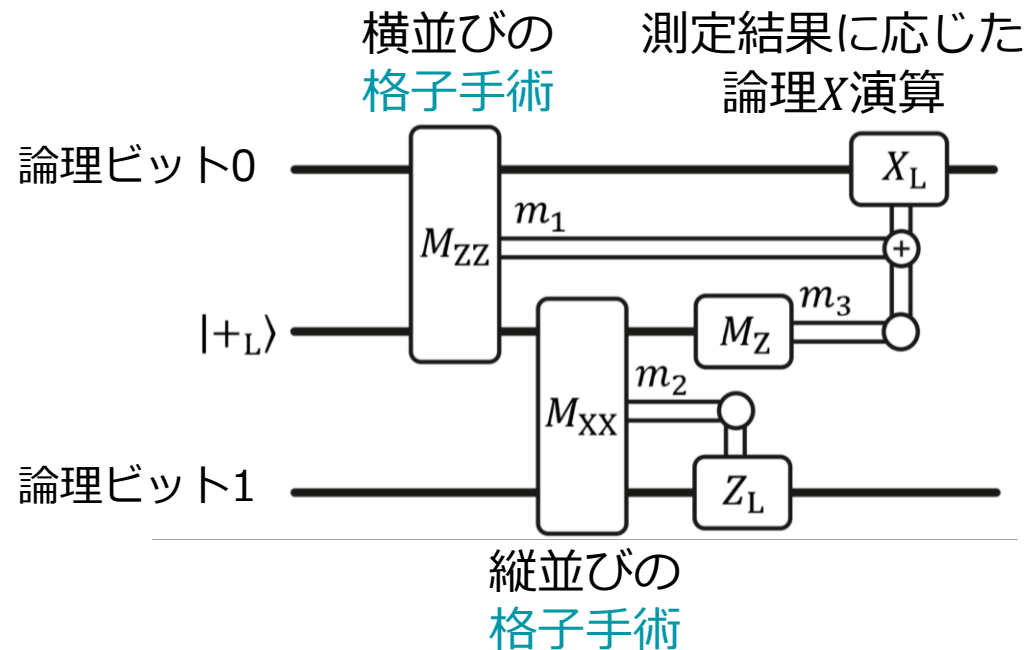
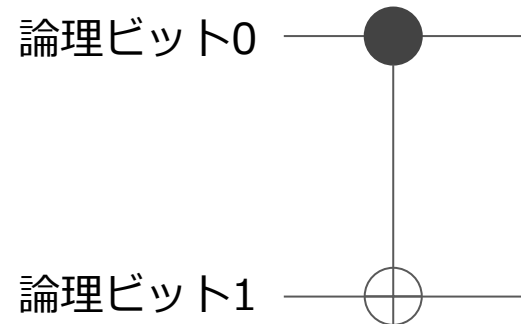
手続き

符号を拡大しパリティ検査のパターンを何度か切り替えて元に戻す



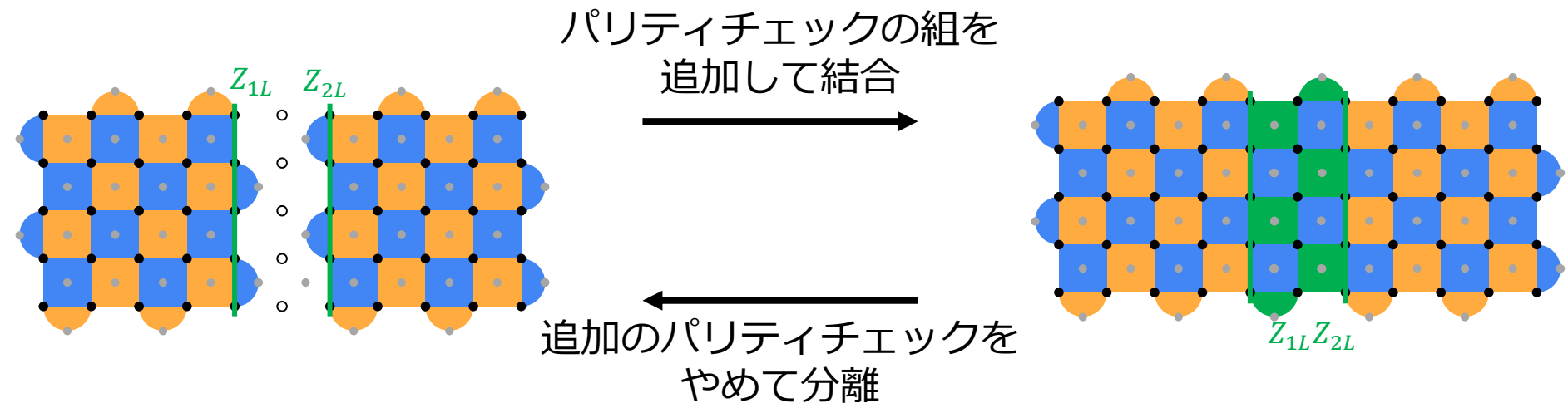
■ Y測定

多体測定の組み合わせによるCNOTゲート



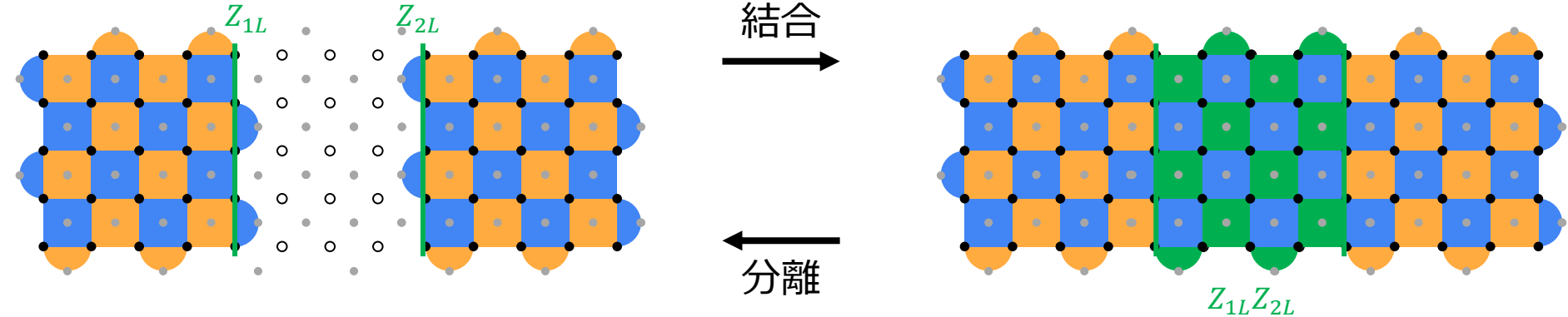
- 格子手術による多体Pauli測定ができれば
論理CNOTを実現できる

格子手術による多体Pauli測定



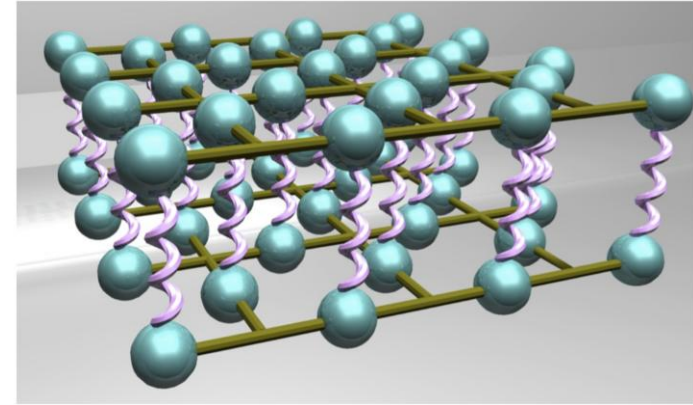
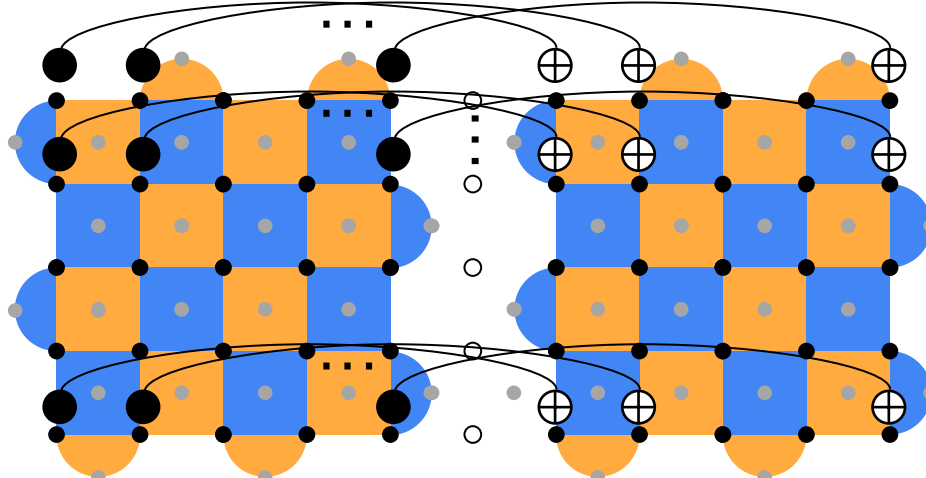
- 論理ビットの間のパリティチェックの結果が2論理ビットのZZ測定になる

格子手術の経路の任意性



- 適切な境界同士の結合であれば経路によらず同じ操作になる
- 経路長が長くなると誤り訂正すべき箇所が増える->誤り推定は大変になる

参考 : transversal CNOT

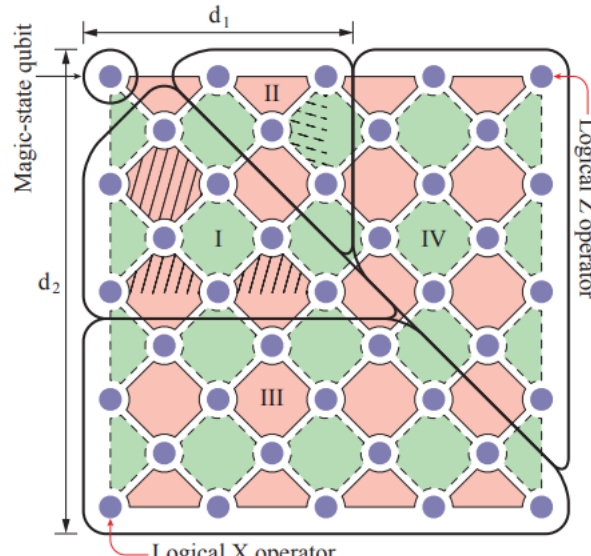


[1]より

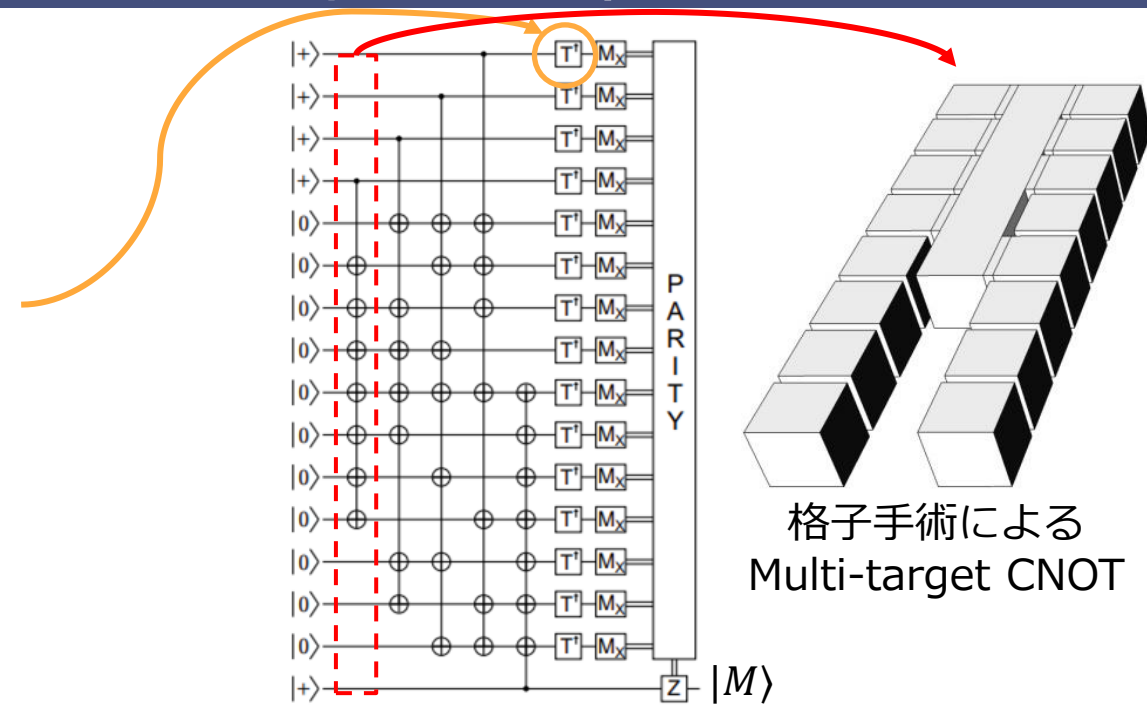
- *CNOT*はTransversalityを持つ：対応するデータ量子ビット間で*CNOT*をすると論理*CNOT*になる
- 隣接しない量子ビット間の相互作用が必要なためハードウェア要求が大きい
 - 中性原子量子コンピュータなど、量子ビット自体を動かせる場合には有望

[1] Horsman, Dominic, Austin G. Fowler, Simon Devitt, and Rodney Van Meter. "Surface code quantum computing by lattice surgery." *New Journal of Physics* 14, no. 12 (2012): 123011.

論理Tゲートのための魔法状態の準備



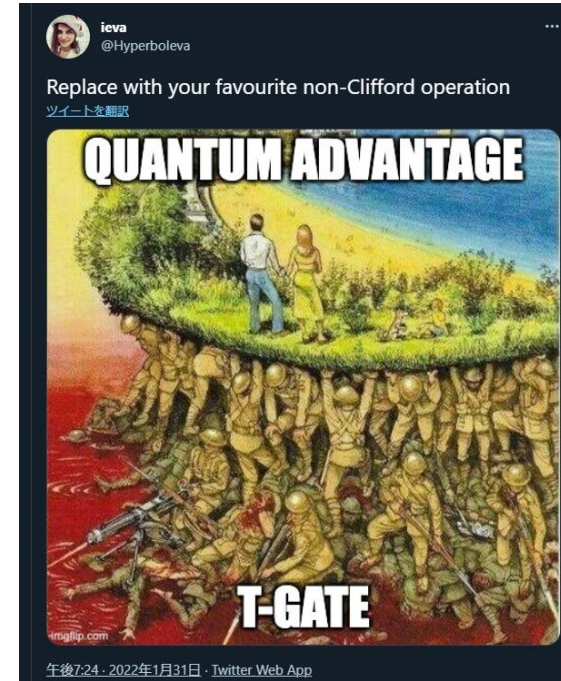
確率的に $|M\rangle$ を埋め込む方法で、成功するまで繰り返す
→上手く作れた状態だけを使う
(とは言ってもそこそこエラー率高い)



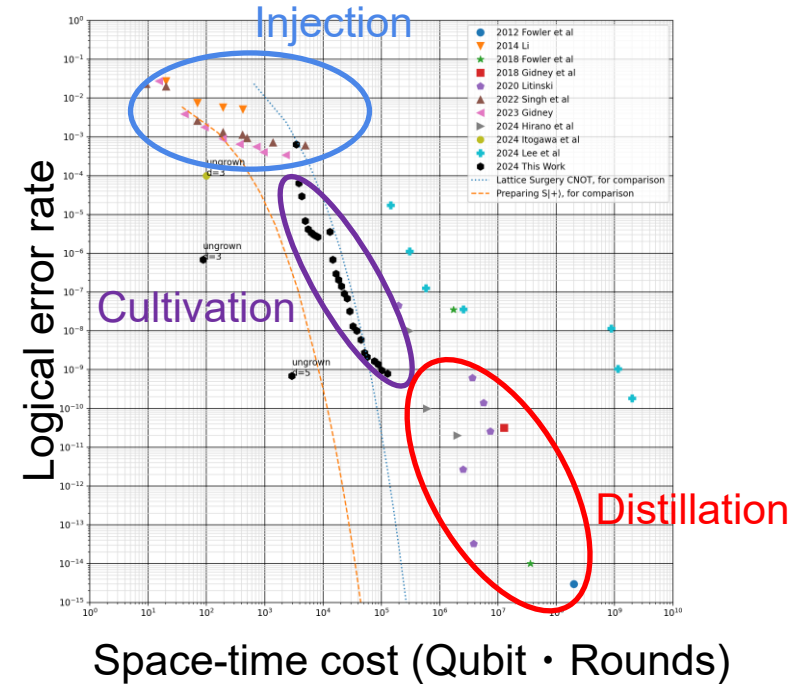
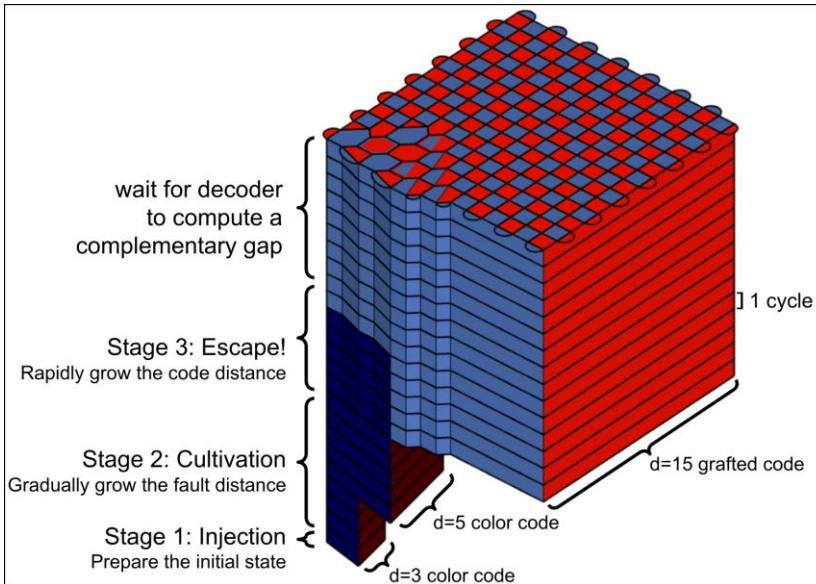
複数の汚い $|M\rangle$ を入力にしたバカでかい格子手術を行なうと少数の綺麗な $|M\rangle$ が得られる

余談: Tゲートは高価

- Non-Clifford演算を実行するのは大変…
- ひとまずClifford演算のみをサポートするFTQCを実現すればいいのでは?
 - No! Clifford演算のみの量子計算は古典計算機で多項式時間シミュレート可能=計算能力が同等
 - Gottesman-Knillの定理
- 量子計算にかかるコスト=Tゲート数
 - 量子コンパイラはTゲートを可能な限り減らすのが大きな仕事の1つ



最近の進展 : Magic state cultivation

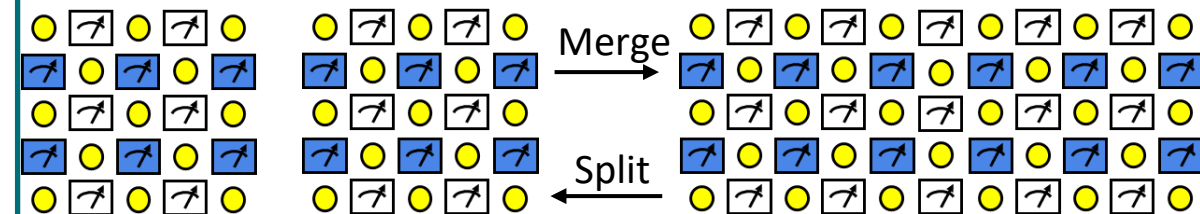


- 物理エラーレート $p = 10^{-3}$ 、論理工エラーレート $p_L = 10^{-8}$ くらいの魔法状態生成のコストを大幅に改善

Craig Gidney, Noah Shutt, and Cody Jones, Magic state cultivation: growing T states as cheap as CNOT gates, arXiv:2409.17595

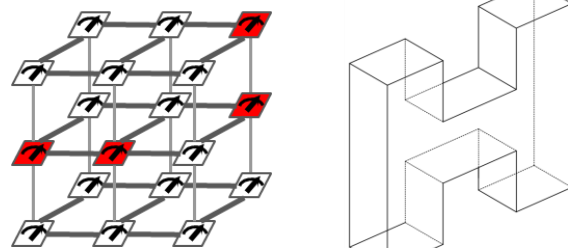
参考 : QECCOOLの格子手術向け拡張

Lattice surgery



Framework to perform logical operations
with SC-based QEC

Target lattice shape

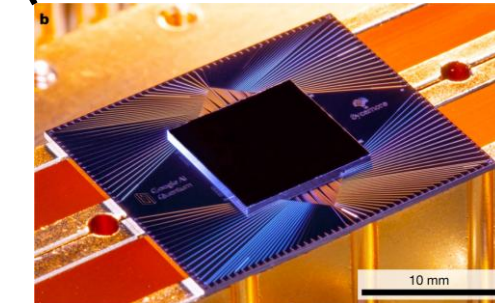
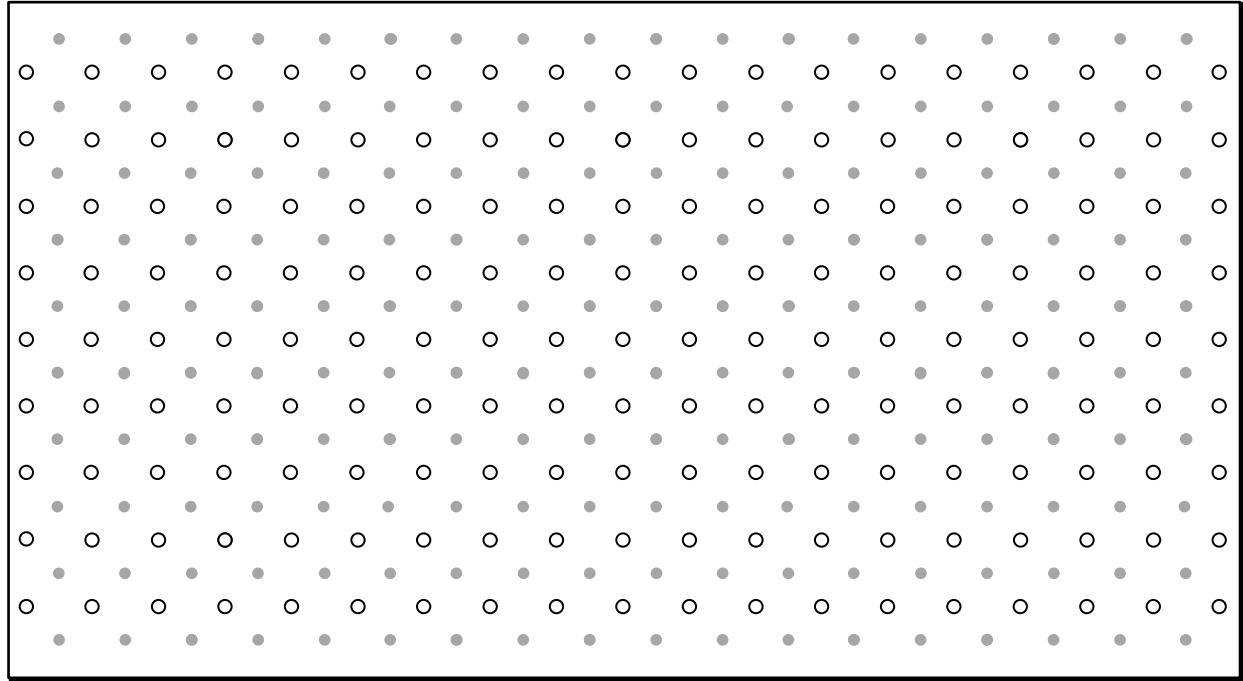


Single logical qubit (QECCOOL) Lattice surgery (QULATIS)

- Extension of QECCOOL for decoding of lattice surgery
 - Supporting logical operations of the universal quantum gate set $\{H, \text{CNOT}, T\}$
- SFQ circuit design of QULATIS decoder is suitable for **online decoding in a cryogenic environment**

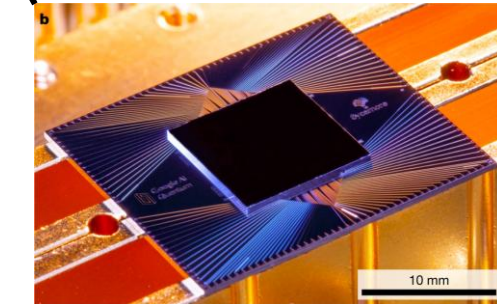
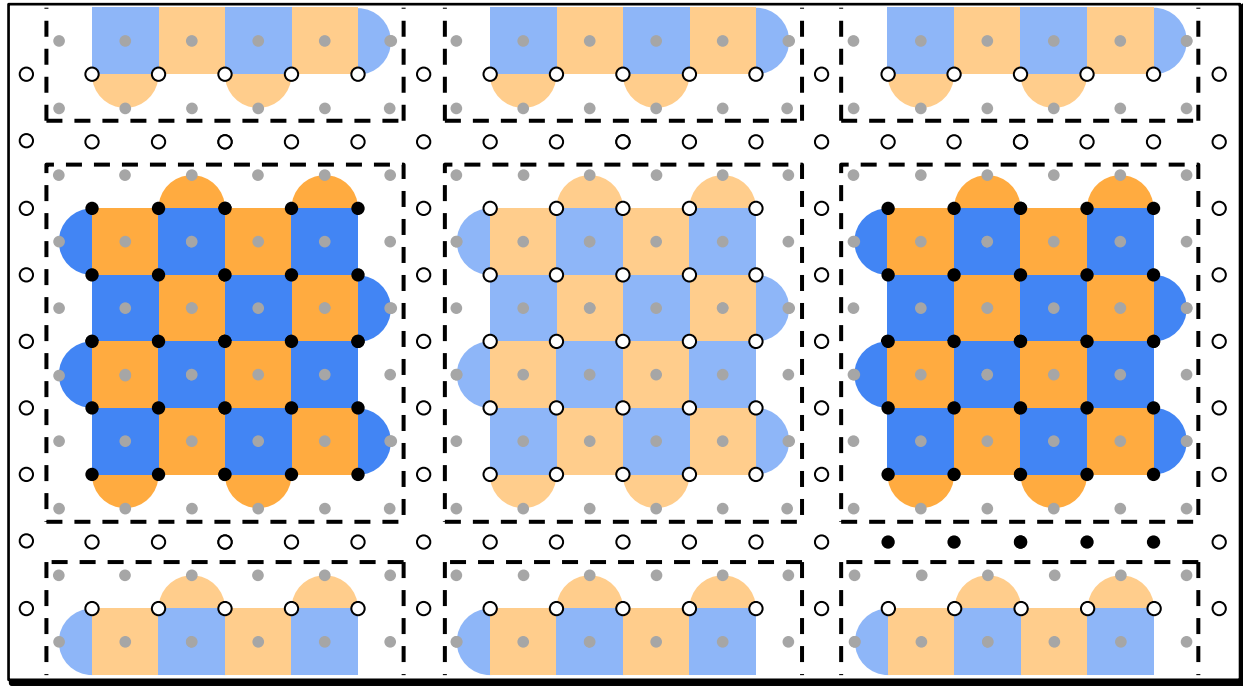
Y. Ueno, M. Kondo, M. Tanaka, Y. Suzuki, Y. Tabuchi, "QULATIS: A Quantum Error Correction Methodology toward Lattice Surgery", 28th IEEE International Symposium on High-Performance Computer Architecture. (HPCA 2022)

実際の量子ビットでの実装



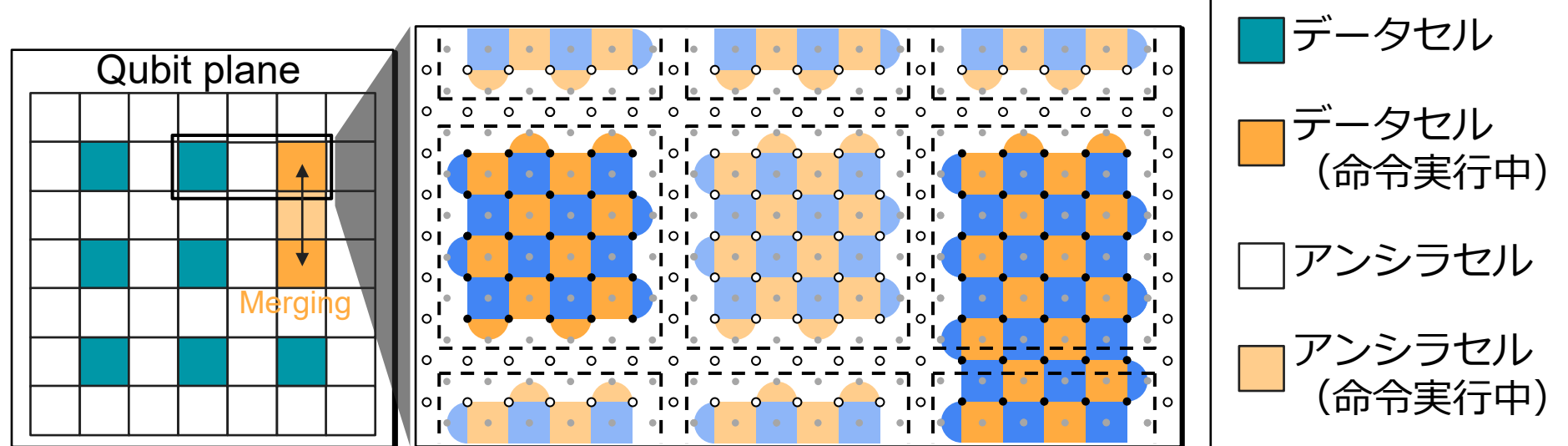
- 表面符号で計算を実行できるように区画を分ける
- 一部に論理状態を確保して一部は計算用に空けておく

実際の量子ビットでの実装



- 表面符号で計算を実行できるように区画を分ける
- 一部に論理状態を確保して一部は計算用に空けておく

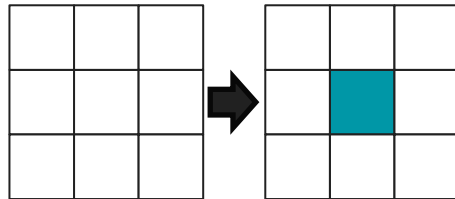
表面符号による論理演算を実行するQubit plane



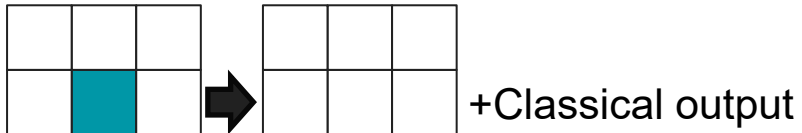
- 1つ1つのセルが符号距離 d の表面符号を構成できる物理量子ビットを持つ
- **データセル**に計算用の論理状態を確保
- 空きスペース（**アンシラセル**）を使って
計算 (=データセルの拡大・縮小、結合・分離) を行う

格子手術命令セットの一例

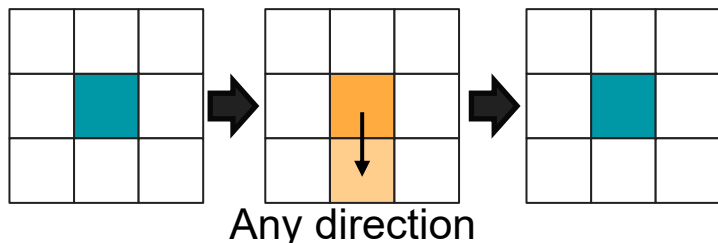
INIT_Z, INIT_X (0 code beat)



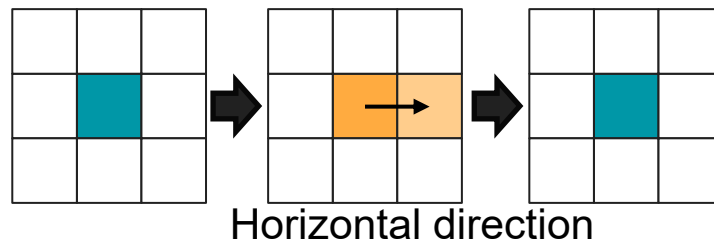
MEAS_X, MEAS_Z (0 code beat)



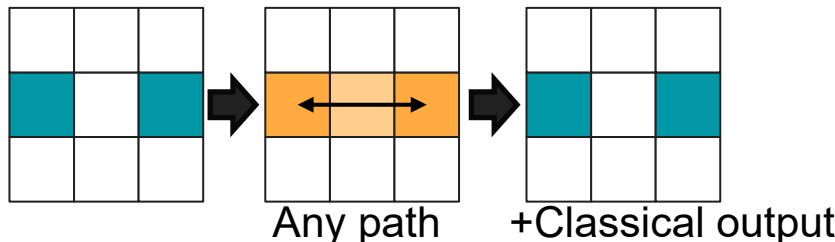
OP_H (3 code beats)



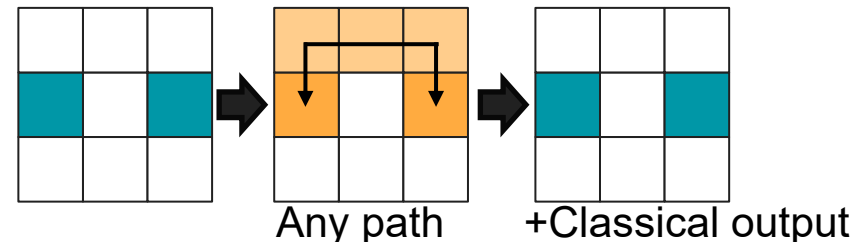
OP_S (2 code beats)



MEAS_ZZ (1 code beat)

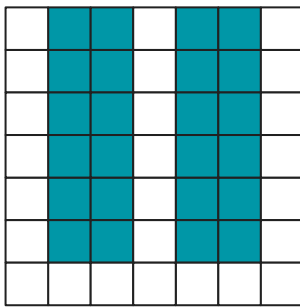


MEAS_XX (1 code beat)

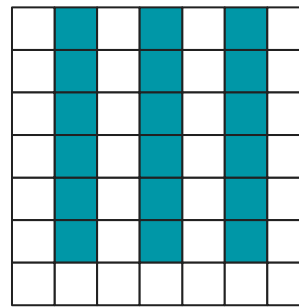


論理量子ビットのレイアウト (フロアプラン)

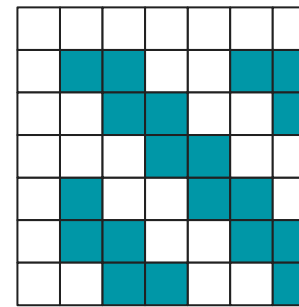
- 現状ランダムアクセスメモリがない
- 演算のために任意のデータセル間がアンシラセルを介して連結である必要がある



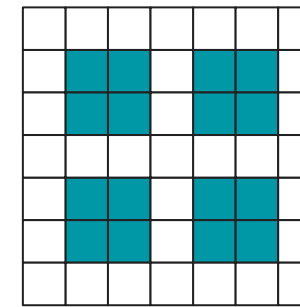
データセル密度
 $R_{data} = 66\%$



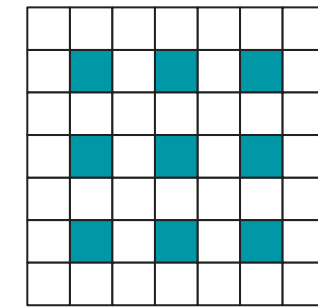
$R_{data} = 50\%$



$R_{data} = 50\%$



$R_{data} = 44\%$



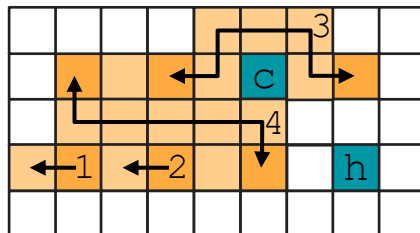
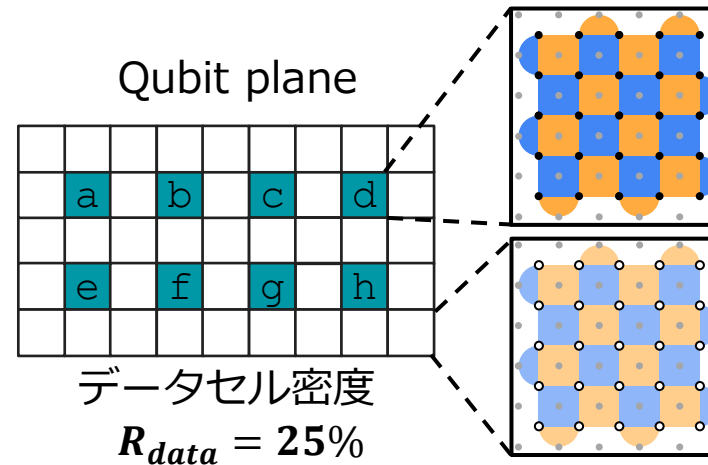
$R_{data} = 25\%$



格子手術の実行例

入力プログラム

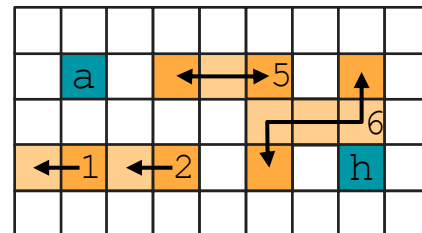
1. OP_H e
2. OP_S f
3. MEAS_ZZ b, d
4. MEAS_XX a, g
5. MEAS_ZZ b, c
6. MEAS_XX d, g
7. MEAS_XX d, f
8. MEAS_XX g, h
9. MEAS_ZZ a, b



Code beat: 0

#Used cell: 8 + 14

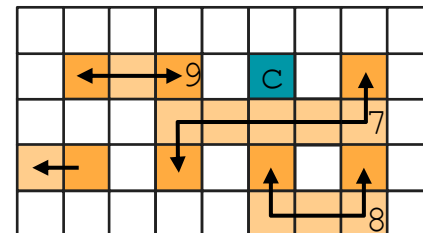
Inst: 1, 2, 3, 4



Code beat: 1

#Used cell: 8 + 6

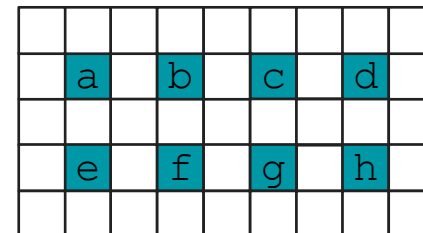
Inst: 1, 2, 5, 6



Code beat: 2

#Used cell: 8 + 10

Inst: 7, 8, 9



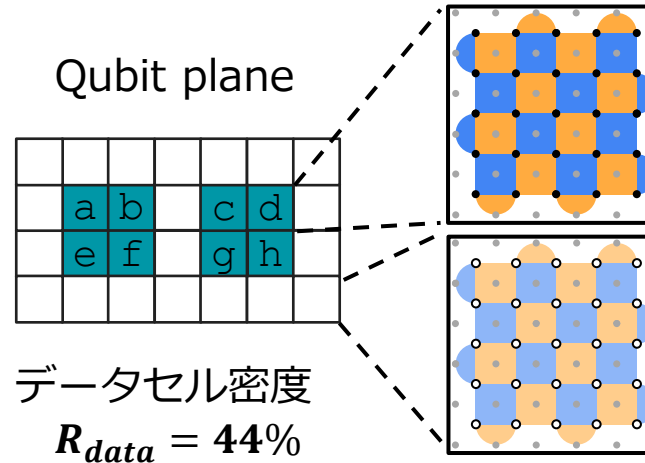
Code beat: 3

#Used cell: 8

格子手術の実行例：より高密度なデータセル配置

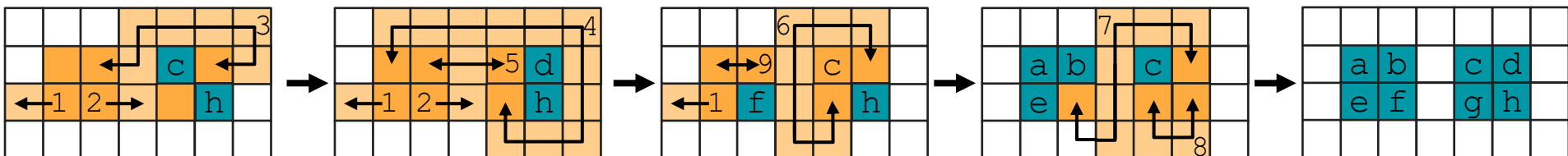
入力プログラム

1. OP_H e
2. OP_S f
3. MEAS_ZZ b, d
4. MEAS_XX a, g
5. MEAS_ZZ b, c
6. MEAS_XX d, g
7. MEAS_XX d, f
8. MEAS_XX g, h
9. MEAS_ZZ a, b



データセル：
計算対象の量子状態
を確保

アンシラセル：
データセルに対する
計算を行うスペース



Code beat: 0
#Used cell: 8 + 8
Inst: 1, 2, 3

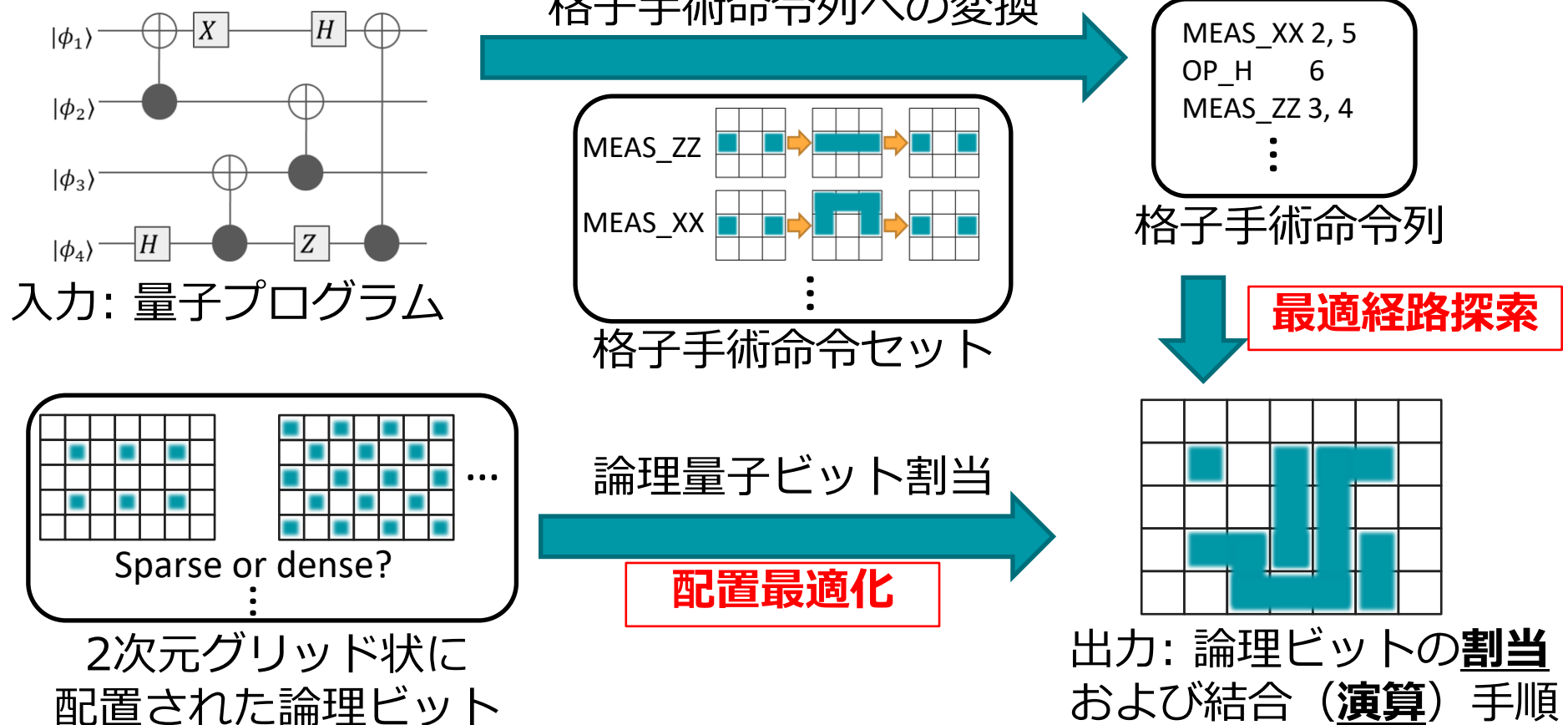
Code beat: 1
#Used cell: 8 + 14
Inst: 1, 2, 4, 5

Code beat: 2
#Used cell: 8 + 8
Inst: 1, 6, 9

Code beat: 3
#Used cell: 8 + 8
Inst: 7, 8

Code beat: 4
#Used cell: 8

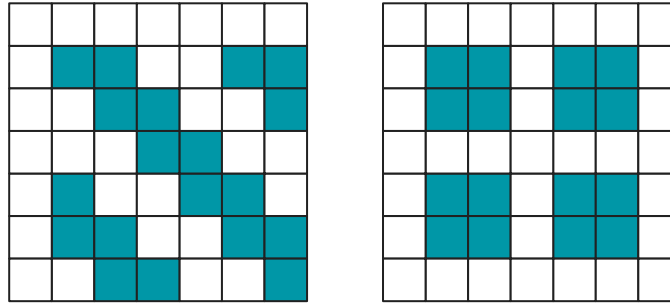
従来の格子手術によるFTQCのコンパイルフロー



発表内容

- 量子計算機アーキテクチャの研究動向
 - 計算機アーキテクチャの研究対象・隣接分野
 - 計算機アーキテクチャ分野における量子関連の研究動向
- 計算機系のための表面符号入門（1コマ目）
 - 量子誤り訂正の基礎
 - 表面符号の誤り推定処理のグラフ問題への帰着
 - Stim+Crumbleを用いた表面符号シミュレーション
 - 極低温環境での表面符号の誤り推定処理（上野の博論, DAC'21, HPCA'22）
- 表面符号 + 格子手術に基づく誤り耐性量子計算（2コマ目）
 - ロードストア型FTQCアーキテクチャ（HPCA2025）
- HPCA2026投稿中論文について（3コマ目）
- まとめ

ロードストア型誤り耐性量子計算機アーキテクチャ



$$R_{data} = 50\%$$

$$R_{data} = 44\%$$

従来のフロアプラン

- なるべく少ない量子ビット数でFTQCを実現したい
→ 全体のセルの数は少ないほど嬉しい
- 従来のフロアプラン：データセル位置固定、いつでもアクセスできる
→ データセルの比率（メモリ密度）は高々50%
- 着眼点：「任意のデータセルにいつでもアクセスできる」ことは必須なのか？→ NO!!

ロードストア型誤り耐性量子計算機アーキテクチャ

2025 IEEE International Symposium on High Performance Computer Architecture (HPCA)

LSQCA: Resource-Efficient Load/Store Architecture for Limited-Scale Fault-Tolerant Quantum Computing

Takumi Kobori†, Yasunari Suzuki‡, Yosuke Ueno*, Teruo Tanimoto**, Synge Todo†, and Yuuki Tokunaga‡

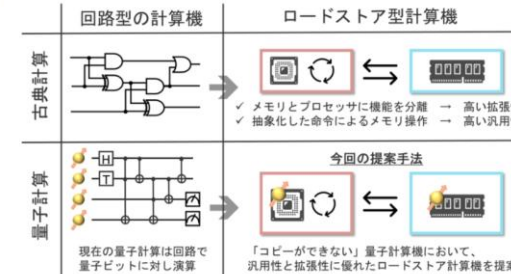
The University of Tokyo†, NTT Corporation‡, RIKEN*, Kyushu University**

takumi.kobori@phys.s.u-tokyo.ac.jp, yasunari.suzuki@ntt.com, yosuke.ueno@riken.jp,
teruo@kyudai.jp, wistar@phys.s.u-tokyo.ac.jp, yuuki.tokunaga@ntt.com

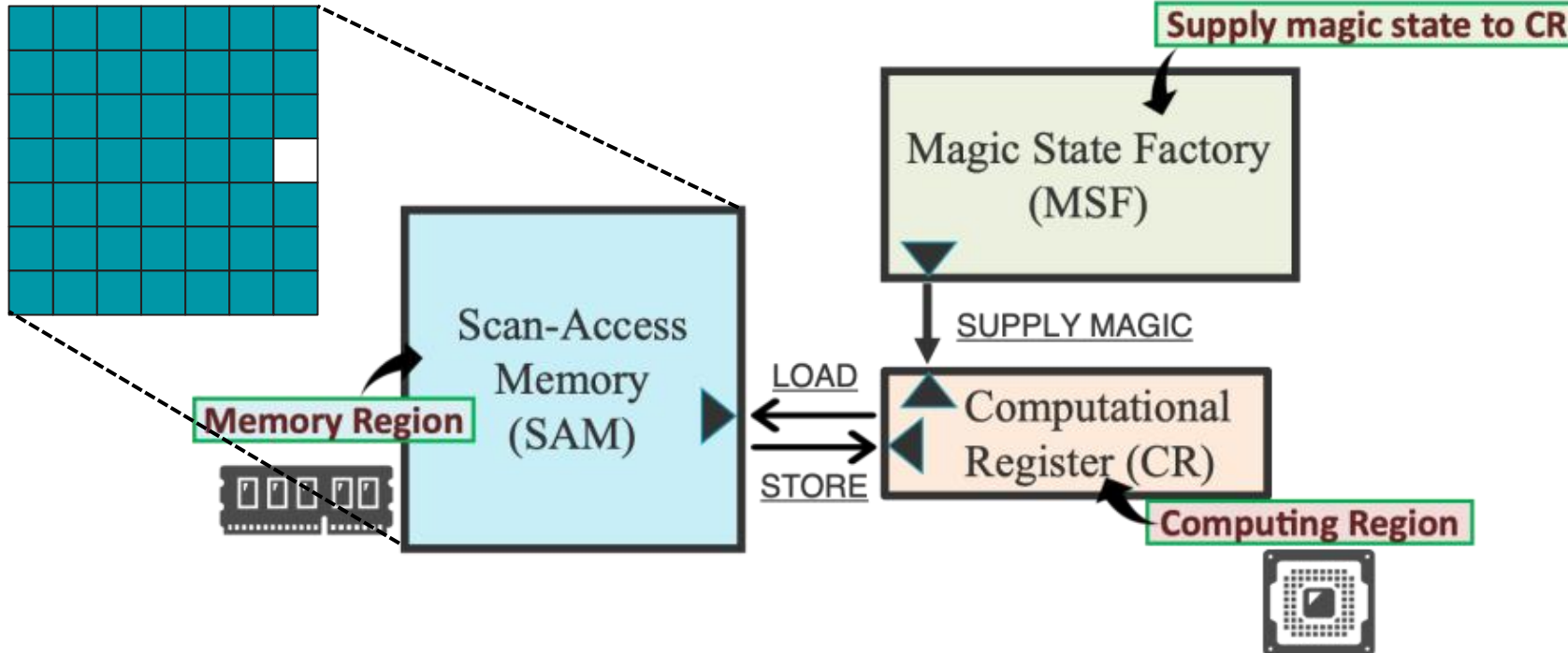
メモリとプロセッサを分離した新たな量子コンピュータのアーキテクチャを提案

研究成果 2025/03/05

東京大学大学院理学系研究科小堀拓生大学院生（当時日本電信電話インターン生）と藤堂真治教授、日本電信電話株式会社の鈴木泰成研究員と徳永裕己研究員、理化学研究所量子コンピューター研究センターの上野洋典基礎科学特別研究員、そして九州大学大学院システム情報科学研究院の谷本輝夫准教授による研究グループは、従来の計算機の基本設計であるロードストア型計算機の考え方を量子計算機に適用した、新たな誤り耐性量子計算のアーキテクチャを提案しました。本技術は、プログラムの高い移植性（他の環境への移行のしやすさ）と高効率な量子ハードウェアの活用を可能とするものであり、有用な量子計算の早期実現を加速することが期待されます。



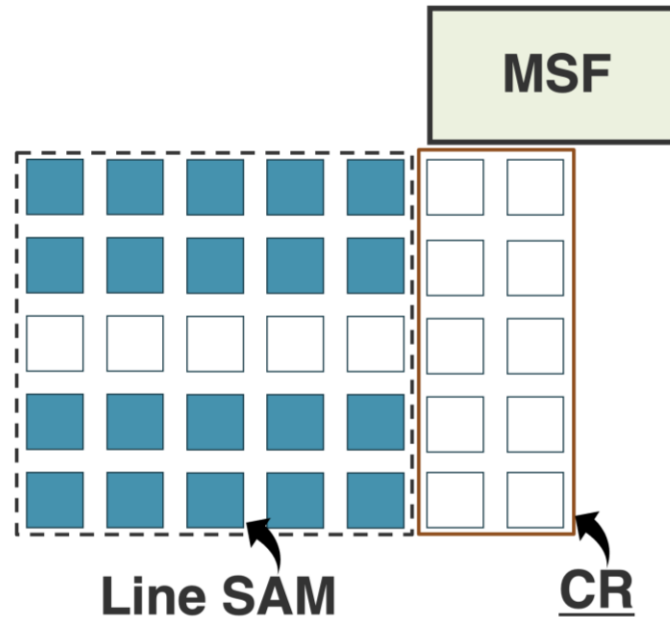
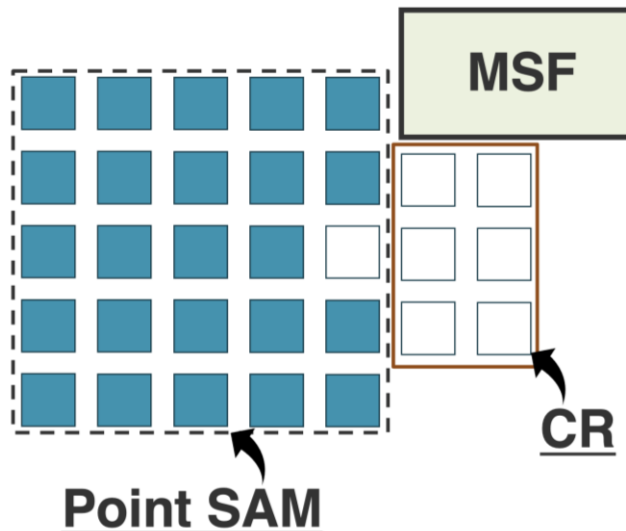
ロードストア型誤り耐性量子計算機アーキテクチャ



- 高密度にデータセルを配置するメモリ領域を構成
- データセルの移動を活用して計算領域に読み出し

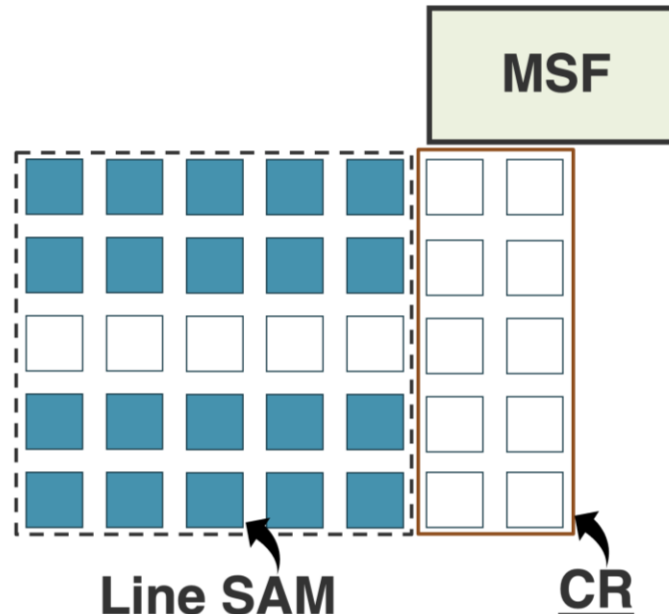
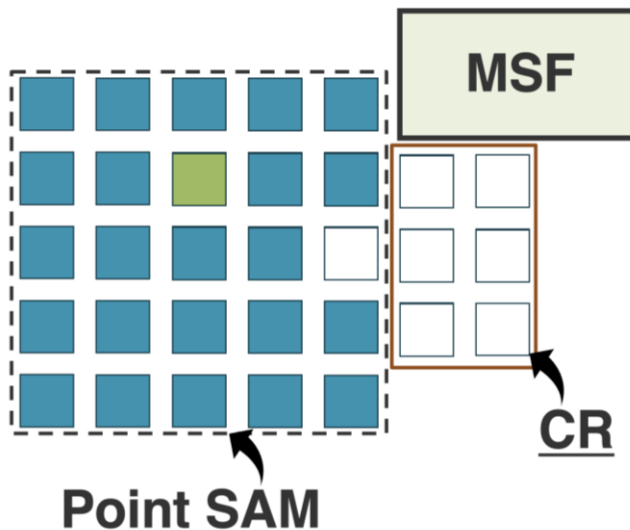
ロードストア型誤り耐性量子計算機アーキテクチャ

- Scan-Access Memory



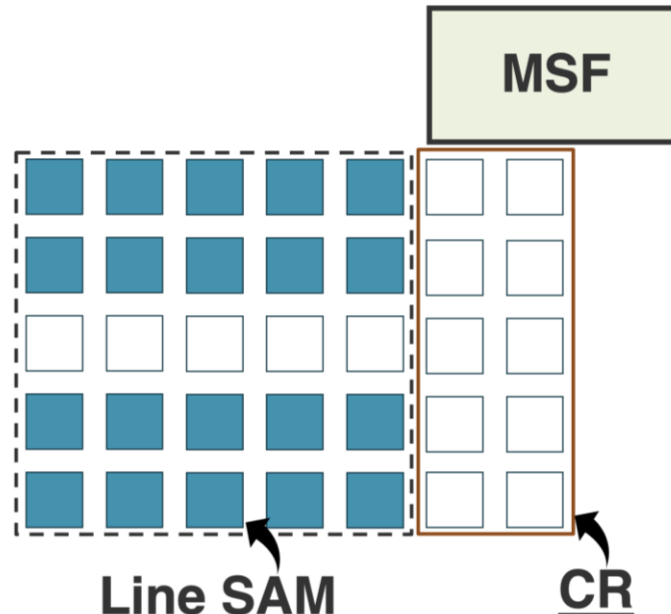
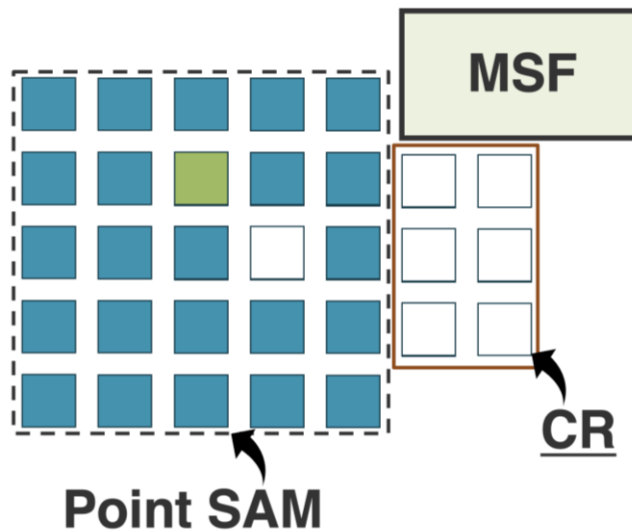
ロードストア型誤り耐性量子計算機アーキテクチャ

- Scan-Access Memory



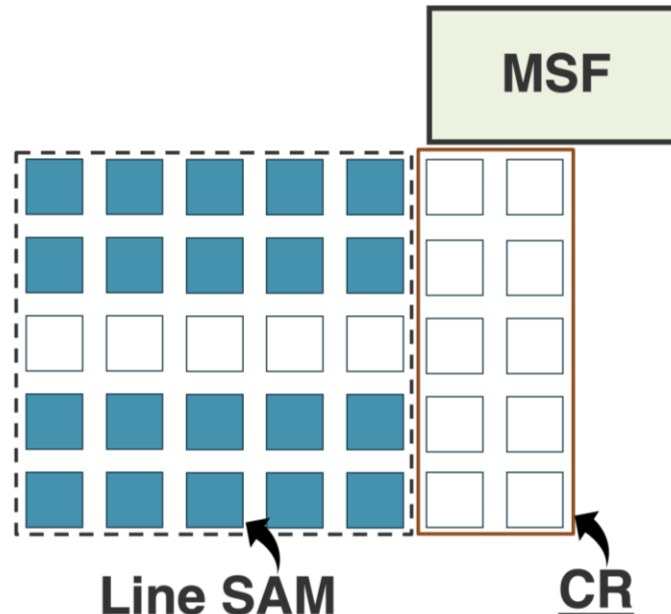
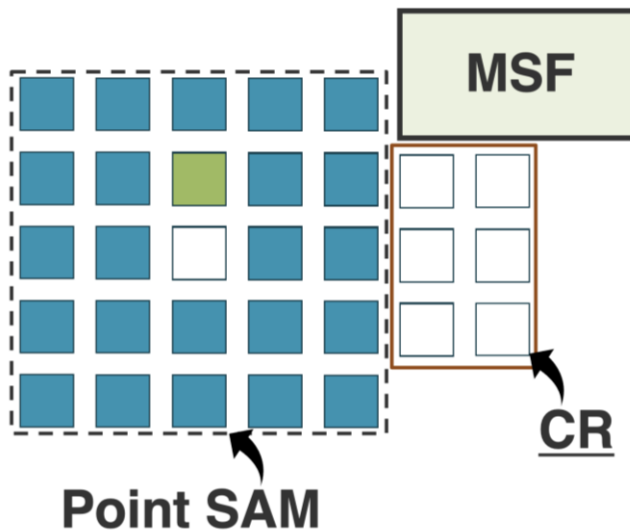
ロードストア型誤り耐性量子計算機アーキテクチャ

- Scan-Access Memory



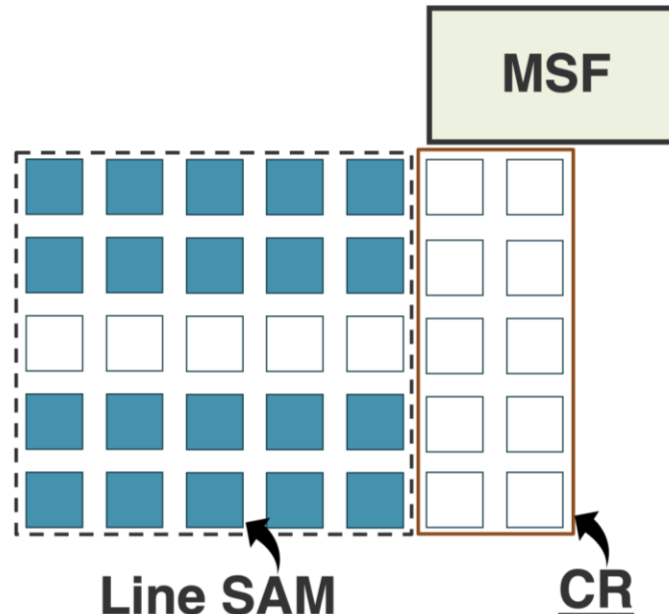
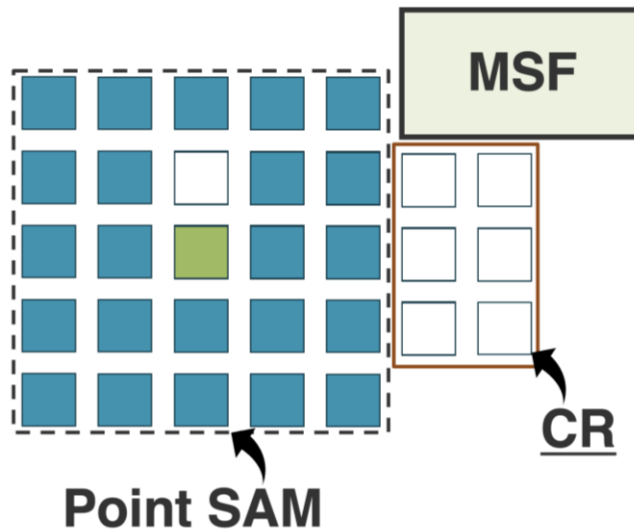
ロードストア型誤り耐性量子計算機アーキテクチャ

- Scan-Access Memory



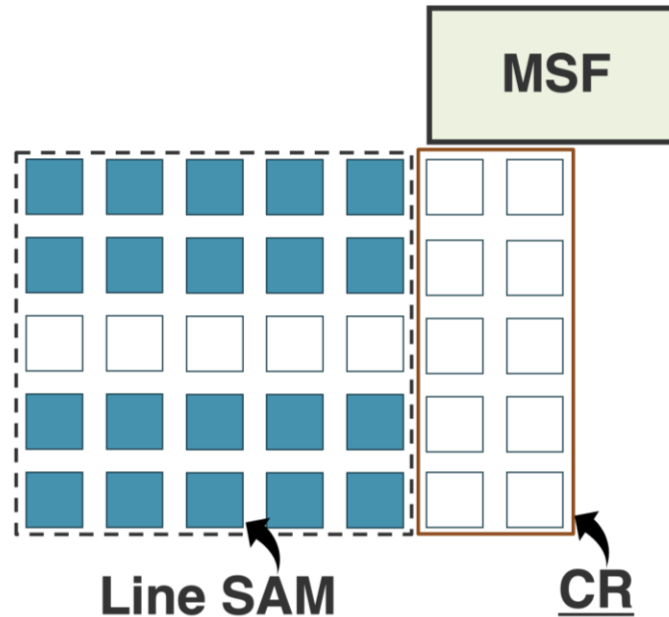
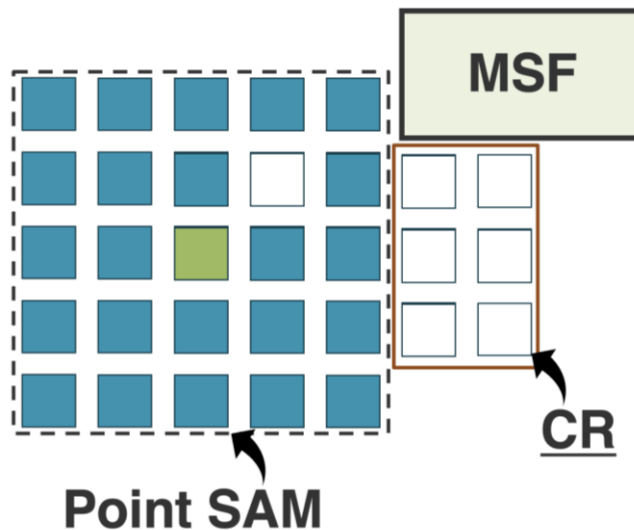
ロードストア型誤り耐性量子計算機アーキテクチャ

- Scan-Access Memory



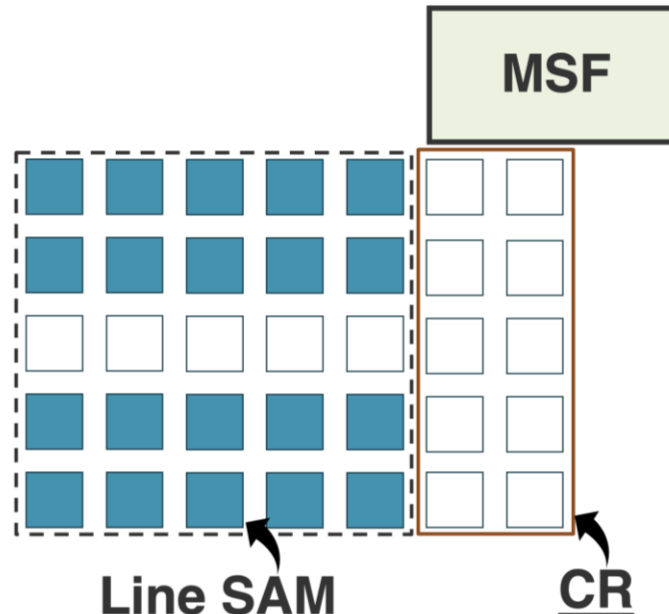
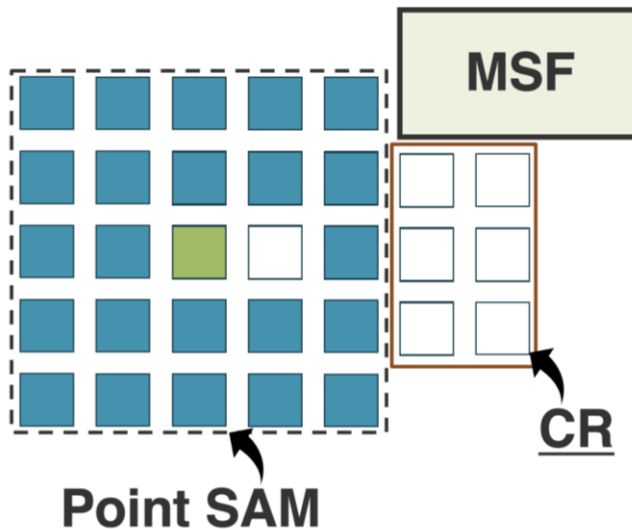
ロードストア型誤り耐性量子計算機アーキテクチャ

- Scan-Access Memory



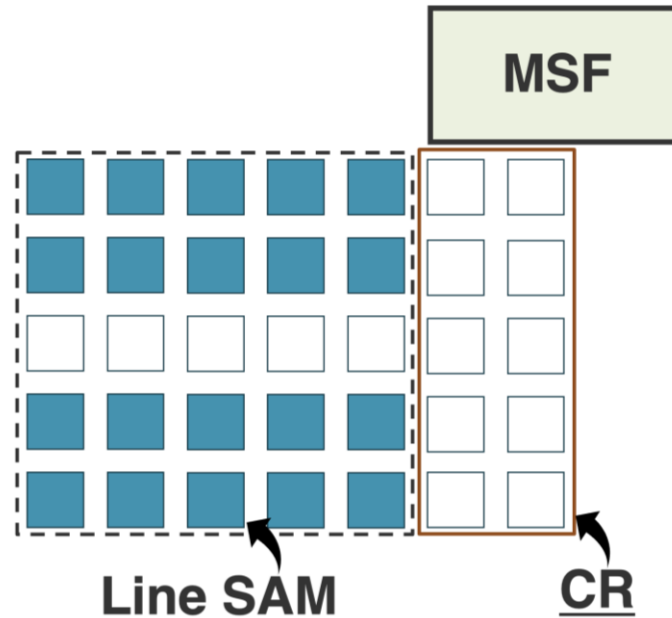
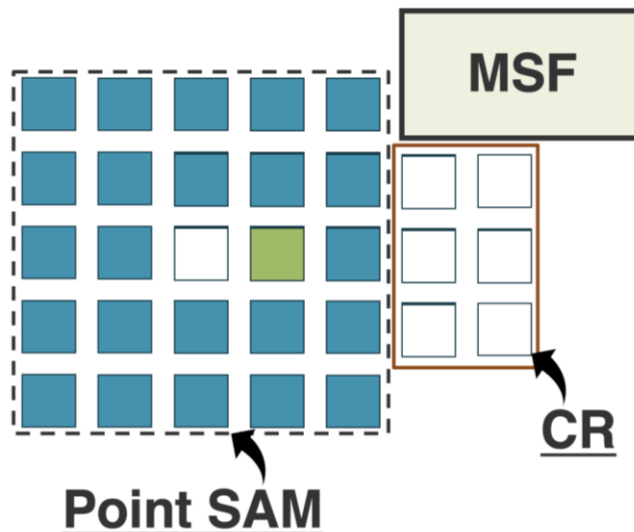
ロードストア型誤り耐性量子計算機アーキテクチャ

- Scan-Access Memory



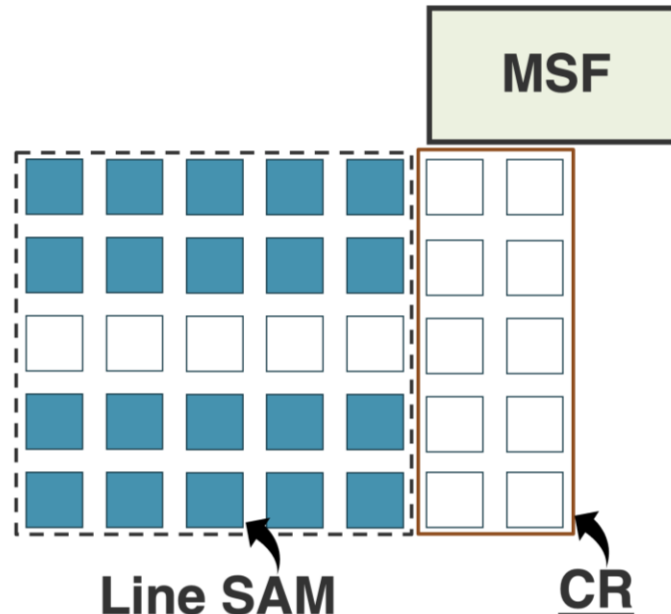
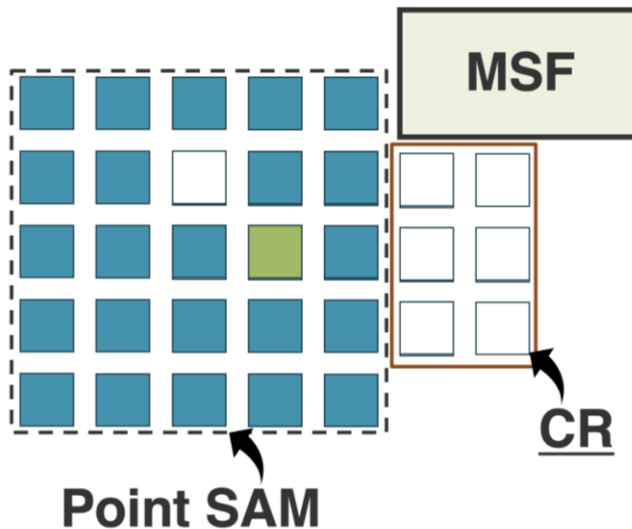
ロードストア型誤り耐性量子計算機アーキテクチャ

- Scan-Access Memory



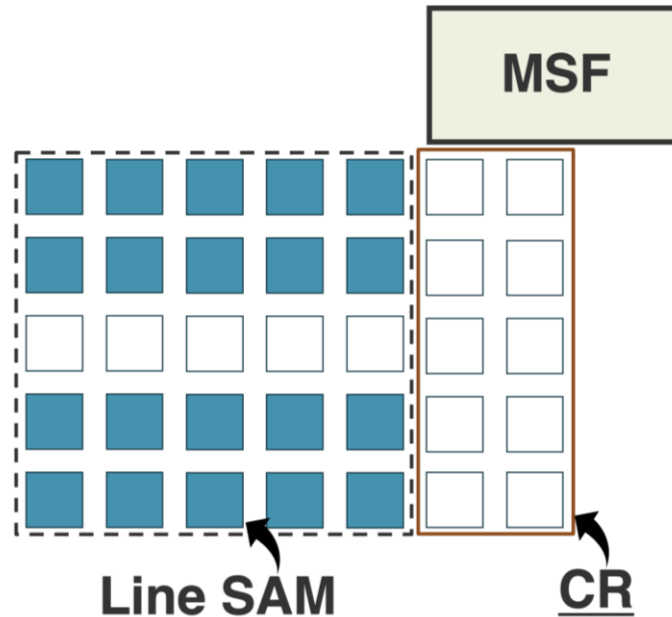
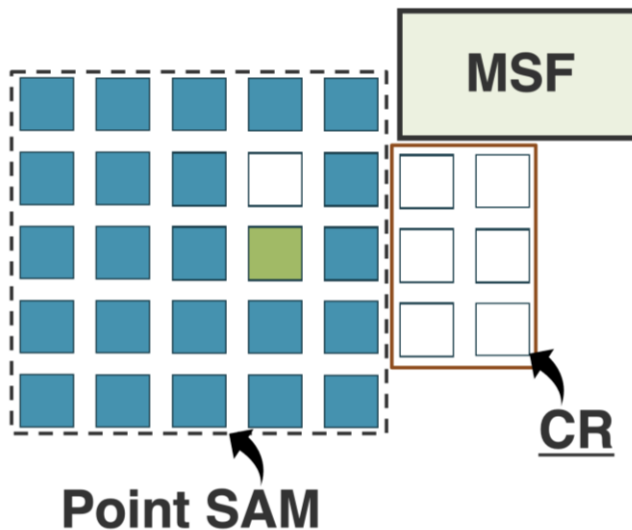
ロードストア型誤り耐性量子計算機アーキテクチャ

- Scan-Access Memory



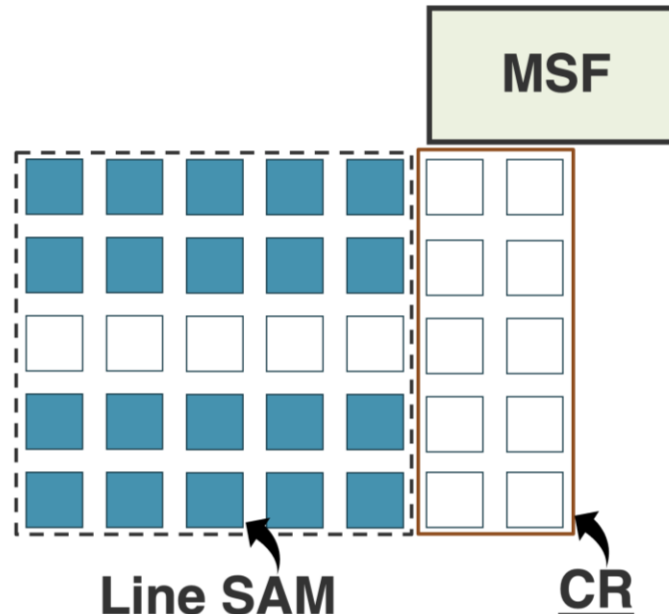
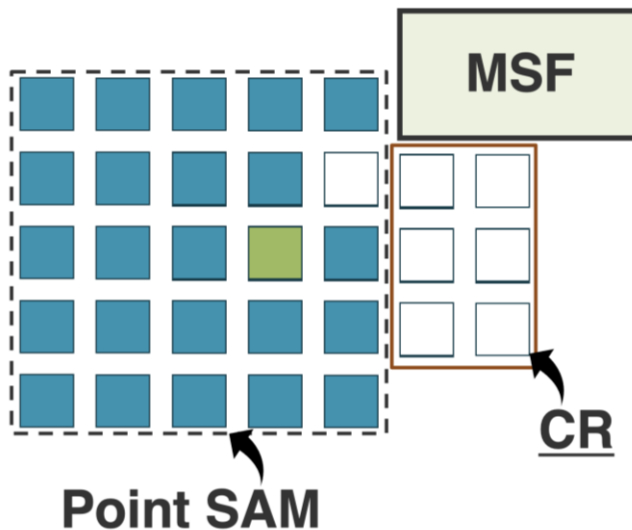
ロードストア型誤り耐性量子計算機アーキテクチャ

- Scan-Access Memory



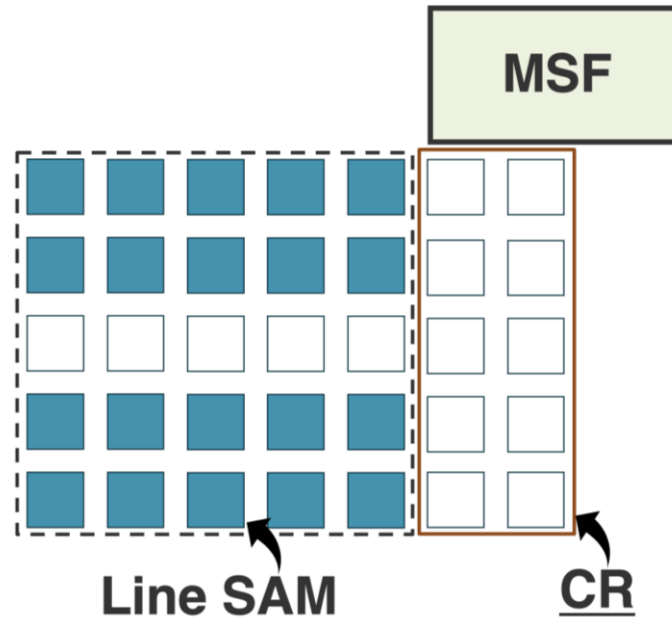
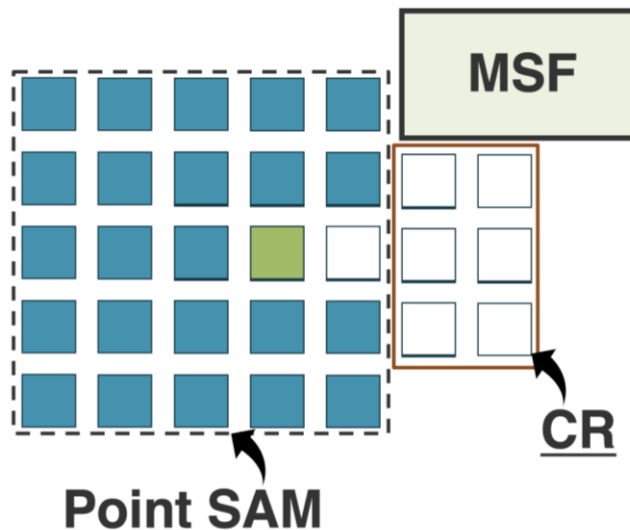
ロードストア型誤り耐性量子計算機アーキテクチャ

- Scan-Access Memory



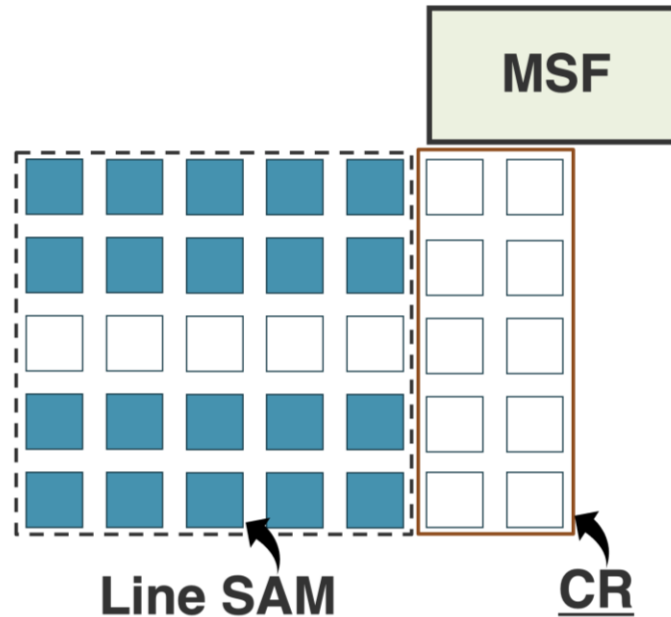
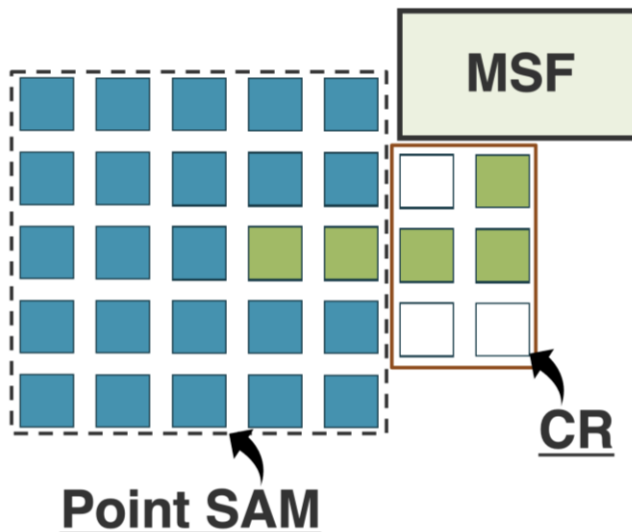
ロードストア型誤り耐性量子計算機アーキテクチャ

- Scan-Access Memory



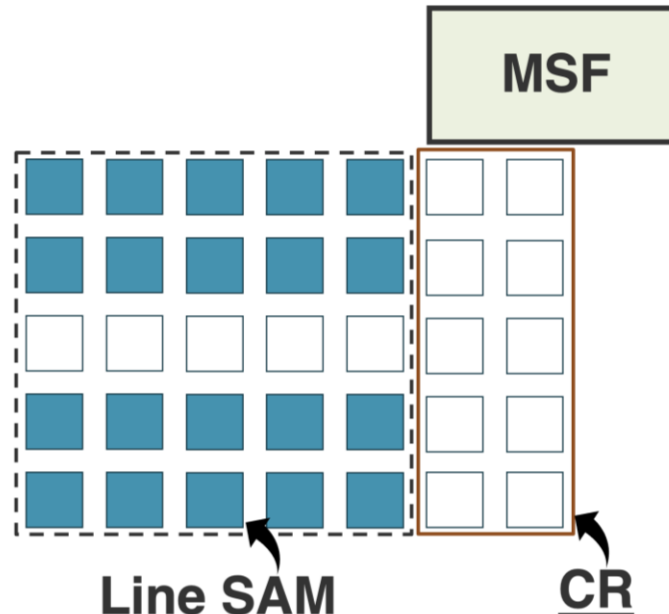
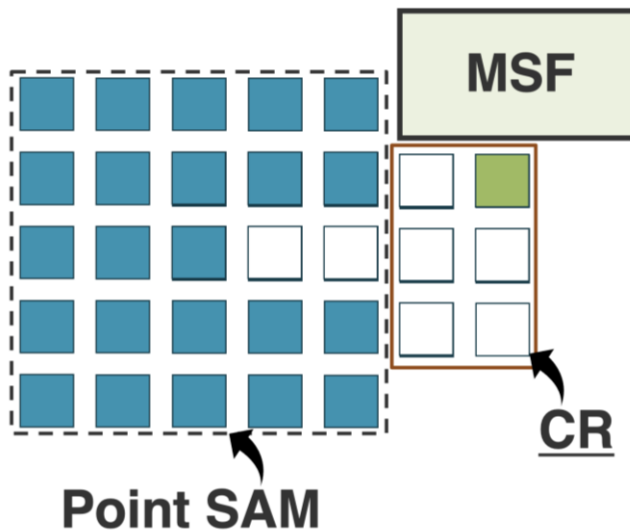
ロードストア型誤り耐性量子計算機アーキテクチャ

- Scan-Access Memory



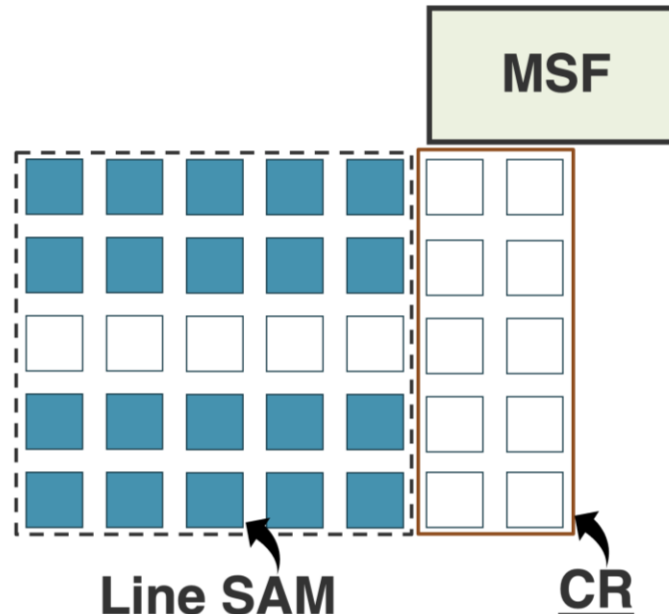
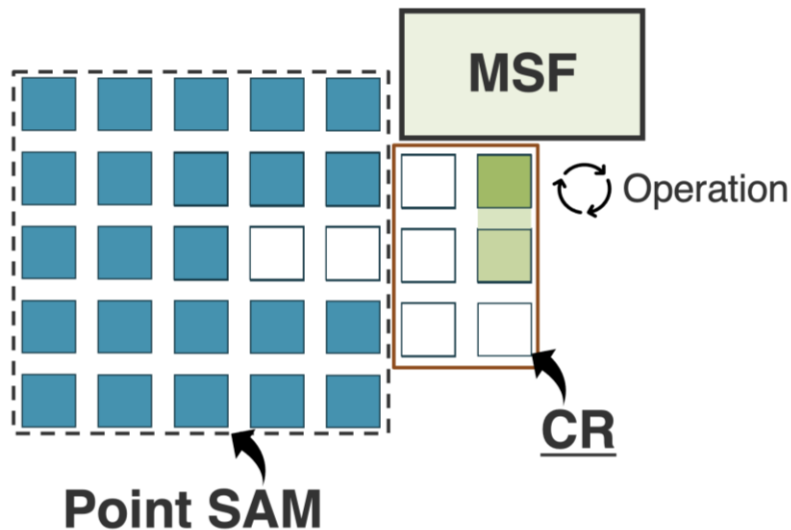
ロードストア型誤り耐性量子計算機アーキテクチャ

- Scan-Access Memory



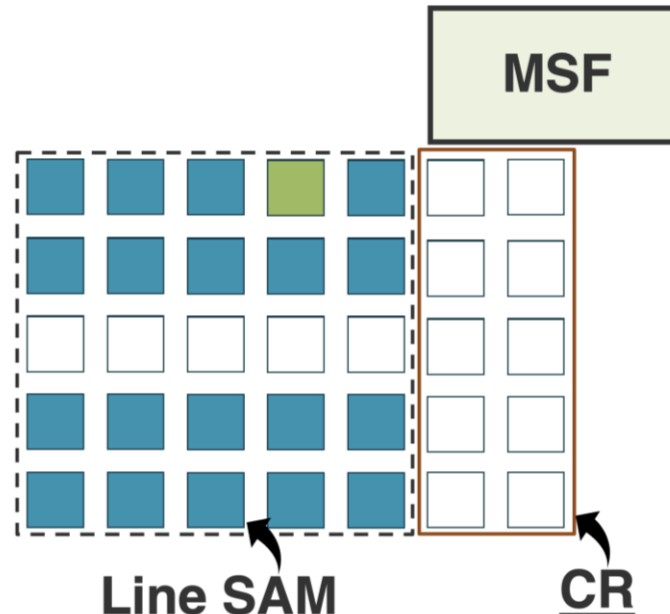
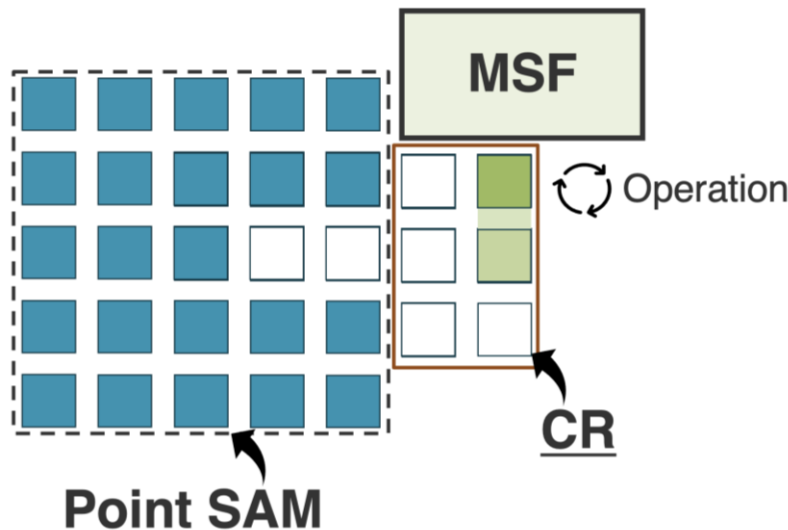
ロードストア型誤り耐性量子計算機アーキテクチャ

- Scan-Access Memory



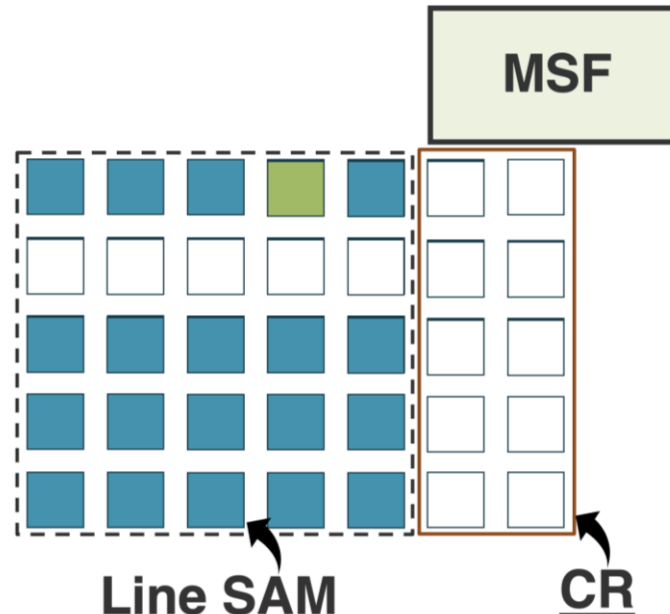
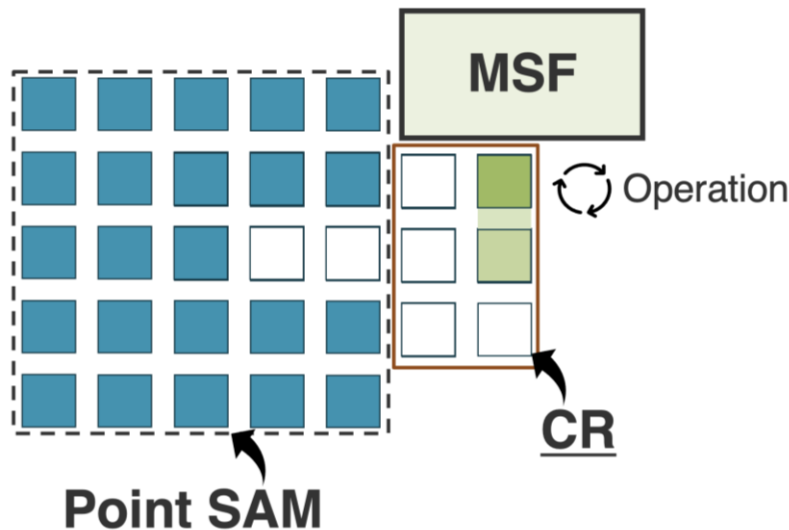
ロードストア型誤り耐性量子計算機アーキテクチャ

- Scan-Access Memory



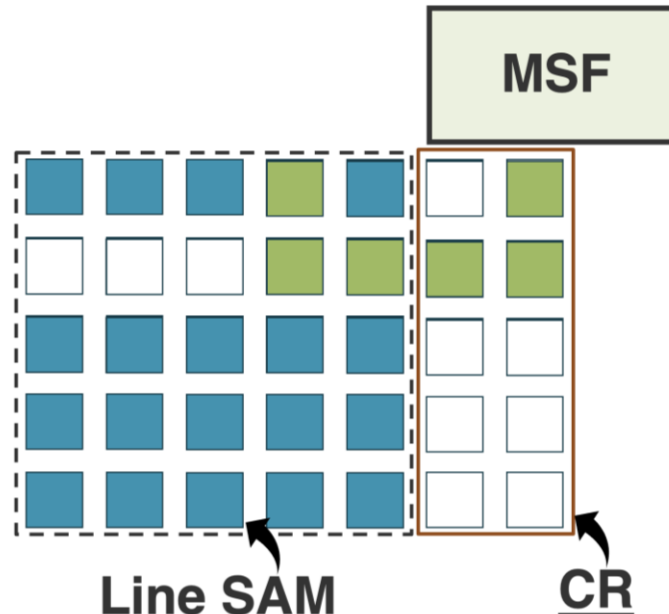
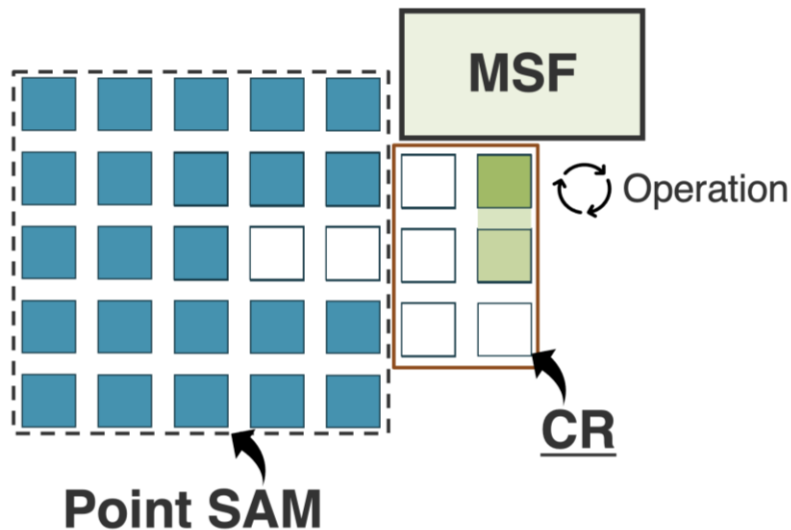
ロードストア型誤り耐性量子計算機アーキテクチャ

- Scan-Access Memory



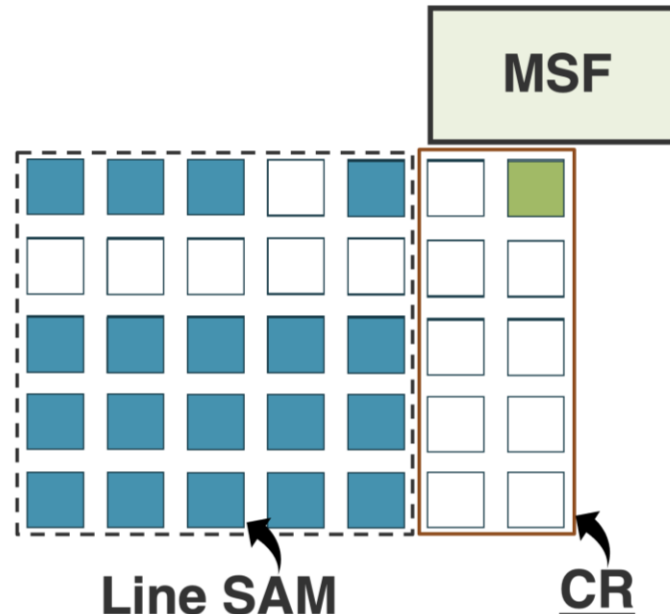
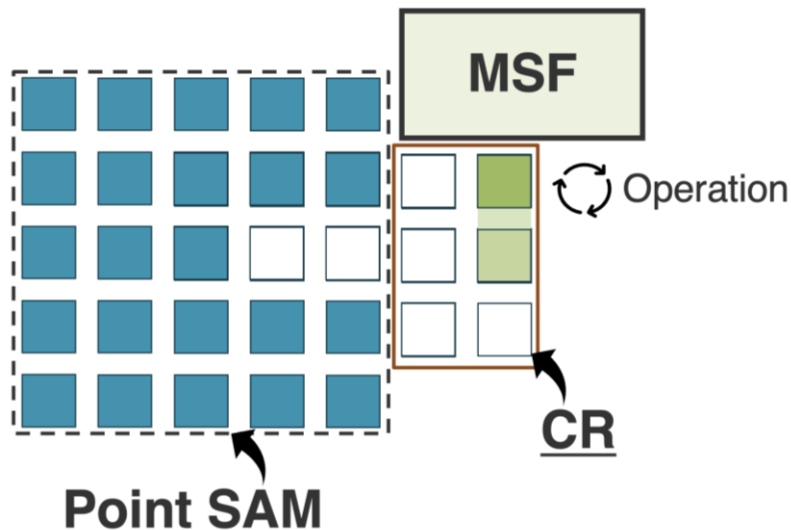
ロードストア型誤り耐性量子計算機アーキテクチャ

- Scan-Access Memory



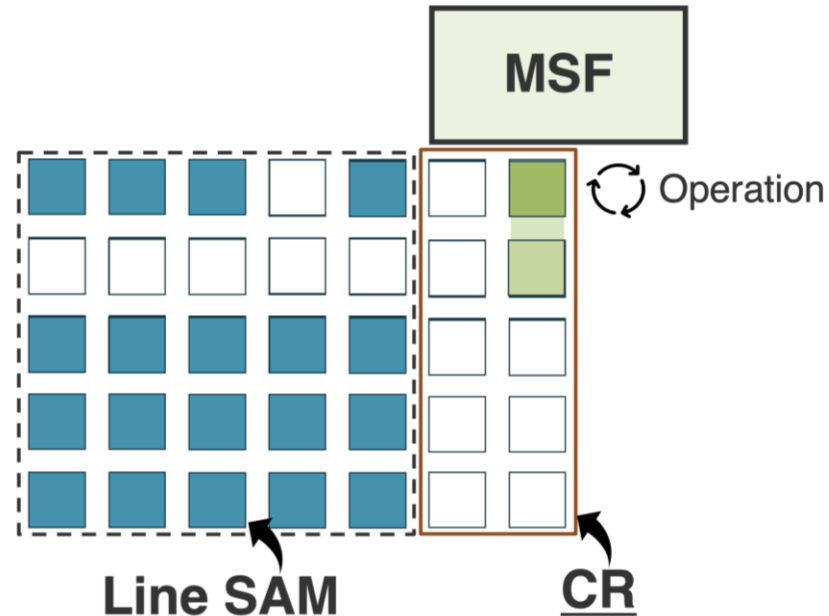
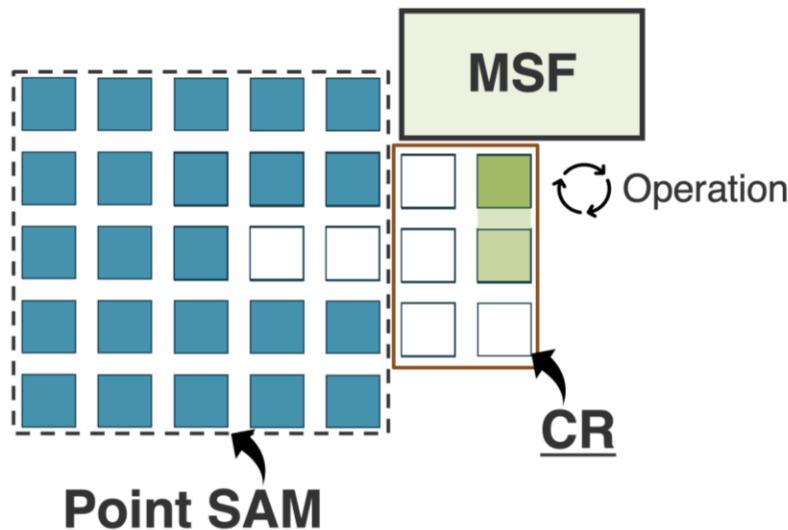
ロードストア型誤り耐性量子計算機アーキテクチャ

- Scan-Access Memory



ロードストア型誤り耐性量子計算機アーキテクチャ

- Scan-Access Memory

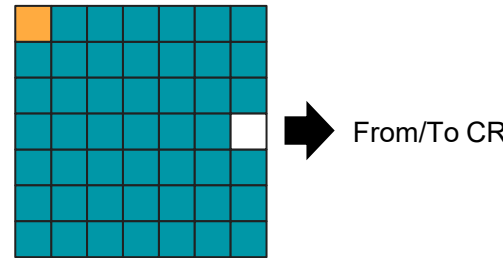
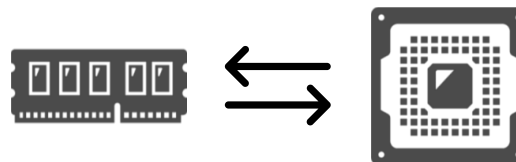


ロードストア型を採用するコスト

ロードストア型の欠点はメモリ-レジスタ間通信による計算の低速化

プログラムによっては通信の遅さがボトルネックに

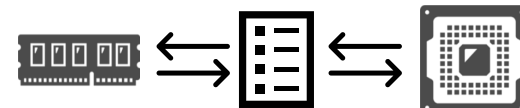
最悪ケースでは最もアクセスの遅いセルが
繰り返し呼び出される形になる



通常の計算機では典型的プログラムが持つ偏りを活用し様々なテクニックでこれらの問題を解決

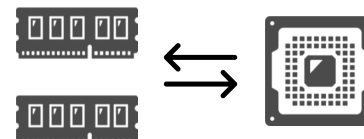
キャッシュ / 専用メモリ

頻繁にアクセスするものや
アクセスが予測されるものを
中規模で高速なメモリに保存する



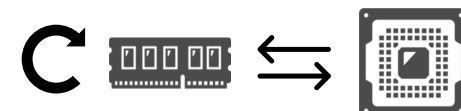
マルチチャンネルメモリ

複数のメモリバンクに分割し、
並列して読み出しを行うことで
実効的な読み出し速度を上げる



インメモリ計算

メモリ内部に軽量な計算機構を入れ
一部の計算をメモリ内部で行う

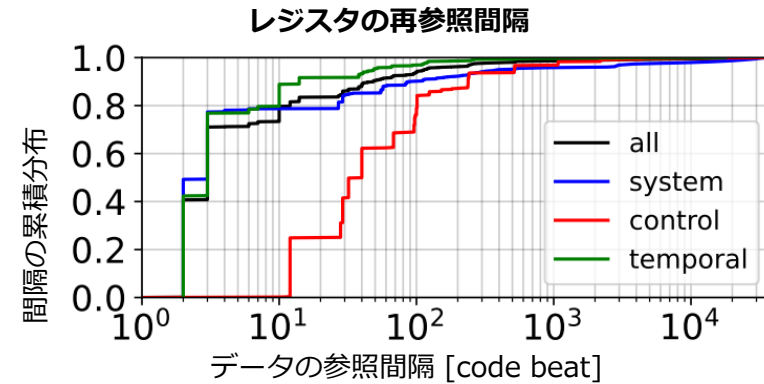


キャッシュなどの技術はメモリアクセスが典型的な特性を持っていることを仮定している 量子も同様の性質を持つか？

典型的なプログラムが持つ構造の解析

主要な量子アルゴリズムにおいてメモリのアクセスは最適化可能か？

Qubitization-basedな位相推定のボトルネックとなる操作で評価（論文では他のものも評価）



観察された振る舞い

時間的局所性

一度参照されたデータは、
高い確率で数命令以内に再参照される

空間的局所性

あるデータが参照された後に、
隣接するデータは参照されやすい

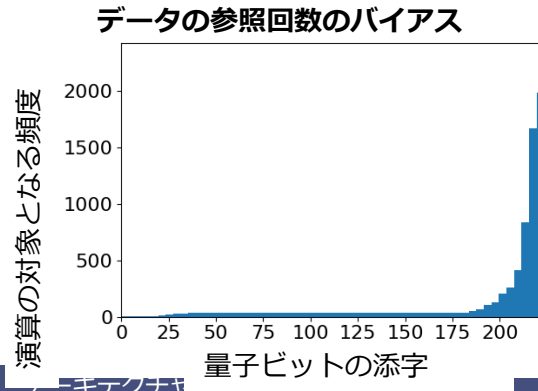
アクセスの偏り

頻繁に演算対象となる少数の量子ビットと
殆ど記憶されている多数の量子ビットに二極化する

要求並列度

典型的なプログラムでは処理並列度は低い
一斉に多くのデータが必要になるケースは稀

→ メモリ最適化に有利な特性 これを利用して最適化が可能

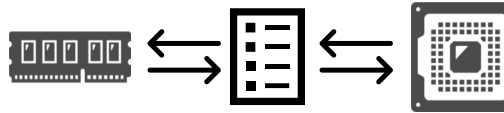


ロードストアの影響を軽減する最適化

最適化機構の提案

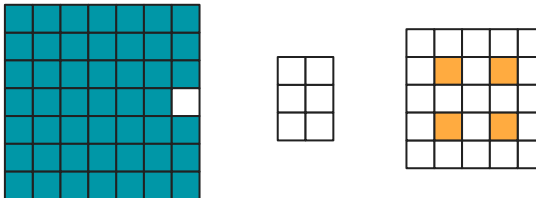
指針：キャッシュ/専用メモリ

頻繁にアクセスするものや
アクセスが予測されるものを
中規模で高速なメモリに保存する



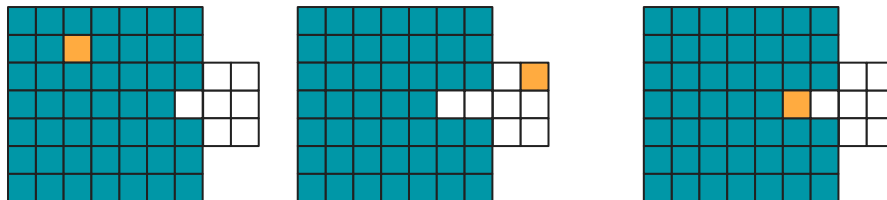
最適化 2 : Hybrid Floorplan

レジスタのサイズを拡張し、静的解析に基づいて
頻繁にアクセスされる少数のデータを専用領域に配置する

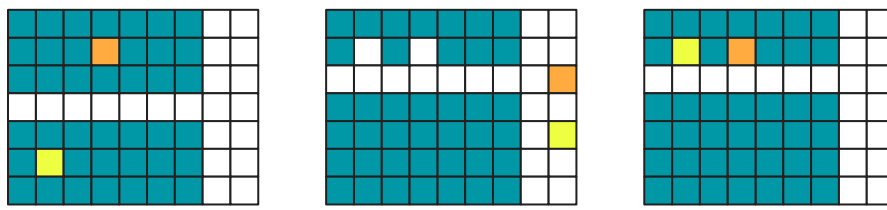


最適化 1 : Locality-aware store

利用したデータは元の場所ではなくアクセスの早い場所に戻す
これにより、プログラムの知識を用いずに再参照を早くする



同時に利用したデータは同時にアクセスしやすい場所に戻す
これにより、空間的な局所性を活用し典型的ロードを早くする

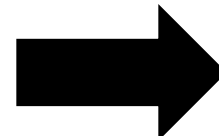
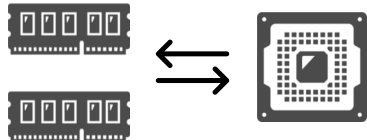


ロードストアの影響を軽減する最適化

最適化機構の提案

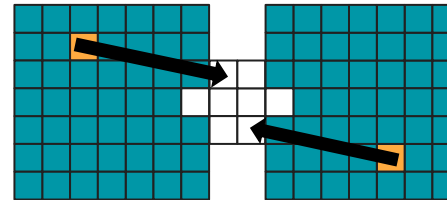
指針 2：マルチチャンネルメモリ

複数のメモリバンクに分割し、並列して読み出しを行うことで実効的な読み出し速度を上げる



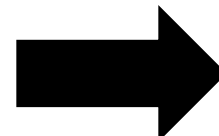
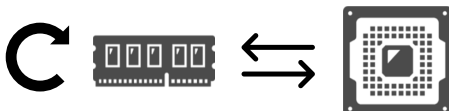
最適化 3 : Multi-bank SAM

データを複数のSAMに分割して配置し、2並列でのLOAD/STOREを可能にする



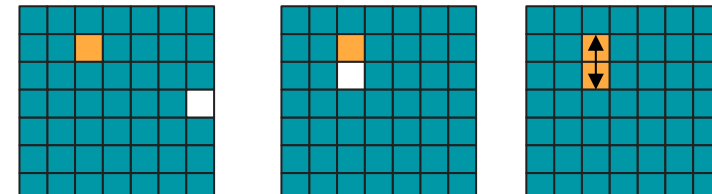
指針 3 : インメモリ計算

メモリ内部に軽量な計算機構を入れ一部の計算をメモリ内部で行う



最適化 4 : In-memory operations

移動用の追加セルで完結できる論理操作は、CRに読みださずにメモリ内部で完結させる

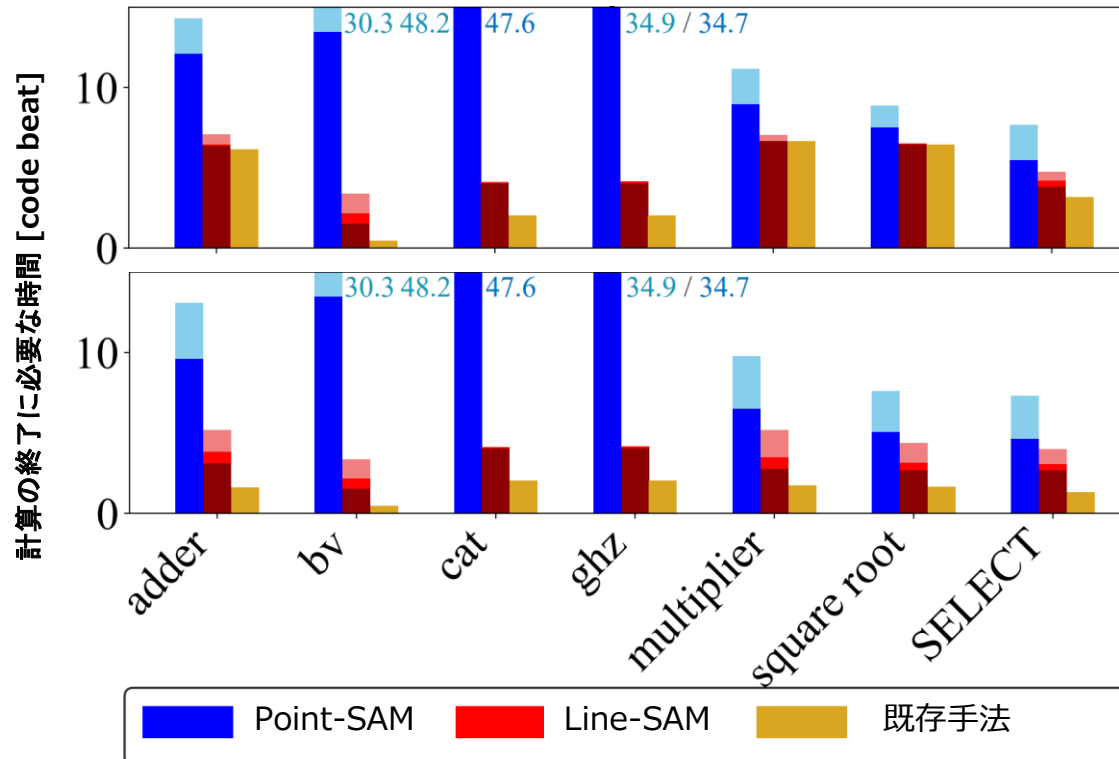


論理HゲートやSゲートをその場で実行

ベンチマーク：プログラム間比較

より詳細なアプリケーションごとの実行時間のオーバーヘッド

レジスタのサイズを2に固定しても、主要な操作ではオーバーヘッドは2倍～4倍に収まる



魔法状態の供給量

1 state per 15 lattice surgery
(魔法状態蒸留1基に相当)

魔法状態の供給量

4 state per 15 lattice surgery
(魔法状態蒸留4基に相当)

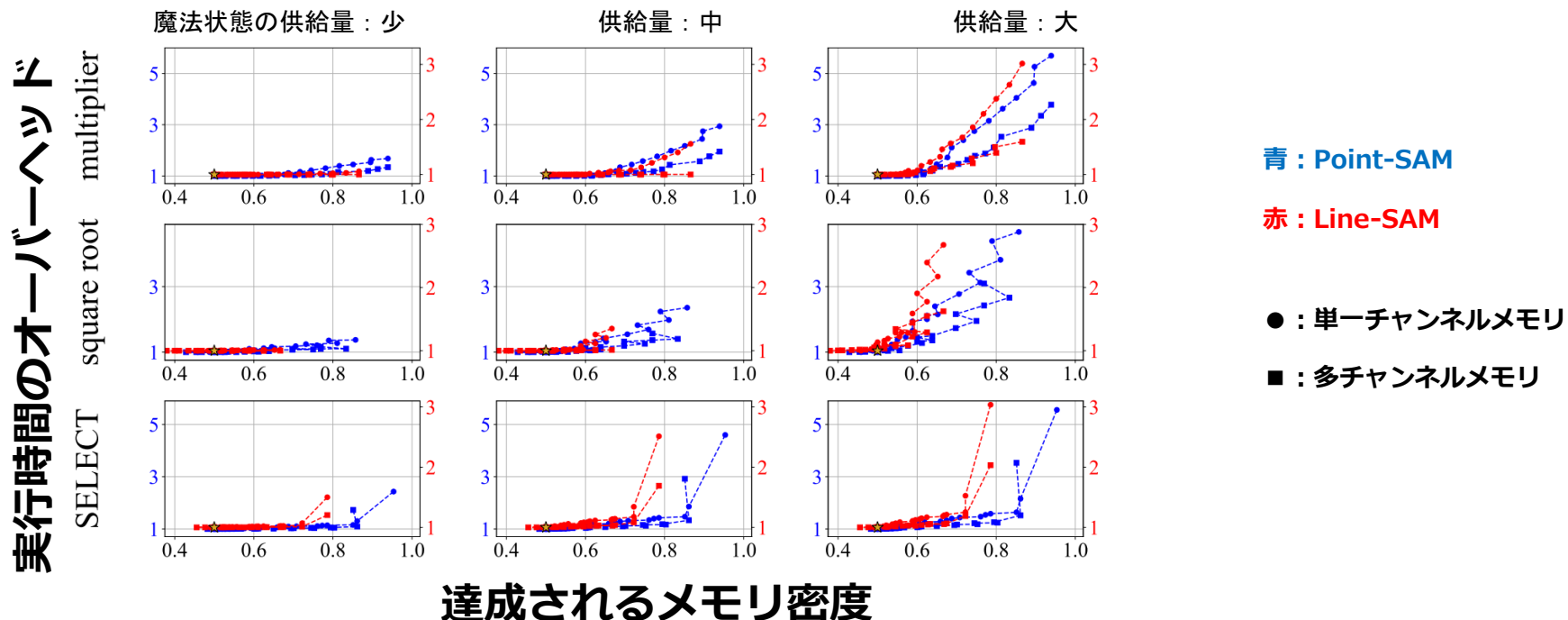
※ベースラインを保守的にするため
既存手法は論理操作のための
追加リソースは不要と仮定している
これは本提案に不利な過程
以降の数値計算でも同様

ベンチマーク：レジスタサイズの掃引

レジスタのサイズを掃引した際のパフォーマンス

レジスタのサイズを掃引することで、時間オーバーヘッドとメモリ密度を交換可能

FTQCで主要な操作はアクセスが局在しており、レジスタが少数でも性能はあまり劣化しない

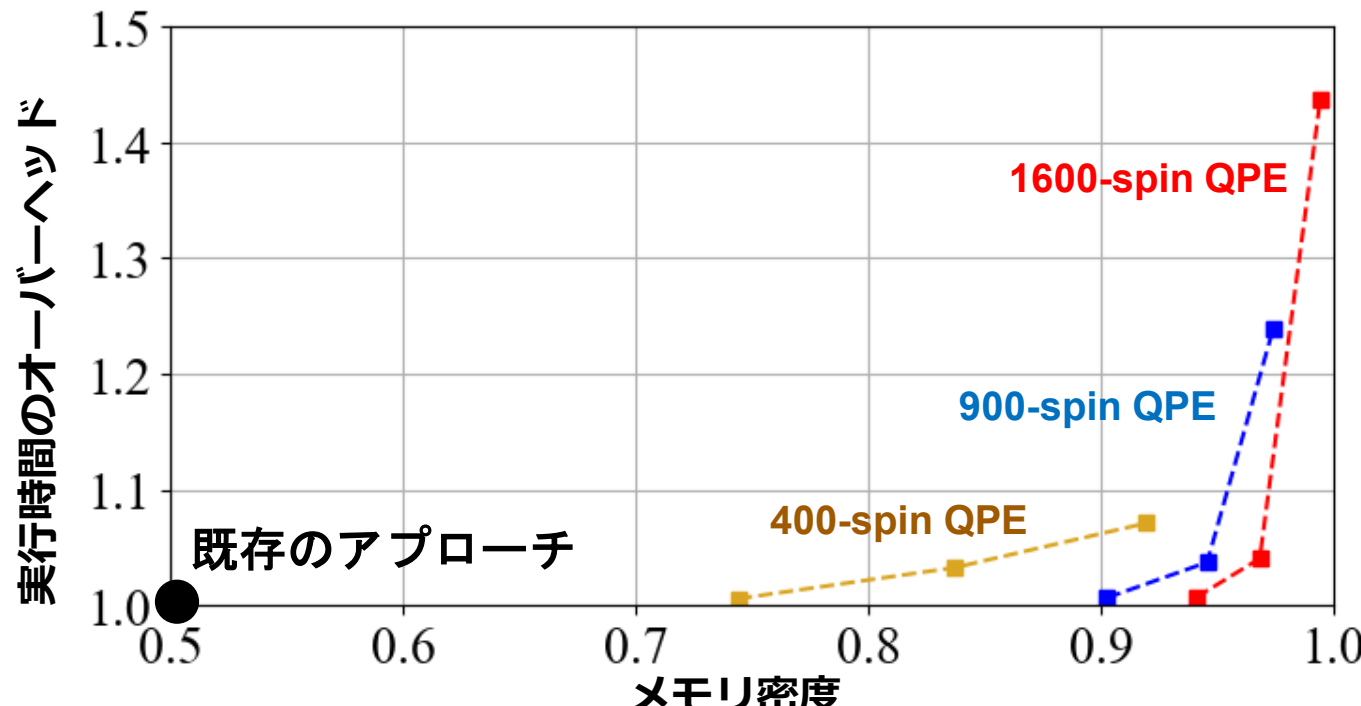


ベンチマーク：問題サイズの掃引

SELECT回路(位相推定の一部)を様々なインスタンスサイズで評価

問題サイズに合わせてレジスタのサイズを最適化

問題サイズが大きいと実行時間オーバーヘッドも大きいがより高いメモリ効率が達成可能



まとめと展望：今回実施したこと

1. ロードストア命令セットの定義

様々なデバイスや符号と整合性のある命令セットアーキテクチャを定義

上記を処理するためのコンパイル手法を提案しシミュレータを構築

実機側の動作を実行時に整合させることで、共通の実行ファイルで複数の実機を低オーバーヘッドに駆動可能

2. 表面符号を用いた高メモリ密度計算モデル（スキャン式メモリ）を定義

LDPC符号を用いる場合は格子手術があるため自明に定義可能

表面符号を用いる場合でも最大で倍程度にメモリ密度が改善可能などを提案

3. 実効的なメモリ帯域を改善し遅延を隠ぺいするデザインの提案

位相推定や素因数分解のプログラムが持つアクセス局所性や演算/メモリ命令比を活用し設計を最適化

- | | |
|----------------|------------------------|
| 1. マルチチャンネルメモリ | メモリを多重化し一度にいっぱい転送する |
| 2. キャッシュ | また使いそうなデータはすぐ読める場所にしまう |
| 3. インメモリ計算 | メモリ内でも出来る演算はメモリ内で行う |
| 4. 追加の高速記憶領域 | 頻繁に参照するデータは早いメモリに入れる |

ベンチマークを通し、実用ケースでx1.8の量子ビット削減を+5%の計算時間で実現

160ページ以降（3コマ目）は査読中の内容が含まれるため
公開版では削除、後日更新予定